

Министерство угольной промышленности СССР  
Ордене Ленина производственное объединение по добыче угля "Воркутауголь"  
Производственное объединение "Интауголь"  
Государственный научно-исследовательский, проектно-  
конструкторский и проектный угольный институт  
(Печорнийпроект)

Утверждено  
техническим директором  
объединения "Воркутауголь"  
15 мая 1979 г.

Утверждено  
техническим директором  
объединения "Интауголь"  
11 мая 1979 г.

РУКОВОДСТВО  
ПО РАЗРАБОТКЕ ПАСПОРТОВ КРЕПЛЕНИЯ И  
УПРАВЛЕНИЯ КРОВЛЕЙ В ОЧИСТНЫХ ВЫРАБОТКАХ

Воркута 1979

УДК 622.834.2

Целью настоящего руководства является повышение безопасности и эффективности работ по управлению кровлей и креплению в очистных забоях и на концевых участках, прилегающих к выработкам.

Руководство предназначено для использования инженерно-техническими работниками шахт Печорского бассейна при разработке технической документации (проектов на отработку выемочных участков, паспортов крепления и управления кровлей) и мероприятий по безопасному ведению работ.

Руководство разработано на основании письма Минуглепрома СССР № 14-2-9/751 от 09.06.77 г. сотрудниками лабораторий управления горным давлением в очистных выработках и крепления и поддержания горных выработок ПечорНИИпроекта инж. Л.М.Гусельниковым, канд. техн. наук В.П.Шикиным, инж. Н.М.Допуховым, канд. техн. наук В.Н.Левчуком, инж. М.В.Журавлевой и В.И.Анциферовым; работниками производственных объединений "Воркутауголь" и "Интауголь" инж. Г.М.Кочевым и Б.И.Костюковичем.

Расчет номограмм произведен по программам, разработанным инж. И.А.Фурдетовым.

Ответственный за выпуск В.П.Шикин  
Дата выпуска 25.УП 1979 г.  
Тираж 70 экз. Заказ № 162 Бесплатно  

---

Ротапринт ПечорНИИпроекта

## В В Е Д Е Н И Е

Большое разнообразие горно-геологических условий в Печорском бассейне и их изменчивость предъявляет повышенные требования к выбору средств и способов крепления очистных забоев, и особенно концевых участков. Широкое применение механизированных комплексов, уровень добычи которыми по бассейну превышает 91 %, бесцементных схем подготовки и металлической крепи в подготовительных выработках предопределяют перемещение основного объема работ по креплению на концевые участки очистного забоя, т. е. на вышки, сопряжения и прилегающие выработки.

В "Руководстве по разработке паспортов крепления и управления кровлей в очистных выработках" обобщены результаты научных исследований ПечорНИИпроект в очистных забоях, прилегающих выработках и на концевых участках, апробированные на практике; результаты передового опыта шахт; работы геологических организаций бассейна

по изучению и прогнозу горно-геологических условий. Рассмотрены вопросы по выбору способов, средств крепления и управления кровлей в очистном забое, рациональных схем крепления концевых участков, извлечения металлокрести при поташении выработок, требования к геологическому прогнозному паспорту, необходимые для оперативного планирования технологии ведения очистных работ. Приведена классификация кровель по обрушаемости и устойчивости, позволяющая установить основные параметры обрушения пород и проявления горного давления в конкретных условиях, даны методы расчета плотности призабойной и посадочной крепи, крепи сопряжений и крепи прилегающей выработки на различных расстояниях от лавы.

При составлении Руководства учтены требования действующих директивных документов, а также соответствующие рекомендации ВНИИ, ДонУГИ, ВостНИИ, КНИУИ, ШахтНИУИ для основных угольных бассейнов страны.

1. СОДЕРЖАНИЕ ТЕХНИЧЕСКОЙ ДОКУМЕНТАЦИИ,  
РЕГЛАМЕНТИРУЮЩЕЙ ПРОИЗВОДСТВО РАБОТ ПО УПРАВЛЕНИЮ  
КРОВЛЕЙ И КРЕПЛЕНИЮ В ОЧИСТНЫХ ВЫРАБОТКАХ

1.1. Управление кровлей и крепление очистных забоев должно осуществляться в соответствии с утвержденным паспортом управления кровлей и крепления (§ 36 ПБ) [1] или проектом (§ 79 ПБ). Для очистного забоя с индивидуальной крепью составляются два паспорта: до первичного обрушения пород кровли и на период установившегося сдвигания пород.

При применении механизированных комплексов разрабатывается специальный проект на ввод комплекса в работу (§ 79 ПБ), содержащий мероприятия по управлению кровлей на момент первичного обрушения кровли, и технологическая картограмма и карта организации труда (приказ МУП СССР № 94 от 22.02.77 г.). При наличии на выемочном участке труднообрушаемых кровель в дополнение к паспорту управления кровлей и крепления разрабатывается проект по разупрочнению кровли (§ 97 ПТБ) [2].

1.2. Паспорт управления кровлей и крепления очистного забоя должен состоять из графического материала с таблицами технических показателей и расчетных данных и пояснительной записки, составляемых в соответствии с формами Ш.2.1; Ш.2.2 "Форм технической и учетно-контрольной документации угольных шахт", утвержденными приказом МУП СССР № 169 от 21.04.75 г. [3].

Графический материал паспорта должен содержать схемы очистного забоя (М 1:500 или 1:1000, для столбов длиной до 2,5 км допускается М 1:2000 или 1:5000), с указанием ниш и сопряжений лавы с прилегающими выработками, околострековых целиков или бутовых полос и их размеров, способов управления кровлей и поддержания выработок (при одинарной подготовке) или их погашения, основного оборудования по выемке и доставке угля; план и разрезы очистного забоя (М 1:50 или 1:100), для наиболее характерных положений: при минимальной и максимальной ширине призабойного пространства, во время работ по выемке угля и управлению кровлей.

На плане и разрезах деталей очистных забоев должны быть показаны конструкция и размеры креп, расстояние между отдельными эле-

ментами по падению и простиранию, расстояние от забоя до первого ряда стоек или концов консолей верхняков индивидуальных или механизированных крепей, очередность установки и извлечения стоек или передвижки секций, размеры бутовых стрелок и бутовых полос и их установка от линии забоя, крепление приводных и натяжных станций конвейера и мест изгиба, параметры установки временной крепи, крепление ниш, сопряжений, участков выработки впереди и позади очистного забоя и другие характерные элементы крепления и управления кровлей применительно к местным условиям.

При наличии участков с геологическими нарушениями или резкими изменениями вынимаемой мощности пласта (обрушение ложной кровли) приводятся план и разрезы этих участков с указанием конструкций и элементов крепи и расстояний между ними. Кроме этого, в паспорте приводятся таблица расчета потребности в крепящих материалах с указанием их размеров (для металлической крепи - типоразмер), таблица основных технико-экономических показателей, график организации работ с расстановкой количества рабочих, необходимого для его выполнения.

Пояснительная записка к паспорту управления кровлей и крепления должна содержать:

1.2.1. Прогнозный горно-геологический паспорт по выемочному участку, характеризующий: литологический состав и свойства боковых пород (непосредственной и основной кровли не менее чем на десятикратную мощность пласта, почвы - не менее 2 м); особенности поведения пород при выемке пласта (степень устойчивости, обрушаемости, склонность к пучению); наличие геологических нарушений; сведения об участках и зонах концентрации повышенного горного давления с учетом взаимного влияния горных работ в свите пластов (подработки, надработки). Паспорт составляется в соответствии с требованиями "Методического руководства по совершенствованию производства на шахтах отрасли на основе разработки и внедрения технологических картограмм и карт организации труда" [4] и "Методических указаний по составлению прогнозных геологических паспортов на очистные забои" [5].

1.2.2. Обоснование выбора способа управления кровлей, конструкции крепи, принятых ее элементов, вида и типоразмера крепи ниш, сопряжений, участков выработки впереди и позади очистного забоя.

1.2.3. Краткое описание выбранного способа управления кровлей, схемы расположения элементов привабоинной и специальной крепи, расчет плотности крепи для определения потребности в крепежном лесу и металлических стойках, способы и порядок доставки крепежных материалов.

1.2.4. Указания о порядке и путях перемещения людей в очистной выработке.

1.2.5. Меры безопасности при возведении крепи, особенно в местах нагиба конвейера, управлении кровлей, эксплуатации механизированной крепи, извлечения и перестановках индивидуальной крепи.

Паспорт управления кровлей до первой посадки должен еще содержать обоснование и описание намечаемых мероприятий, технологию и безопасность их выполнения.

1.3. Проект на ввод механизированного комплекса в работу разрабатывается шахтой в соответствии с "Основными положениями применения механизированных комплексов в очистных забоях угольных шахт" [6], утвержденными Министром угольной промышленности СССР 03.05.73 г., "Методическим руководством по совершенствованию производства на шахтах отрасли на основе разработки и внедрения технологических картograms и карт организации труда" [4] (приказ Минуглепрома СССР № 94 от 22.02.77 г.) и "Технологическими схемами механизации очистных и подготовительных работ" [8], утвержденными Минуглепромом СССР. До начала работ проект согласовывается с бассейновым институтом и утверждается техническим директором объединения.

Проект на ввод механизированного комплекса в работу должен содержать следующие разделы:

1.3.1. Горно-геологические и горнотехнические условия: мощность и угол падения пласта и их изменение в пределах выемочного столба, наличие и характер геологических нарушений, опасность пласта по внезапным выбросам угля и горным ударам, характеристики угля и боковых пород (в кровле не менее 10-кратной и в почве не менее двукратной мощности пласта), длина очистного забоя и ее изменение в пределах выемочного столба, длина столба. По сопоставлению вышеприведенных данных с технической характеристикой комплекса должна быть сделана оценка соответствия параметров комплекса горно-геологическим условиям.

1.3.2. Подготовка выемочного поля: объем и сроки проведения выработок, необходимых для подготовки поля, обоснование необходимых сечений горных выработок, способов и средств их проходки, крепления и охраны; необходимые объемы работ по дренажу и водоотводу, а также работ по улучшению системы проветривания и дегазации.

1.3.3. Технологическая схема работы комплекса (выемка угля комбайном и передвижка конвейера, схемы расстановки и работы крепи и др.).

1.3.4. Организация и технология выполнения вспомогательных операций (подготовка и оформление ниш, крепление сопряжений лав с выработками, установка усиливающей крепи, передвижка насосных станций и пускорегулирующей аппаратуры и др.).

1.3.5. Меры безопасности по каждому технологическому процессу.

1.3.6. Расчет количества воздуха для проветривания очистного забоя, выбор схем проветривания и дегазации должен осуществляться в соответствии с "Инструкцией по расчету количества воздуха, необходимого для проветривания действующих угольных шахт", "Руководством по проектированию вентиляции угольных шахт" и "Руководством по дегазации угольных шахт" [7].

1.3.7. Выбор средств транспорта, расчет пропускной способности производится в соответствии с "Технологическими схемами подземного транспорта выемочных участков на угольных шахтах" [9].

1.3.8. Расчет элементов электроснабжения, средств сигнализации и связи производится только в случаях отклонения параметров лавы от технической характеристики комплекса и ведется по методике, изложенной в работе [8].

1.4. Для пластов и участков, имеющих труднообрушаемые кровли, производится оценка соответствия паспортной несущей способности крепи горно-геологическим условиям по методике, изложенной в разделе 7. В случае несоответствия силовых параметров крепей горно-геологическим условиям составляется проект разупрочнения труднообрушаемых пород. Проект составляется в соответствии с "Временной инструкцией по выбору способа и параметров разупрочнения труднообрушаемой кровли на выемочных участках" [10] и согласовывается с бассейновым институтом.

## 2. ОСНОВНЫЕ ПОЛОЖЕНИЯ ПО ВЫБОРУ СПОСОБОВ УПРАВЛЕНИЯ КРОВЛЕЙ В ОЧИСТНЫХ ЗАБОЯХ

2.1. Во всех горно-геологических условиях, как правило, должен применяться способ управления кровлей полным обрушением, за исключением условий, где требуется применение полной закладки, а также пластов, залегающих в породах, склонных к плавному опусканию.

2.2. Допускается применять управление кровлей частичной закладкой на тонких пологих и наклонных пластах при залегании в непосредственной кровле легкообрушаемых пород малой мощности, а в основной кровле — мощных слоев труднообрушаемых пород при наличии ложной кровли, слабой почвы и породных прослоек, которые необходимо оставлять в выработанном пространстве.

Количество и ширина породных полос должны обеспечивать удержание основной кровли от обрушения (§. 98 ПТЭ).

В зависимости от назначения способа управления кровлей частичной закладкой различают частичное обрушение и частичную закладку.

2.2.1. Основное назначение частичного обрушения — это удержание основной кровли от обрушения и предотвращение значительных осадков. С этой целью по длине лавы выкладываются бутовые полосы из породы, получаемой от проведения бутовых штреков по кровле или почве пласта. Между бутовыми полосами непосредственная кровля обрушается на посадочные костры или органическую крепь из металлических или деревянных стоек.

Расстояние между бутовыми штреками (или полосами)  $l_{ш}$  выбирается таким образом, чтобы породы непосредственной кровли могли легко обрушаться, а основная кровля удерживалась породными полосами. Ориентировочно расстояние между породными полосами определяется по формуле [11].

$$l_{ш} = \frac{15 + 25}{\sqrt{m}} \quad (2.1)$$

где  $m$  — мощность пласта, м.

Ширина бутовой полосы должна быть не менее трехкратной мощности пласта. При слабой почве ширину бутовых полос следует увеличивать.

Шаг закладки necessarily принимать равным двум снимаемым полосам угля при узкозахватной выемке и не более одного вруба при широкозахватной выемке.

2.2.2. Целью применения частичной закладки является удержание пород основной и непосредственной кровли от обрушения в призабойном и выработанном пространствах.

При способе управления кровлей частичной закладкой заложное породой выработанное пространство должно составлять 60–70 % от общей его площади. Исходя из несущей способности, бутовая полоса должна быть шириной не менее 3 м, расстояние между бутовыми полосами — не более  $\frac{10 + 20}{\sqrt{m}}$ , где  $m$  — мощность пласта, м.

2.3. Управление кровлей целиками угля, оставляемыми в выработанном пространстве, допускается при отработке одиночных пластов с труднообрушаемыми кровлями и слабой почвой, не склонных к динамическим проявлениям горного давления.

2.4. Для выбора способов управления кровлей, средств и схем крепления очистных забоев в конкретных горно-геологических условиях рекомендуется пользоваться классификацией кровли, разработанной ПечорНИИпроект (табл. 3.1 и 3.2).

## 3. КЛАССИФИКАЦИЯ КРОВЕЛЬ

Для большинства пластов, отработываемых шахтами Печорского бассейна, характерна изменчивость горно-геологических условий в пределах шахтных полей и выемочных участков. Наиболее резкие изменения свойств пород наблюдаются при размывах непосредственной кровли и замещениях ее труднораспадающимися песчаниками.

Проведенные ПечорНИИпроект работы по изучению физико-механических свойств пород, структурного строения кровель и проявлений горного давления позволили установить объективные классификационные признаки, характеризующие качественные и количественные параметры основных проявлений горного давления при различных типах кровель и разработать классификацию, в основу которой положены два комплексных фактора, определяющие проявления горного давления в очистных забоях: устойчивость и обрушаемость пород кровли.

3.1. В зависимости от строения и прочности залегающих пород все кровли рабочих пластов по устойчивости в очистных забоях раз-

Таблица 3.1

## Классификация кровли по устойчивости

Характеристика кровли	Основные параметры, определяющие устойчивость кровли					Время сохранения устойчивости этого слоя, ч	Минимальная допустимая скорость подвигания застрахованного пространства, м/сут
	Толщина защитной пачки непосредственной кровли при установке кровли, см	Устойчивая величина пролета бесстоечного пространства в течение 6 час, м	Устойчивая площадь закрепленного пространства в местах изгиба комбайнера, м <sup>2</sup>	Допустимое отставание от рабочей части орбана комбайна, м	Допустимое отставание передних секций рабочего органа комбайна, м		
Неустойчивая	6	1,0	Обрушение происходит вслед за выемкой угля			3-4	
Ниже средней устойчивости	10	1,3	10-15	20	3-5	1,5	3-4
Средней устойчивости	15	1,8	20-25	30	10-12	2,0	2-3
Устойчивая	20	2,0	30-40	35-40	15-20	3,5	1,5-2

\*) При применении деревянных верхняков участков лавы, закрепленный П-образной крельер, не должен превышать 1,5-2-кратных зон изгиба комбайнера, но не более 30 м. Максимальное отставание временной крепи от рабочего органа комбайна не должно превышать 5 м. Максимальное расстояние между концом верхняка (бруса) и забоем должно быть не более 0,3 м.

делены на четыре типа: неустойчивые, ниже средней устойчивости, средней устойчивости и устойчивые (см. табл. 3.1).

В основу такой типизации положена устойчивая величина бесстоечного пространства, при которой в течение 6 часов не наблюдается вывалов и обрушений кровли в бесстоечном пространстве. Устойчивость кровли определяется в основном строением и прочностью нижней пачки непосредственной кровли - активным слоем. Мощность активного слоя принимается равной удвоенной высоте максимальных вывалов. При ширине бесстоечного пространства 1,3-1,8 м величина активного слоя составляет 0,8-1,4 м. Устойчивая ширина бесстоечного пространства определяется слоистостью, прочностью пород и механической характеристикой применяемой крепи. При применении стоек с достаточным (более 60 % номинального сопротивления) первоначальным распором устойчивость кровли возрастает в два раза.

Кроме величины пролета бесстоечного пространства, другими параметрами устойчивости являются величине незакрепленного пространства за комбайном и отставание крепи или секции комплекса от его рабочего органа.

В табл. 3.1 приведены основные параметры, определяющие устойчивость кровли в пределах этих типов применительно к выемке узкозахватными комбайнами.

3.2. Для предотвращения обрушения ложной кровли или неустойчивых нижних слоев непосредственной кровли при отработке пластов Интинского месторождения оставляется защитная угольная пачка. В этом случае устойчивость кровли во многом определяется прочностью и величиной защитной пачки.

При выборе величины защитной угольной пачки учитывается структурное строение угольного пласта, мощность ложной кровли, характер контакта между угольной пачкой и кровлей, прочность угля защитной пачки и величина необходимого пролета бесстоечного пространства.

В среднем мощность ложной кровли для условий основных рабочих пластов Интинского месторождения составляет 0,1-0,3 м, а величина защитной пачки принимается близкой к мощности ложной кровли.

Для поверочного расчета соответствия величины защитной пачки принятому значению пролета бесстоечного пространства, а также для установления класса устойчивости кровли рекомендуется пользоваться формулой

$$l = 1,2\sqrt{\epsilon_p h} \quad (3.1)$$

Классификация кровли по обрушаемости

Таблица 3.2

Типы кровли по обрушаемости	Литологический состав пород кровли	Расстояние пород в кровле на расстоянии, кратной мощности пласта	Слонстость пород, м	Прочность пород на растяжение, кгс/см <sup>2</sup>	Величина зависания непосредственной кровли в выработке, м	Величина опускания кровли в рабочем пространстве без учета влияния осадок основной кровли $\Delta h = K R m$	Коэффициент влияния			Шаг обрушения основной кровли, м		Рекомендуемые средства и способы управления обрушением кровли в очистном забое
							вторичный	первичный	вторичный	первичный		
							вторичных осадок на величину нагрузок на крепь и опускание кровли $K_2$	первичных осадок основной кровли на величину нагрузок на крепь и опускание кровли $K_1$	$\ell_y$	$\ell_{пр}$		
Легкообрушаемые	Аргиллит, рему алевролит	0-1	0,05-0,1	25-40	1,5	0,023 R m	1,1-1,2	1,5	4-6	15-24	Механизированные и индивидуальные крепи; в качестве забойной крепи - металлические стойки трения и гидравлические; посадочная крепь - органический ряд на забойных стоках, возможна базорганическая посадка	
	Аргиллит	1-3	0,1-0,2	30-40								
	Аргиллит, иногда переслаивающийся алевролитом	3-6	0,2-0,4	40-50								
Средней обрушаемости	Аргиллит, алевролит	0-1	0,1-0,2	40	2-4	0,017 R m	1,5-1,4	1,8	8-12	36-50	Механизированные и индивидуальные крепи; в качестве забойной - преимущественно гидравлические стойки с внешним питанием; посадочная крепь - посадочные стойки, возможно применение органического ряда на гидравлических стоках с внешним питанием	
	Аргиллит, алевролит, песчаник	1-3	0,2-0,5	до 70								
	Аргиллит, алевролит, переслаивающийся песчаник	3-6	0,3-0,6	до 70								
Труднообрушаемые	Аргиллит, алевролит	0-3	0,1-0,5	40	2-4	0,017 R m	1,5-1,7	2,4	16-20	70-90	Преимущественно должны применяться механизированные крепи, обязательны мероприятия по снижению интенсивности перемычных обрушений основной кровли	
	Песчаник	3-6 и выше	0,8-1,0	Более 80								
	Аргиллит, алевролит	0-1	0,3-0,8	70								
	Алевролит, песчаник	1-3	0,8-1,0	Более 70								
Весьма труднообрушаемые	Песчаник	3-6	0,8-1,0	Более 70	Более 10	0,01 R m	1,9-2,1	2,6 и более	25-40	110-150	Только механизированные комплексы с предварительным проведением специальных мероприятий по снижению проявлений горного давления (нагнетание жидкости в породы основной кровли, опережающая обработка нижележащих пластов)	
	Алевролит, песчаник	0-0,5	0,5-0,8	Более 70								
	Шелчаник	1-3 и выше	1,5-2,0	Более 80								
	Песчаник	1-6	1,5-2,0 и более	65								

Примечание. R - ширина поддерживаемого пространства, м; m - мощность пласта, м.



где  $l$  - величина пролета бестовечного пространства, м;  
 $\sigma_p$  - предел прочности угля защитной пачки на растяжение, кгс/см<sup>2</sup>;  
 $h$  - мощность защитной пачки, м.

Выражение (3.1) справедливо при величине защитной пачки не более 0,3 м и мощности ложной кровли не более 2h.

В приложении I приведены прочностные показатели защитных угольных пачек и устойчивые площади обнажения кровли в бестовечном пространстве лав основных шахтопластов, отрабатываемых объединением Интауголь.

3.3. Классификация кровли по обрушаемости является основой для выбора способа управления кровлей, конструкции, механической характеристики посадочной и забойной крепей и плотности их установки в различных горно-геологических условиях (см. табл. 3.2).

В основу классификации положены закономерности проявлений горного давления, зависящие от строения, слоистости, прочности пород, соотношения мощности непосредственной и основной кровли.

В соответствии с этими закономерностями кровли по обрушаемости отнесены к четырем основным типам: легкообрушаемые, среднеобрушаемые, труднообрушаемые и весьма труднообрушаемые. Основные признаки, определяющие поведение кровель этих типов, приведены в табл. 3.2.

В классификации ПечорНИИпроект по обрушаемости комплексно использованы основные признаки, содержащиеся в классификации о. ВУГИ (Д.С.Ростовцева), ДонУГИ (В.Т.Давидянца) и ВНИМИ (С.Т.Кузнецова), что позволяет иметь большую информацию по количественным значениям проявлений горного давления и осуществлять более объективный выбор рациональной технологии управления кровлей для рассматриваемых условий. Соотношения между основными классификациями кровель по обрушаемости приведены в табл. 3.3.

Типизация кровли по устойчивости и по обрушаемости обеспечивает при использовании данной классификации объективную характеристику кровли очистных забоев с учетом ее строения и прочности пород.

На основе классификации применительно к определенным горно-геологическим условиям разрабатывается рациональная технология выемки угля путем выбора вида крепи, способа управления кровлей, схемы расположения, типа и плотности забойной, посадочной и временной крепей.

Расчет податливости, несущей способности и величин первоначального распора забойных и посадочных стоек индивидуальной крепи и соответствия удельного сопротивления секций механизированной крепи рекомендуется производить по формулам, приведенным в разделах 6 и 7.

По структурным колонкам и известным физико-механическим свойствам, пользуясь классификацией кровли, можно прогнозировать ее поведение, характер и ожидаемые величины проявлений горного давления до начала очистных работ на различных участках месторождения или шахтного поля. Для уточнения строения кровли и прочностных свойств пород необходимо бурить скважины с отбором керна и с последующим исследованием его свойств. Расстояние между скважинами по простиранию принимается от 250 до 300 м, по падению - 150-200 м. Одновременно с этим производится съемка трещиноватости пород, фиксируется изменение мощности пласта и угла падения.

При отсутствии достаточных данных о литологическом, структурном строении и прочностных свойствах пород для предварительного отнесения кровель к труднообрушаемым можно воспользоваться признаками, указанными во "Временной инструкции по выбору способа и параметров разупрочнения труднообрушаемой кровли на выемочных участках" [10]. Перечень пластов с труднообрушаемой кровлей и признаки труднообрушаемых кровель приведены в приложении 2.

3.4. Необходимость использования дополнительных элементов крепи (лежанов, уширенных опор или оснований) при известной несущей способности почвы определяется по классификации почвы, приведенной в табл. 3.4.

Несущая способность почвы определяется по методике, приведенной в приложении 3.

#### 4. ВЫБОР КРЕПИ ДЛЯ ОЧИСТНОГО ЗАБОЯ

4.1. Выбор индивидуальной или механизированной крепи для отработки выемочного участка производится на основе анализа горно-геологических условий и сравнения технико-экономических показателей. При этом учитывается не только соответствие механизированной крепи горнотехническим условиям, но и количество запасов, подлежащих выемке.

4.2. Выбор вида индивидуальной крепи.

Соотношение между классификациями кровель по обрушаемости

Наименование классов кровель по обрушаемости по классификации Печерский проекта	Соответствующие классы кровель по обрушаемости по классификации			ИГД им. А.А.Скоблевского
	С. ВУТИ	ДОНУТИ	ВНИМИ	
Легкообрушаемые	I	A1	IA	I, II, III
Средней обрушаемости	I	A2	IA, IC	IV
Труднообрушаемые	II-III	A3	IB, ID	V, VII, IX
Весьма труднообрушаемые	III	A4, A5	-	VI, VIII, X

Таблица 3.4

Классификация почв угольных пластов

Тип почвы	Несущая способность почвы, кгс/см <sup>2</sup>	Рекомендуемые средства при установке индивидуальной крепи	Примечание
Слабые	15-80	Уширенные опоры и лежаны	Эффективное применение серийных механизированных кровель возможно без дополнительных мероприятий при несущей способности почвы не менее 30-35 кгс/см <sup>2</sup>
Средней прочности	80-150	Металлические стойки ставятся на лежаны	
Прочные	более 150		

4.2.1. При применении способа управления кровлей полным обрушением индивидуальную крепь рекомендуется применять при кровлях легкообрушаемых и средней обрушаемости. Металлические стойки трения постоянного сопротивления могут применяться в этих условиях в качестве призабойной и посадочной крепей. В целях снижения трудоемкости процессов крепления и управления кровлей, повышения надежности поддержания призабойного пространства на пластах мощностью более 1,6 м рекомендуется преимущественное применение гидравлических стоек с внешним питанием.

4.2.2. Возможно применение индивидуальной крепи при труднообрушаемых кровлях. В этих случаях, как правило, должны применяться гидравлические стойки с внешним питанием.

4.2.3. Гидравлическая передвигаемая посадочная крепь (типа "Спутник") рекомендуется к преимущественному применению на пластах с труднообрушаемыми породами при кровлях средней устойчивости и несущей способности почвы не менее 35 кгс/см<sup>2</sup>. Посадочная крепь "Спутник" должна устанавливаться в основном комплектно с гидравлической призабойной крепью.

4.2.4. Деревянные стойки должны применяться преимущественно до первичной посадки на пластах пологого и наклонного падения, а также в сложных горно-геологических условиях в качестве основной крепи.

4.2.5. Металлические верхняки (дисковые, консольные, выдвигные, широкополочные и др.) рекомендуется применять в комплекте с гидравлическими стойками при устойчивых кровлях средней обрушаемости и вынимаемой мощности пласта до 1,6 м; возможно их применение на пластах мощностью до 1,3 м с труднообрушаемыми кровлями.

4.2.6. При отработке участков с труднообрушаемыми и весьма труднообрушаемыми кровлями на пластах мощностью более 1,3 м необходимо применять механизированные комплексы. В этих случаях обязательно проведение специальных мероприятий, способствующих своевременному обрушению зависших пород (первоочередная отработка защитных пластов, предварительная гидрообработка кровли, микроторпедирование, торпедирование кровли).

4.2.7. В очистных забоях на пластах со слабыми породами почвы индивидуальная металлическая и деревянная крепи должны устанавливаться на лежаны. Для металлических стоек возможно использование уширенных опор.

4.2.8. При выборе наиболее рациональных типов крепи и ее элементов рекомендуется применять метод сравнения комплексных характеристик работы крепи, который приведен в приложении 4, рис. П.4.1 и П.4.2.

4.2.9. Обрушение кровли на пластах с легкообрушаемыми кровлями может производиться на органичный ряд из индивидуальных стоек; при использовании в качестве забойной крепи гидравлических стоек и повышенной плотности их установки возможно применение безорганной посадки.

4.2.10. При кровлях средней обрушаемости рекомендуется производить обрушения на посадочные стойки постоянного сопротивления. При отсутствии необходимых типоразмеров посадочных стоек возможно применение органичной крепи из забойных стоек.

4.2.11. При отработке с индивидуальной крепью пластов с труднообрушаемыми кровлями в качестве посадочной крепи могут применяться посадочные гидравлические стойки, установка, разгрузка и передвижка которых производится дистанционно.

4.2.12. При выборе типа и конструкции индивидуальной крепи необходимо руководствоваться следующими положениями:

при применении деревянных верхняков, независимо от устойчивости кровли при труднообрушаемых породах, необходимо предусматривать рамную конструкцию временной и постоянной крепи, т. е. с обязательной установкой призабойной стойки у забоя;

при наличии слабых почв и применении лежанов в забоях с широкозахватными комбайнами допускается установка временной крепи из одной стойки под распил, при этом отставание рамной постоянной крепи не должно превышать 15-20 м;

в сложных горно-геологических условиях при применении металлической индивидуальной крепи допускается использование деревянных стоек не более 15 %, не считая органичного ряда;

допускается в лавах, закрепленных деревянной крепью, применение металлических стоек в качестве временной крепи;

допускается в лавах, закрепленных металлическими стойками устанавливать деревянные стойки в последнем ряду призабойной крепи в спаренной раме или рядом с рамой крепи, если они служат контрольными или защитными элементами;

во всех остальных случаях запрещается совместное применение

в очистных забоях стоек с различными механическими характеристиками.

4.2.13. Выбор типоразмеров призабойных металлических стоек осуществляется, исходя из следующих закономерностей.

4.2.13.1. При металлическом верхняке:

$$L_{\max} = m_{\text{ср}} + \Delta m_{\text{ср}} - h_{\text{в.м}} - k \cdot k_{\text{в}} (m_{\text{ср}} + \Delta m_{\text{ср}}) R_1, \text{ м}; \quad (4.1)$$

$$L_{\min} = m_{\text{ср}} - \Delta m_{\text{ср}} - h_{\text{в.м}} - k \cdot k_{\text{в}} (m_{\text{ср}} - \Delta m_{\text{ср}}) R_2 - \theta, \text{ м}; \quad (4.2)$$

где  $L_{\max}$  - максимальная необходимая длина призабойной стойки, м;

$m_{\text{ср}}$  - средняя мощность пласта, м;

$\Delta m_{\text{ср}}$  - максимальное отклонение средней мощности пласта в пределах выемочного участка, м;

$h_{\text{в.м}}$  - высота металлического верхняка, м;

$k$  - коэффициент пропорциональности, учитывающий влияние прочности и слоистости пород на сближение пород почвы и кровли;

$k_{\text{в}}$  - коэффициент влияния осадок кровли;

$\theta$  - величина запаса раздвижности для разгрузки призабойной стойки, м;

$R_1$  и  $R_2$  - расстояние от забоя соответственно до первого ряда, до последнего ряда призабойной крепи (до места разгрузки и извлечения призабойных стоек), м.

4.2.13.2. При деревянном верхняке:

$$L_{\max} = m_{\text{ср}} + \Delta m_{\text{ср}} - 0,75 h_{\text{в.д}} - k \cdot k_{\text{в}} (m_{\text{ср}} + \Delta m_{\text{ср}}) R_1, \text{ м}; \quad (4.3)$$

$$L_{\min} = m_{\text{ср}} - \Delta m_{\text{ср}} - 0,5 h_{\text{в.д}} - k \cdot k_{\text{в}} (m_{\text{ср}} - \Delta m_{\text{ср}}) R_2 - \theta, \text{ м}; \quad (4.4)$$

где  $h_{\text{в.д}}$  - высота (толщина) деревянного верхняка, м;

0,75 и 0,5 - коэффициенты, учитывающие деформацию верхняка по толщине соответственно при начальном распоре и рабочем сопротивлении.

Величине коэффициента  $K_B$  принимается по табл. 3,2, а запас равновесности  $\theta$  для разгрузки - равным 0,05 м.

#### 5. ВЫБОР ОСНОВНЫХ ЭЛЕМЕНТОВ ПАСПОРТА КРЕПЛЕНИЯ ОЧИСТНОГО ЗАБОЯ С ИНДИВИДУАЛЬНОЙ КРЕПЬЮ

5.1. Для каждого очистного забоя с индивидуальной крепью составляется два паспорта крепления: до первичного обрушения пород кровли; на период первичного обрушения и установившегося сдвижения пород.

5.2. Главными элементами паспорта крепления являются:

ширина поддерживаемого пространства;

величина бесстоечного пространства;

шаг обрушения или переноски крепи;

отставание временной и постоянной крепей от рабочего органа выемочной машины;

величина пролета, при достижении которого производится первичное обрушение пород кровли;

плотность крепи (забойной, посадочной);

зона первичного обрушения.

5.3. При определении указанных параметров необходимо учитывать закономерности сдвижения подрабатываемой толщи пород.

Нагрузка на крепь определяется давлением сдвигающейся толщи пород кровли на высоту, равную 5-6 мощностям пласта, однако основное влияние на ее формирование оказывает нижняя пачка слоев кровли, равная по высоте двум-трем мощностям пласта.

Строением и прочностью нижней пачки, кратной 1,0-1,5 мощности пласта, определяется интенсивность и возможность проявления ударных нагрузок на крепь.

5.4. Порядок выбора основных элементов схемы крепления и управления кровлей должен быть следующим:

5.4.1. По структурным колонкам разведочных скважин и имеющимся данным о физико-механических свойствах пород кровли определяется тип кровли по обрушаемости и устойчивости (см. табл. 3.1; 3.2).

5.4.2. По типу кровли из табл. 3.2 определяется шаг обрушения пород основной кровли при первичном и последующих обрушениях.

5.4.3. В зависимости от типа кровли устанавливается расстоя-

ние от разрезной печи, на котором будет производиться первичная посадка. При применении органной крепи это расстояние должно быть не более предельного пролета первичного обрушения основной кровли и не менее двух шагов обрушения основной кровли при установившемся сдвижении.

При применении посадочных стоек отход от разрезной печи должен быть также не более пролета первичного обрушения основной кровли и не менее одного шага обрушения при установившемся сдвижении, т. е. величина отхода забоя  $l_n$  на момент первичной посадки кровли должна удовлетворять условиям:

$$\text{при органной крепи} \quad 2l_y \leq l_n \leq l_{np} ; \quad (5.1)$$

$$\text{при посадочных стойках} \quad l_y \leq l_n \leq l_{np} , \quad (5.2)$$

где  $l_{np}$  - предельный пролет первичного обрушения основной кровли;  
 $l_y$  - шаг обрушения основной кровли при установившемся сдвижении пород.

При применении забойной и органной крепи из металлических стоек на пластах с легкообрушаемыми кровлями и посадочных стоек при кровлях средней обрушаемости можно вести работу от разрезной печи без предварительного отхода на деревянной крепи при условии, что непосредственная кровля обрушается при пролете не более 5 м, включая ширину разрезной печи. При этом обрушающаяся пачка породы должна подбучивать выработанное пространство на высоту, превышающую мощность пласта не менее чем на 1,0 м.

Необходимая величина сравнительно легкообрушающейся пачки, при которой практически исключается влияние внезапных обрушений кровли, сопровождающихся ударными нагрузками на крепь, определяется по формуле

$$H = \frac{M + I}{K_p} , \text{ м.} \quad (5.3)$$

где  $M$  - мощность пласта, м;

$K_p$  - коэффициент разрыхления пород нижней пачки, в зависимости от мощности пласта и свойств пород изменяется от 1,4 до 1,8.

5.5. Зона первичного обрушения, в которой после произведенной посадки кровли рекомендуется предусматривать временное усиление

крепля в очистном забое, принимается равной максимальному шагу первоначального обрушения основной кровли. Для кровель средней обрушаемости это расстояние должно быть не менее 50 м, труднообрушаемых - 90 м и в случае труднообрушаемых - 150 м.

5.6. При выборе шага посадки необходимо исходить из следующих положений:

при применении индивидуальной металлической крепи шаг посадки должен быть равен ширине захвата комбайна;

при применении металлических стоек до 85 % с металлическим органическим рядом и использованием в качестве предохранительных деревянных стоек в условиях кровель легкообрушаемых и средней обрушаемости шаг посадки может быть принят равным двукратной глубине вруба;

при применении деревянной крепи и неустановленном шаге посадки в аналогичных условиях шаг обрушения принимается равным 80 % величины минимального шага обрушения основной кровли для пород средней обрушаемости и 50 % при труднообрушаемых, приведенных в табл. 3.2;

при труднообрушаемых кровлях следует предусматривать мероприятия по принудительному обрушению или предотвращению завалиний, превышающих в очистных забоях с деревянной крепью шаг посадки и при металлической - два шага переноски крепи.

5.7. При труднообрушаемых кровлях посадка (переноска) посадочной и забойной крепей может производиться только одним фронтом с подвиганием в одну сторону. Применение рассредоточенного способа посадки с разделением лавы на отдельные участки с односторонним или встречным движением фронтов посадки не допускается.

5.8. Выбор минимальной ширины призабойного пространства производится из расчета обеспечения свободного прохода людей по лаве, размещения необходимого резерва крепи. В очистных забоях с легкообрушаемыми и средней обрушаемости кровлями за конвейером до органического ряда можно оставлять до двух циклов при глубине вруба 0,6 и 0,8 м, при труднообрушаемых кровлях и глубине вруба 0,8 и 1,0 м - до одного цикла. При наличии интенсивного отжима угля и опасности пласта от 1,8 м и выше желательное поддержание двух циклов за конвейером, в этом случае в забоях с кровлями средней обрушаемости и труднообрушаемыми предусматривается увеличение плот-

ности предпоследнего ряда соответственно на 15 и 30 % от первоначальной.

5.9. Допустимые отставания крепи от комбайна в зависимости от класса устойчивости кровли определяются по табл. 3.1.

5.10. Применяемые схемы крепления и управления кровлей в очистных забоях с указахватными комбайнами должны обеспечивать своевременный и безопасный подхват кровли без нахождения людей в незакрепленном пространстве между забоем и конвейером или на конвейере.

5.11. При выборе схем крепления и организации работ по возведению крепи в конкретных горно-геологических условиях следует учитывать, что наиболее эффективное и своевременное поддержание кровли может быть осуществлено при использовании выдвижных или серийных шарнирных верхняков с приспособлением для их навешивания ПНВ-4.

Схемы паспортов крепления очистных забоев, предусматривающие своевременный и безопасный подхват кровли за комбайном и в бессточном пространстве с использованием существующих конструкций шарнирных верхняков, устройств для их консольной навески и технология работ приведены в приложении 5. В основу этих схем положены паспорта ДонУТИ, апробированные на шахтах Донбасса в условиях, аналогичных Печорскому бассейну [28].

5.12. Паспорта крепления и управления кровлей для сложных горно-геологических условий, в которых исключается возможность использования металлических крепей или шарнирных верхняков, должны согласовываться с бассейновым институтом и утверждаться в установленном порядке техническим директором объединения.

## 6. РАСЧЕТ НЕОБХОДИМОЙ ПЛОТНОСТИ ЗАБОЙНОЙ И ПОСАДОЧНОЙ КРЕПЕЙ

6.1. Расчет плотности крепи производится в следующем порядке: определяется необходимая несущая способность забойной крепи; определяется с учетом ширины поддерживаемого призабойного пространства необходимая несущая способность посадочной крепи; на основании выбранных средств крепления и полученных значений необходимой несущей способности рассчитывается требуемая плотность крепи;

производится расчет необходимой величины распора забойной и посадочной крепей. При несоответствии распора и принятых средств крепления расчетная плотность крепи изменяется пропорционально коэффициенту  $K_y$ , приведенным в табл. 6.3.

(В используемых выражениях для расчета приняты те же обозначения, что и в табл. 3.1, 3.2, 6.1 и 6.3).

6.2. Несущая способность призабойной крепи определяется по формуле

$$P_a = \frac{m}{K_{p.m} - 1} \gamma \cdot K_B, \text{ тс/м}^2. \quad (6.1)$$

6.3. Необходимая величина первоначального распора забойной крепи  $P_{p.z}$  рассчитывается по формуле

$$P_{p.z} = 10 \frac{m \ell^2}{\sqrt{R}}, \text{ тс/м}^2 \quad (6.2)$$

где  $\ell$  — ширина постоянно поддерживаемого бессточного пространства или расстояние от забоя до первого ряда постоянной крепи;

$R$  — максимальная величина поддерживаемости призабойного пространства, м.

Оптимальная величина первоначального распора посадочной крепи должна быть не менее номинальной несущей способности стоек забойной крепи.

6.4. Величина несущей способности посадочной крепи на 1 м длины лавы определяется по формуле

$$P_n = \frac{m}{K_{p.m} - 1} \gamma \cdot K_B R, \text{ тс/м}. \quad (6.3)$$

6.5. Плотность призабойной крепи будет равна

$$\Pi_z = \frac{P_a}{P_c}, \text{ ст/м}^2, \quad (6.4)$$

где  $P_c$  — несущая способность стойки, тс) для металлических стоек — по технической характеристике; для деревянных — по табл. П.4.1.

6.6. При расчетах величины коэффициентов  $K_{p.m}$ ,  $K_B$  и  $K_n$  принимаются из табл. 6.1 и 3.2 в соответствии с установленным типом кровли.

При расчетах необходимой несущей способности крепи на момент первой посадки и работы в зоне возможного первичного обрушения пород основной кровли в формулах (6.1) и (6.3) вместо коэффициента  $K_B$  ставится  $K_n$ , значения которого приведены в табл. 3.2.

Величина коэффициента разрыхления массива  $K_{p.m}$  принимается согласно данным табл. 6.1.

Таблица 6.1

Мощность пласта, м	1,0	1,5	2,0	2,5	3,0
Значение $K_{p.m}$	1,27	1,30	1,31	1,32	1,33

6.7. Во всех случаях несущая способность стоек призабойной крепи должна выбираться с таким расчетом, чтобы обеспечить необходимое сопротивление при соблюдении требований правил безопасности относительно допустимой ширины прохода между стойками и рядами стоек.

6.8. Несущая способность и величина предварительного распора призабойной и посадочной крепей в зависимости от классификации кровли и вынимаемой мощности пласта ориентировочно оцениваются по данным табл. 6.2.

Табличные значения рассчитаны при ширине поддерживаемого призабойного пространства 4,0 м и величина бессточного пространства 1,2 м.

При величине предварительного распора менее оптимальной — по формуле (6.2) — плотность призабойной крепи увеличивается в соответствии с данными табл. 6.3 на величину коэффициента увеличения плотности  $K_y$  в зависимости от типа кровли по обрушаемости.

6.9. Расчет плотности забойной и посадочной крепей в очистных забоях по предложенной методике производится перед составлением паспорта крепления и управления кровлей, а также может быть использован при поверочных расчетах действующих паспортов в различные моменты технологического цикла.

Примеры расчета плотности крепи приведены в приложении 6.

Таблица 6.2

Крылья	Основные параметры механизированной крепи																			
	засейный					посейный														
	несущая способность, тс/м <sup>2</sup>	величина парозащитного расхода, тс/м <sup>2</sup>	величина парозащитной способности, тс/м <sup>2</sup>	величина несущей способности, тс/м <sup>2</sup>	величина парозащитного расхода, тс/м <sup>2</sup>	величина несущей способности, тс/м <sup>2</sup>	величина парозащитного расхода, тс/м <sup>2</sup>	величина несущей способности, тс/м <sup>2</sup>	величина парозащитного расхода, тс/м <sup>2</sup>	величина несущей способности, тс/м <sup>2</sup>										
1,0	1,5	2,0	2,5	3,0	1,0	1,5	2,0	2,5	3,0	1,0	1,5	2,0	2,5	3,0						
II	15	20	24	29	7	II	14	18	22	44	60	80	96	116	II	15	20	24	29	
Средней обрушаемости	13	18	23	28	33	7	II	14	18	22	52	72	92	112	132	13	18	23	28	33
Труднообрушаемых	16	21	28	34	40	7	II	14	18	22	64	85	112	136	160	16	21	28	34	40

Таблица 6.3

Тип кровли по обрушаемости	Тип кровли по устойчивости	Увеличение при стойках трения К <sub>У</sub>	Увеличение плотности крепи при гидравлических стойках с деревянными верхниками К <sub>У</sub>	
			при гидравлических стойках с деревянными верхниками К <sub>У</sub>	плотности крепи
Легкообрушаемая	Наустойчивая и ниже средней устойчивости	1,4	1,2	
Средней обрушаемости	То же	1,7	1,4	
Труднообрушаемая	"-"	2,3	2,0	

Примечание. При применении крепей с распором ниже оптимального плотность крепи должна быть указана в табл. 6.3.

6.10. При управлении кровлей частичной закладкой или обрушением на угольные целики в связи с тем, что в этих случаях при правильно выбранных параметрах исключается влияние вторичных осадков кровли, расчет плотности призабойной крепи производится для поддержания слоя легко- и среднеобрушаемой непосредственной кровли. При этом несущая способность крепи должна быть достаточной для поддержания слоя пород толщиной не менее трехкратной мощности пласта.

#### 7. ВЫБОР ПАРАМЕТРОВ КРЕПИ И ОСНОВНЫХ ЭЛЕМЕНТОВ ПАСПОРТА КРЕПЛЕНИЯ ОЧИСТНОГО ЗАБОЯ С МЕХАНИЗИРОВАННОЙ КРЕПЬЮ

7.1. При разработке паспорта крепления и управления кровлей в очистном забое, оборудованном механизированной крепью, согласно горно-геологическим условиям выемочного участка определяются основные параметры проявлений горного давления и элементы паспорта крепления по методике, аналогичной расчету паспорта крепления для забоя с индивидуальной крепью.

7.2. Расчеты производятся в следующем порядке:

7.2.1. Определяется класс кровли по устойчивости и обрушаемости (см. табл. 3.1 и 3.2).

7.2.2. Рассчитываются по формулам, приведенным в приложении 7, или берутся из табл. 3.1 и 3.2:

шаг первичного обрушения основной кровли;

шаг вторичных осадков основной кровли;

допустимая площадь незакрепленного пространства или допустимая величина отставания передвижки секций крепи от рабочего органа комбайна;

величины смещения кровли на границе поддерживаемого пространства;

ожидаемая высота вывалов;

величина отжима угля -

и предусматриваются средства и мероприятия по предотвращению внезапных обрушений угля и пород и снижению их величин.

7.2.3. Проверяется соответствие выбранного типоразмера крепи отработываемой мощности пласта.

2.4. Производится расчет необходимой несущей способности механизированной крепи.

7.3. При выборе типоразмера крепи механизированного комплекса пользуются следующей расчетной схемой для определения максимальной и минимальной высоты крепи с учетом опускания кровли, запаса раздвижности, необходимого для передвижки крепи.

Минимальная высота крепи определяется при наибольшем удалении последнего ряда стоек от забоя на участке с наибольшим утонением пласта

$$H_{\min} \leq m_{\min} - k \cdot m_{\min} \cdot R_3 \cdot K_B - \theta \quad (7.1)$$

где  $H_{\min}$  - минимальная высота крепи комплекса, м;

$m_{\min}$  - минимальная мощность пласта, м;

$k$  - коэффициент, учитывающий класс кровли (см. табл. 3.2, графа 7);

$R_3$  - расстояние от забоя до задней стойки секции крепи, м;

$K_B$  - коэффициент влияния вторичных осадков на величину смещения кровли (см. табл. 3.2);

$\theta$  - запас раздвижности, принимаемой для пластов мощностью до 1,0 м равным 30 мм, для пластов мощностью свыше 1,0 м - 50 мм.

Максимальная высота крепи устанавливается из условий работы крепи в лаве на участке с наибольшей мощностью пласта

$$H_{\max} \geq m_{\max} - k m_{\max} \cdot R_n \cdot K_B, \quad (7.2)$$

где  $H_{\max}$  - максимальная высота крепи, м;

$m_{\max}$  - максимальная мощность пласта, м;

$R_n$  - расстояние от забоя до передней стойки крепи, м.

При применении серийных механизированных крепей на участках с весьма труднообрушаемыми кровлями минимальная и максимальная высоты крепи должны удовлетворять условиям:

$$H_{\min} \leq m_{\min} - k \cdot m_{\min} \cdot R \cdot K_B - 0,1 m_{\min}; \quad (7.3)$$

$$H_{\max} \geq m_{\max} + 0,2 m_{\max}.$$

где 0,1 м - суммарная величина мгновенных смещений при осадках основной кровли на участках, где не применяются методы разупрочнения;

0,2 м - величина неустойчивых слоев кровли, обрушающихся в рабочем пространстве очистного забоя при осадках основной кровли, м.

7.4. Расчет необходимой несущей способности механизированной крепи заключается в проверке соответствия удельного сопротивления крепи комплекса ожидаемым нагрузкам согласно горно-геологическим условиям данного очистного забоя при первичных и вторичных осадках основной кровли.

7.5. Необходимая несущая способность механизированной крепи определяется по формуле

$$P = \frac{2 \ell \cdot m \cdot \gamma \cdot K_B}{K_{pm} - 1} \quad \text{тс.} \quad (7.5)$$

Удельное сопротивление находится из выражения

$$P_{уд} = \frac{2 \ell \cdot m \cdot \gamma \cdot K_B}{(K_{pm} - 1) S} \quad \text{тс/м}^2 \quad (7.6)$$

где  $\ell$  - длина перекрытия или поддерживающей части крепи, м;

$b$  - ширина секции, м;

$m$  - вынимаемая мощность пласта, м;

$\gamma$  - средневзвешенный объемный вес породной толщи в зоне обрушения, т/м<sup>3</sup>;

$K_{p.m}$  - коэффициент разрыхления пород кровли;

$K_B$  - коэффициент влияния вторичных осадков основной кровли;

$S$  - площадь, поддерживаемая секцией крепи, м<sup>2</sup>;

С учетом линейных размеров перекрытия секций для крепей поддерживающего типа (КМ-87) можно воспользоваться формулами:

$$\text{сопротивления секции крепи } P = \frac{6 m \cdot \gamma}{K_{pm} - 1} K_B, \quad \text{тс;} \quad (7.7)$$



$$\text{удельного сопротивления } P_{\text{уд}} = \frac{2 \cdot m \cdot f}{K_{\text{рм}} - 1} K_{\text{в}}, \text{ тс/м}^2 \quad (7.8)$$

Полное сопротивление секции крепи ОКМТ, ОКП ограждающего типа определяется по формуле

$$P = \frac{2,4 \cdot m \cdot f}{K_{\text{рм}} - 1} K_{\text{в}}, \text{ тс.} \quad (7.9)$$

Удельное сопротивление равно

$$P_{\text{уд}} = \frac{1,2 \cdot m \cdot f}{K_{\text{рм}} - 1} K_{\text{в}}, \text{ тс/м}^2. \quad (7.10)$$

Полное сопротивление секции крепи 2МКЭ или 1МК определяется по формуле

$$P = \frac{5,2 \cdot m \cdot f}{K_{\text{рм}} - 1} K_{\text{в}}, \text{ тс.} \quad (7.11)$$

Удельное сопротивление равно

$$P_{\text{уд}} = \frac{2 \cdot m \cdot f}{K_{\text{рм}} - 1} K_{\text{в}}, \text{ тс/м}^2. \quad (7.12)$$

Для крепи типа МВ1 полное сопротивление секции и удельное сопротивление соответственно определяются по формулам:

$$P = \frac{3,9 \cdot m \cdot f}{K_{\text{рм}} - 1} K_{\text{в}}, \text{ тс;} \quad (7.13)$$

$$P_{\text{уд}} = \frac{1,4 \cdot m \cdot f}{K_{\text{рм}} - 1} K_{\text{в}}, \text{ тс/м}^2. \quad (7.14)$$

Необходимое сопротивление крепей при первичных осадках основной кровли определяется аналогично по приведенным выше формулам, в которых вместо коэффициента  $K_{\text{в}}$  принимается  $K_{\text{п}}$  (см. табл. 3.2).

7.6. При несоответствии несущей способности крепи требованиям ПТЭ (§. 95) разрабатываются мероприятия по разупрочнению кровли. Выбор способов разупрочнения труднообрушаемой кровли производится на основании анализа горно-геологических условий отработываемого участка, области эффективного применения способов разупрочнения и

сравнения затрат на их осуществление. Расчет параметров выбранного способа производится в соответствии с Временной инструкцией [10].

7.7. При крепях с повышенным сопротивлением, соответствующим требованиям ПТЭ, разупрочнение труднообрушаемой кровли обязательно на момент отхода от монтажной камеры при отсутствии или незначительной величине легкообрушающейся пачки. В этом случае разупрочнение кровли производится во избежание воздушных ударов, которые возникают в момент внезапного обрушения зависших пород на пролете 30-40 м.

Необходимость дальнейшего разупрочнения определяется характером обрушения пород. Вероятность возникновения воздушных ударов уменьшается при постоянном обрушении пачки пород, превышающей мощность пласта с коэффициентом разрыхления  $K_{\text{р}}$ , равным 1,4 - 1,5.

## 8. УПРАВЛЕНИЕ КРОВЛЕЙ И КРЕПЛЕНИЕ В ЛАВАХ СО СЛОЖНЫМИ ГОРНО-ГЕОЛОГИЧЕСКИМИ И ГОРНО- ТЕХНИЧЕСКИМИ УСЛОВИЯМИ

8.1. К сложным горно-геологическим условиям относят отработку угольных пластов с труднообрушаемыми, неустойчивыми кровлями, слабыми почвами, при значительной обводненности, а также на участках, прилегающих к геологическим нарушениям или местам замены литологического состава кровли.

Основным горнотехническим фактором, определяющим опасные проявления горного давления в очистных забоях, является опорное давление, которое проявляется при подработке и надработке целиков угля, оставленных на смежных пластах, при ведении работ в створе.

В очистных забоях при ведении работ в зонах геологических нарушений интенсивность проявлений горного давления зависит от типа нарушения, прочности вмещающих пород, напряженного состояния массива и может характеризоваться значительной неопределенностью, что обуславливается необходимостью постоянного и строгого контроля как со стороны геологической службы, так и надзора участка.

На участках опорного давления величины смещения кровли, высоты вывалов, отжима угля и нагрузок на крепь обычно в 1,5-2,0 раза выше, чем вне зоны влияния опорного давления. Непосредственная кровля постоянно нарушена на 80 % протяженности зоны.

8.2. Безопасная отработка угольных пластов в сложных горно-геологических и горнотехнических условиях может быть обеспечена

при использовании различных технологических мероприятий по локализации вредного влияния комплекса или отдельных факторов на проявления горного давления в очистном забое.

Эффективность разработанных мероприятий зависит от своевременного и качественного прогноза зон влияния вредных факторов.

### 8.3. Переход геологических нарушений.

8.3.1. К геологическим нарушениям относятся нарушения с изменением мощности пласта типа вздутия, утонения, размыва и без изменения мощности пласта типа сброса, взброса, надвига, флексурных складок, характеризующиеся наличием в кровле зеркал скольжения и повышенной трещиноватости пород.

8.3.2. Зона повышенной трещиноватости пород, которая прилегает к нарушению разрывного типа, определяется по формуле

$$L = 4\sqrt{N} e^{2\cos\beta}, \text{ м}, \quad (8.1)$$

где  $L$  — протяженность зоны повышенной трещиноватости пород, считая от нарушения, м;

$N$  — величина нормальной амплитуды, м;

$\beta$  — угол падения сместителя, градус;

$e = 2,71$ .

Для оценки развития нарушения в выемочном поле или столбе при амплитуде менее 2,0 м рекомендуется пользоваться формулой

$$L' = 105 N^{0,9}, \quad (8.2)$$

где  $L'$  — длина нарушения, м.

8.3.3. При переходе геологических нарушений с изменением мощности пласта предусматриваются операции в технологическом процессе по присечке боковых пород или выкладке костров, оставлению пачки угля в почве и соответственно вносятся изменения в паспорт крепления и управления кровлей.

8.3.4. Геологические нарушения типа сброса, взброса, надвига с вмещающими породами, которые можно разрушать исполнительными органами комбайна, проходятся с присечкой. При применении механизированных крепей высота призабойного пространства уменьшается до минимально допустимого размера. И тоты или вывалы следует закладывать деревом.

8.3.5. При переходе зон с неустойчивой или трещиноватой кровлей увеличивается плотность установки крепи, применяется сплошная затяжка кровли. В зонах сильно трещиноватых слабых пород рекомендуется производить опережающее анкерование кровли и пласта или применять опережающую крепь.

8.3.6. Оценка целесообразности перехода нарушения механизированными комплексами производится с учетом технической возможности и экономической целесообразности. Выбор необходимой технологической схемы перехода нарушений производится по альбому "Прогрессивные технологические схемы разработки пластов на угольных шахтах", [12].

### 8.4. Переход зон опорного давления.

8.4.1. Величины зон опорного давления при надрабатываемых подрабатываемых целиках и на участках частично подработанного и надработанного угольного массива, а также зон при сходе очистных забоев из неподработанного в подработанное пространство определяются по формулам и схемам, приведенным на рис. 8.1, и наносятся на совмещенные планы горных работ.

8.4.2. При подходе лавы к зоне опорного давления целиков начальники участка обязаны ознакомить рабочих очистного забоя с изменившимися условиями работы лавы и принять меры по управлению кровлей и креплению, обеспечить необходимый запас крепежных материалов или стоек большего типоразмера, а также внести соответствующие изменения в паспорт крепления очистного забоя и организационные работы.

8.4.3. Во время работы лавы в зоне опорного давления целиков, кроме мероприятий по предотвращению динамического воздействия горного давления на призабойное пространство, при ухудшении состояния кровли необходимо уменьшить шаг установки стоек вдоль лавы (при индивидуальном креплении), увеличить площадь затяжки кровли, применить анкерование или опережающую крепь.

Отработку выемочных участков в зонах влияния оставленных целиков рекомендуется производить с применением гидравлических крепей при управлении кровлей полным обрушением.

Во избежание значительных зависаний кровли следует использовать способы разупрочнения труднообрушаемых пород.

8.4.4. На пластах, опасных по динамическим проявлениям горного давления (по горным ударам, внезапным взбросам угля и газа),

Характер зоны опорного давл.	С х е м а	Расчетная формула
Влияние подрабатываемых угольных целиков		$l = 2\sqrt{h} \cdot b$
Влияние подрабатываемого угольного массива		$l_1 = 0,03H$ $l_2 = 0,07H$
Величина переходных зон при движении забоя из необрабатываемого в подрабатываемый угольный массив		$l_{подр.} = 0,7h\sqrt{m}$ $l_{мас.} = 0,6h\sqrt{m}$
Влияние надрабатываемых целиков, оставленных по нижележащему пласту:		$l_{1ч} = 0,5h\sqrt{m}$ $l_{2ч} = 0,6h\sqrt{m}$ $l_{общ.} = 1,1h\sqrt{m}$
с-при ширине целика между пластьа б-л с-при ширине целика между пластьа б-л		$l_n = \frac{2,2b^2\sqrt{m}}{h}$

Рис. 8.1. Расчетные схемы и формулы для определения величин зон вредного влияния горных работ на соближенных пластах

зонах геологических нарушений и влияния опорного давления, помимо приведенных выше рекомендаций, работы ведутся согласно с требованиями соответствующих инструкций ПБ.

## 9. ВЫБОР СРЕДСТВ И СХЕМ КРЕПЛЕНИЯ КОНЦЕВЫХ УЧАСТКОВ

### 9.1. Общие положения.

9.1.1. Под концевым участком лавы понимается участок очистного забоя, прилегающий к оконтуривающим его выработкам, и часть выработки, находящаяся в зоне влияния очистных работ. Этот участок характеризуется различием средств и схем крепления, технологических процессов и закономерностей проявлений горного давления. Для дальнейшей типизации схем крепления этих участков предлагается разделение его на зоны, которые характеризуются общностью условий работы крепи и одинаковыми закономерностями проявлений горного давления.

В качестве таких зон выбраны (рис. 9.1): ниши (1-1<sup>I</sup>), сопряжения (2-2<sup>I</sup>), участки выработок впереди очистного забоя (3-3<sup>I</sup>) и позади лавы (4-4<sup>I</sup>).

9.1.2. Для каждой зоны в зависимости от мощности пласта, применяемых средств механизации в очистном забое, способов подготовки выемочного участка, охраны и поддержания выработки, площади ее сечения и вида применяемой крепи, расположения относительно разрабатываемого пласта выбирается конкретная схема крепления определенной зоны. На основе выбранных средств и схем крепления зон составляется общий паспорт крепления концевого участка, включающий все технические решения по креплению каждой отдельной зоны.

9.1.3. Паспорт крепления концевого участка должен базироваться на применении современных технических решений, обеспечивающих:

- безопасное и надежное крепление всех зон концевого участка при наименьшей трудоемкости работ;
- ликвидацию или значительное снижение длины ниш;
- применение средств комплексной механизации (гидрофицированных крепей сопряжения и усиления, укороченных приводных и натяжных станций забойных конвейеров, концевых секций, секций с удлиненными и выдвижными козырьками).

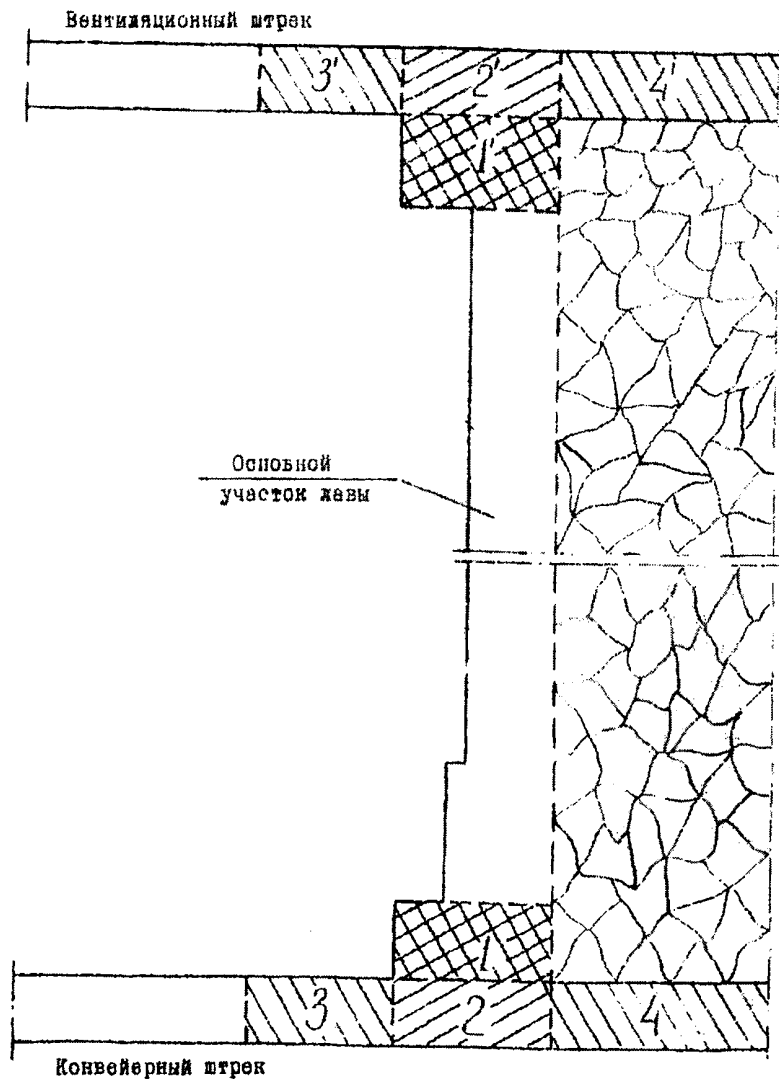


Рис. 9.1. Схеме разделения концов лавы на зоны: 1 и 1' — ниши; 2 и 2' — сопряжения; 3 и 3' — участки выработок впереди очистного забоя; 4 и 4' — участок выработки, прилегающий к выработанному пространству

Ниже приводятся основные требования к крепи в каждой из перечисленных выше зон и даются типовые схемы их крепления (рис. 9.3; 9.4; 9.5; 9.6; 9.7; 9.8; 9.9).

9.1.4. Размеры свободного прохода для людей, необходимые зазоры в прилегающих к лаве выработках, а также их сечения принимаются в соответствии с § 35, 36, 64 и 77 ПБ [1].

Примеры составления общих паспортов приведены на рис. 9.10 и 9.11.

9.1.5. В настоящем Руководстве приводятся типовые схемы крепления отдельных зон и конечного участка в целом для шахт объединения "Воркутеуголь". Для шахт объединения "Интауголь" рекомендуются к использованию схемы крепления конечных участков, приведенные в "Альбоме схем крепления сопряжений очистных забоев с прилегающими выработками для шахт объединения "Интауголь" [13], который разработан по предложению ПечорНИИпроектотом методическому приему разделения конечного участка на зоны и утвержден техническим директором 29.05.78 г.

## 9.2. Выбор средств и схем крепления ниш.

9.2.1. Зоны ниш по длине лавы ограничиваются уступом ниши и бортом прилегающей выработки, а в направлении подвигания лавы — забоем ниши и линией установки специальной крепи. Ниши характеризуются большой площадью обнажения, связанной с частичным или полным размещением в них приводных или натяжных стаций забойного конвейера, значительными величинами межстоечного пространства и необходимостью перестановки крепи при передвижке конвейера.

9.2.2. Размеры ниш по длине лавы определяются сечением прилегающей выработки, типовыми размерами приводных и натяжных стаций забойного конвейера и их размещением, длиной комбайна и его типом, принятой технологией выемки.

9.2.3. Размеры ниш в направлении подвигания обуславливаются величиной захвата выемочного органа комбайна, схемой его работы и углом падения пласта.

9.2.4. Средства и схемы крепления ниш выбираются в зависимости от состояния боковых пород и допустимых площадей обнажения на момент перестановки крепи.

9.2.5. При отсутствии ниши крепление участка, прилетающего к выработке, должно осуществляться средствами и по схемам, применяемым в лаво.

9.2.6. При наличии ниш в очистных забоях с механизированными комплексами плотность крепи в них должна быть не менее плотности призабойной крепи, рассчитанной по зависимостям (6.1) и (6.4). При этом в нише должны, как правило, устанавливаться линейные секция гидрофицированной крепи либо секция с удлиненным или выдвижным козырьком.

В забоях с индивидуальной крепью плотность крепи в нише должна быть на 20 % выше плотности крепи, определенной по выражениям (6.1) и (6.2) для каждого класса кровли по обрушаемости.

При этом крепление ниш должно осуществляться металлической инвентарной крепью (балками из профиля ШС или отожженного рельса Р-24 и стойками со снегозащитами; рис. 9.2). Допускается при неустойчивой кровле и сложной ее топографии в зонах со сложными условиями (влияние стационарного опорного давления ранее отработанных очистных забоев, влияние целиков) применение деревянных верхняков (необрезного бруса, пластины).

В забоях, оборудованных разборными конвейерами (типа С-53), для обеспечения безопасности работ по передвигке приводов под деревянными верхняками дополнительно устанавливается балка из профиля СВИ-27, обеспечивающая поддержание необходимого пролета на моменг передвигки.

9.2.7. Длина верхняка (балки инвентарной крепи, бруса) выбирается исходя из необходимости безконсольного поддержания кровли в месте передвигки приводов. Для увеличения плотности крепи и соблюдения размеров свободных проходов рекомендуется установка спаренных рам или стоек инвентарной крепи.

9.2.8. При применении шарнирных или рессорных верхняков их длину следует принимать равной или кратной шагу передвигки конвейера.

9.2.9. Допускается применение, в зависимости от условий, в одной нише двух схем крепления: например, спаренных инвентарных рам из профиля ШС и стоек со снегозащитами над приводом конвейера и одиночных рам в остальной части ниши (схема 1-7, рис. 9.4). При этом плотность установки на каждом участке должна выбираться с учетом класса кровли по обрушаемости и требований п. 9.2.6.

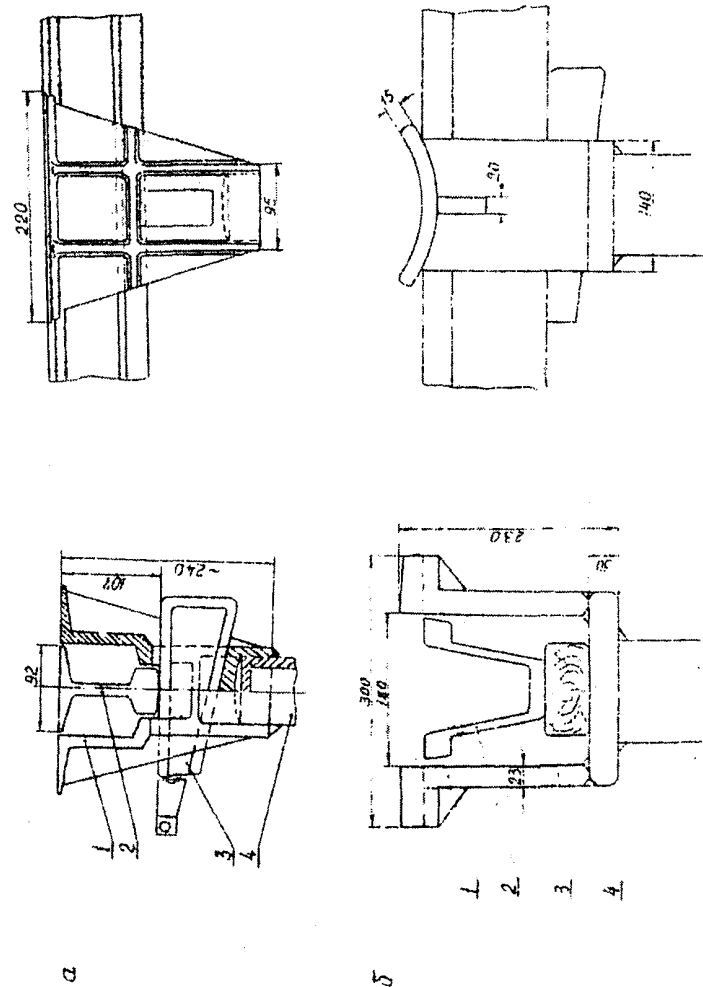


Рис. 9.2. Конструкция снегозащит: 0 - снегозащитная балка под рельс Р-24 с металлическими поперечными клином; 1 - корпус инвентарной крепи; 2 - верхняк (рельс Р-24 или специальный СВИ-27); 3 - клин; 4 - выдвигаемая часть стойки

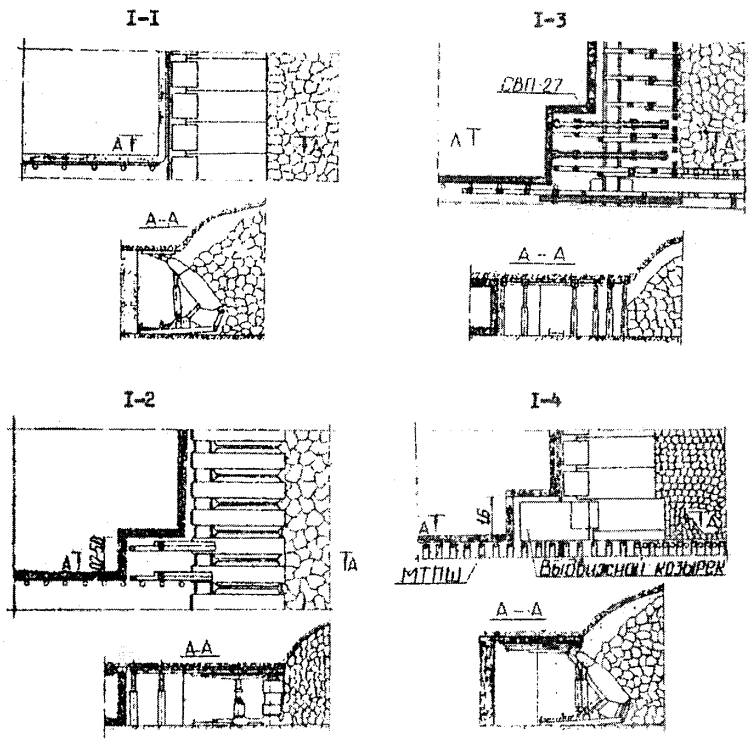


Рис. 9.3. Типовые схемы крепления нит у конвейерной выработки при ее потемнении

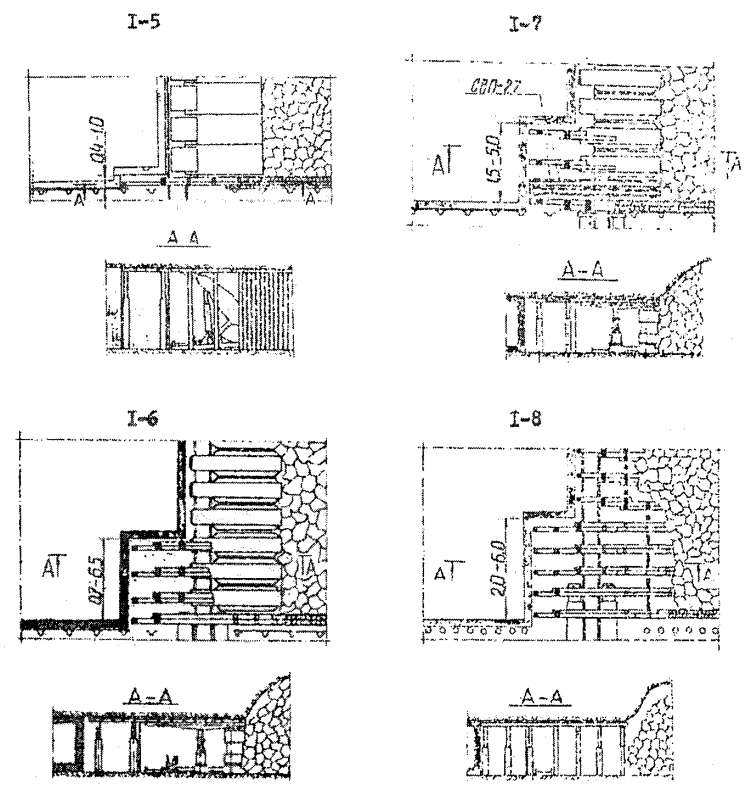


Рис. 9.4. Типовые схемы крепления нит у конвейерной выработки при ее поддержании

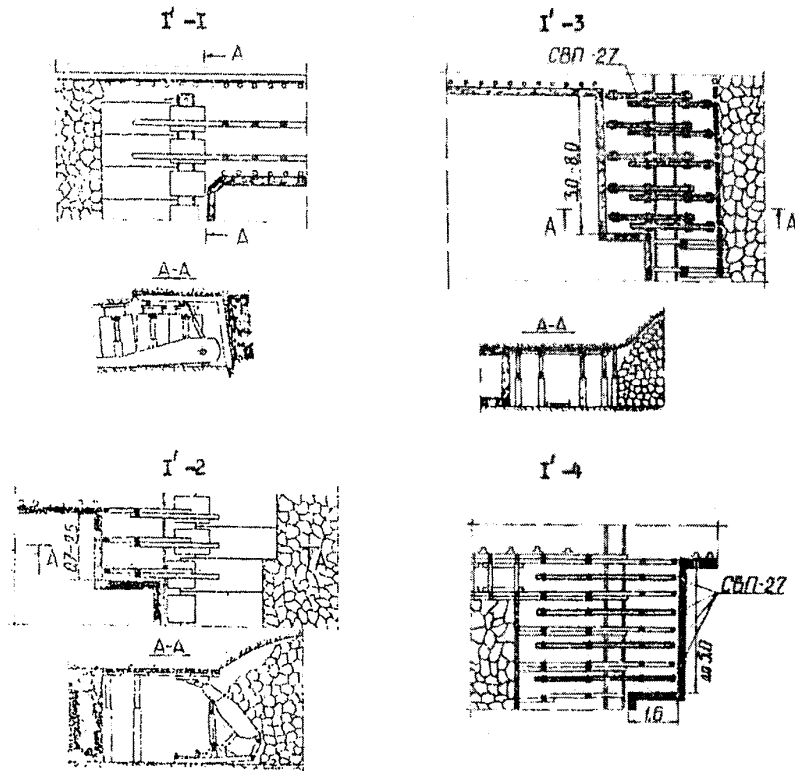


Рис. 9.5. Типовые схемы крепления нити у вентиляционной (рельсовой) выработке

9.2.10. Типовые схемы крепления нити, прилегающих к конвейерной и вентиляционной (рельсовой) выработкам, приведены на рис. 9.3, 9.4 и 9.5.

В схемах I-1 - I-8 приводятся конструктивные решения по креплению нити у конвейерного штрека, в схемах I'-1 - I'-4 - у рельсовой выработки.

При подвешивании конвейерной выработки вслед за лавой наиболее рациональной является схема I-1, в которой за счет полного выноса приводной станции нити отсутствует. В схеме I-2 при применении механизированных комплексов типа КМ-87, КМ-97 и "Донбасс" крепление нити осуществляется спаренными рамами из верхняков и индивидуальных металлических стоек. При этом консоли верхняков подхватываются при передвижке козырьками линейных секций крепи. В схеме I-4 крепление нити (при полном выносе привода конвейера в выработку) осуществляется выдвижным козырьком секции СВК конструкции ПечорНИИпроект. В схеме I-3 дается вариант крепления нити в лаве с индивидуальной крепью с применением чередующихся рам инвентарной крепи и спаренных рядов забойной крепи из верхняков (бруса, пластины) и индивидуальных металлических стоек.

При поддержании конвейерной выработки (схемы I-5 - I-8) наиболее рациональной является схема I-5, предполагающая разрезку нити на величину установки спаренных рядов крепи по бровке нити, под которые в последующем пробивается органичная крепь для поддержания и ограждения выработки. Такой спаренный ряд по бровке устанавливается и в других схемах (I-6, I-7 и I-8). Остальная же часть нити крепится по тем же схемам, что и при подвешивании выработки. Отличием схемы I-8 является то, что она рекомендуется для сложных условий (слабые породы кровли, сложная гипсометрия кровли и т. д.), где инвентарные крепи не применимы. Над приводом лавного конвейера устанавливаются спаренные ряды крепи из бруса и индивидуальных стоек, обеспечивающие бесконсольное поддержание кровли в зоне передвижки.

Для крепления нити у вентиляционного штрека основным следует считать направление выводе линейных секций крепи на штрек, при этом необходимость в верхней нити отпадает (схема I'-1) или сводится к минимуму. Крепление нити осуществляется по схеме I'-2 с подхватыванием консолей верхняков козырьками секций. Для лав с индивидуальной крепью наиболее безопасные условия создаются при применении инвентарных крепей. При этом могут применяться две схемы:

установка спаренных рам инвентарной крепи и их передвижка в шахматном порядке (схема 1<sup>I</sup>-3) и чередующаяся установка одинарных балок инвентарной крепи и рам из бруса с установкой дополнительного ряда (схема 1<sup>I</sup>-4).

9.3. Выбор схем крепления сопряжений и определение несущей способности крепи.

Зоны сопряжений (2, 2<sup>I</sup>, рис. 9.1) ограничиваются площадью конвейерной или рельсовой выработки между забоем и линией установки специальной крепи в лавах. Кроме этого, длина сопряжения зависит от величины окна лавы и количества удаляемых стоек крепи для вывода привода конвейера. Количество снимаемых ножек не должно превышать 50 % рам, поддерживаемых крепью сопряжения.

9.3.1. В качестве крепи сопряжения в лавах с механизированными крепями должны преимущественно применяться гидрофицированные крепи сопряжений (типа Т-6К, ОКС, ОКСА, КСА и др.), выполняющие функции поддержания крепи выработки на момент передвижки забойного оборудования.

Выбор типа крепи и ее параметров должен производиться в соответствии с технической документацией и инструктивными материалами по их применению. В качестве крепи сопряжения могут применяться секции механизированной крепи с удлиненным козырьком при обязательном усилении крепи выработки впереди крепи сопряжения.

9.3.2. В сложных горно-геологических условиях (величине угольной пачки над кровлей выработки, сложная гипсометрия пласта) и в условиях, не соответствующих технической характеристике механизированной крепи сопряжения, крепление сопряжения может осуществляться спаренными рамами (прогонами), состоящими из балок спецпрофиля СВП-27 или деревянных верхняков и индивидуальных металлических (или деревянных) стоек. При применении инвентарных крепей металлические стойки должны оборудоваться спецасадными. Длина балок (прогонов) выбирается с учетом удвоенного расстояния участка, на котором удаляются стойки крепи выработки.

9.3.3. В выработках трапециевидной формы допускается смещение одной из рам крепи (прогонов) к центру выработки. При арочной крепи спаренные рамы должны быть установлены по оси выработки (схемы 2-4, рис. 9.6 и 2<sup>I</sup>-4, рис. 9.7).

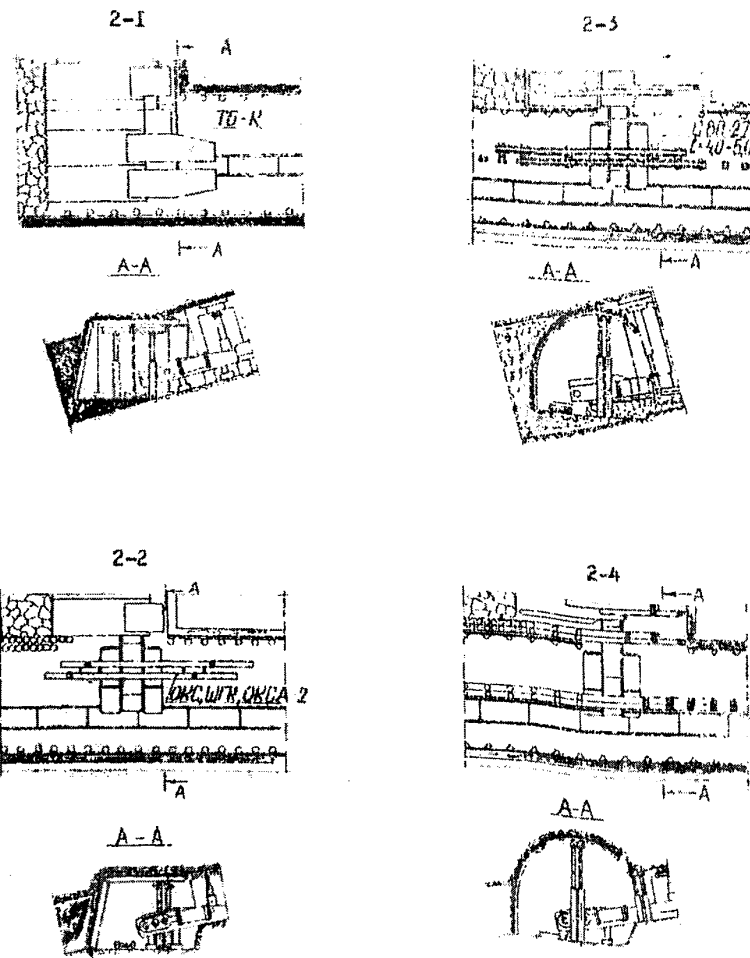


Рис. 9.6. Типовые схемы крепления сопряжений у конвейерной выработки



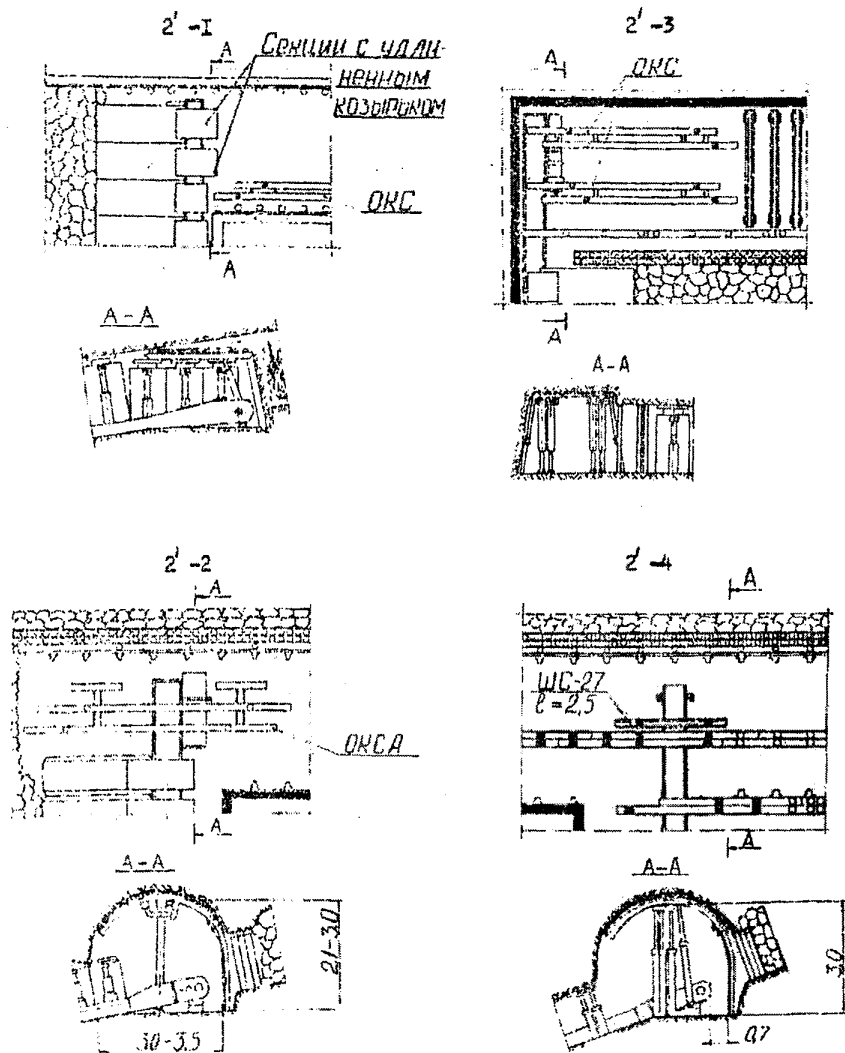


Рис. 9.7. Типовые схемы крепления сопряжений у вентиляционной (рельсовой) выработки

9.3.4. Для удержания нависающего массива пород над бровкой в окне лавы может применяться анкерная крепь.

9.3.5. Расчет несущей способности крепи сопряжения в зависимости от способа охраны и поддержания выработки производится по методике, приведенной в приложении 8.

9.3.6. Типовые схемы крепления сопряжений (зоны 2, 2<sup>I</sup>) приведены на рис. 9.6 и 9.7. При потаивании выработок трапециевидной формы наиболее эффективными средствами крепления сопряжений являются крепи Т-БК на конвейерном штреке (схема 2-I, рис. 9.6) и секция крепи с удлиненным козырьком на вентиляционном штреке (схема 2<sup>I</sup>-I, рис. 9.7). В последней схеме обязательно применение усиливающей крепи (ОКС, прогонов). Для потаиваемых вентиляционных выработок с арочной крепью рекомендуется применять гидрофицированные крепи типа ОКСА, КСА (схема 2<sup>I</sup>-2, рис. 9.7) или спаренные ряды прогонов с установкой дополнительной рамы инвентарной крепи из балки СВП-27 и стоек со спецнаседками (схема 2<sup>I</sup>-4, рис. 9.7).

Для выработок, поддерживаемых на границе с выработанным пространством, преимущественно должны применяться гидрофицированные крепи сопряжений: при трапециевидной форме сечения - типа ОКС, при оvoidчатой - ОКСА, КСА (схема 2-2, рис. 9.6). Возможно в этих условиях применение спаренных рам инвентарной крепи из балок СВП-27 и металлических стоек со спецподложками (схема 2-3, рис. 9.6) или спаренных рядов прогонов, устанавливаемых по оси выработки (схема 2-4, рис. 9.6).

При формировании выработки вслед за очистным забоем в качестве крепи сопряжения возможно применение двух крепей типа ОКС (схема 2<sup>I</sup>-3, рис. 9.7).

9.4. Выбор средств и схем установки усиливающей крепи впереди очистного забоя.

9.4.1. Выбор средств и схем крепления участков выработок, находящихся впереди очистного забоя, определяется в первую очередь способом подготовки выемочного участка. Для выработок, пройденных в массиве угля, зону вредного влияния опорного давления впереди лавы можно оценить по формуле

$$Z_{2p} = 0,05 H, \text{ м,}$$

где  $H$  - глубина ведения работ, м.



"Временным руководством по проведению, креплению и охране одиночных выработок на шахтах комбината "Воркутауголь" [14], для объединения "Интауголь" - в соответствии с рекомендациями, изложенными в работе [13].

9.5.3. Оценка несущей способности крепи и выбор ее плотности для выработок, находящихся на границе выработанного пространства, может быть произведена по методике, приведенной в приложении 9.

9.5.4. В качестве крепи для охраны одиночных выработок следует применять органичную (одно-, двух- и трехрядную) крепь из деревянных стоек; кусты, костры или чураковую стенку в сочетании с органичной крепью.

Установка ограждающей крепи производится у линии установки посадочной крепи в забое, начиная от зоны сопряжения.

При применении крепей сопряжения типа СКС, СКСА, КСА установка усиливающей крепи должна производиться сразу же после передвижки крепей сопряжения.

В качестве усиливающих крепей должны применяться крепи усиления КУ (схема 4-2, рис. 9.9), одиночные или спаренные ряды прогонов, состоящих из деревянного верхняка и металлических или деревянных стоек (схема 4-3, рис. 9.9), или отдельные стойки со спецнасадками, устанавливаемые под каждую раму крепи (схема 4-1, рис. 9.9).

9.5.5. Для конвейерных выработок, потаваемых вслед за продвижением лавы, на участках до 8 м допускается поддержание тупика для размещения натяжной станции конвейера. При этом в качестве крепи поддержания и ограждения применяется индивидуальная деревянная или металлическая крепь (схема 4-4, рис. 9.9).

При вносе линейных секций в вентиляционную выработку и расстоянии от них до стоек крепи более 0,6 м устанавливается органичная крепь. Посадка производится участками не более 2 м (схемы 4-1-I и 4-1-2, рис. 9.9).

9.5.6. Типовые схемы установки ограждающей и усиливающей крепи в зоне 4-4<sup>I</sup> приведены на рис. 9.9.

9.5.7. Приведенные типовые схемы не исключают возможности применения других схем в особо сложных условиях. При этом плотность установки крепи должна быть не менее рекомендованной, а в качестве средств крепления должны применяться средства, использованные при

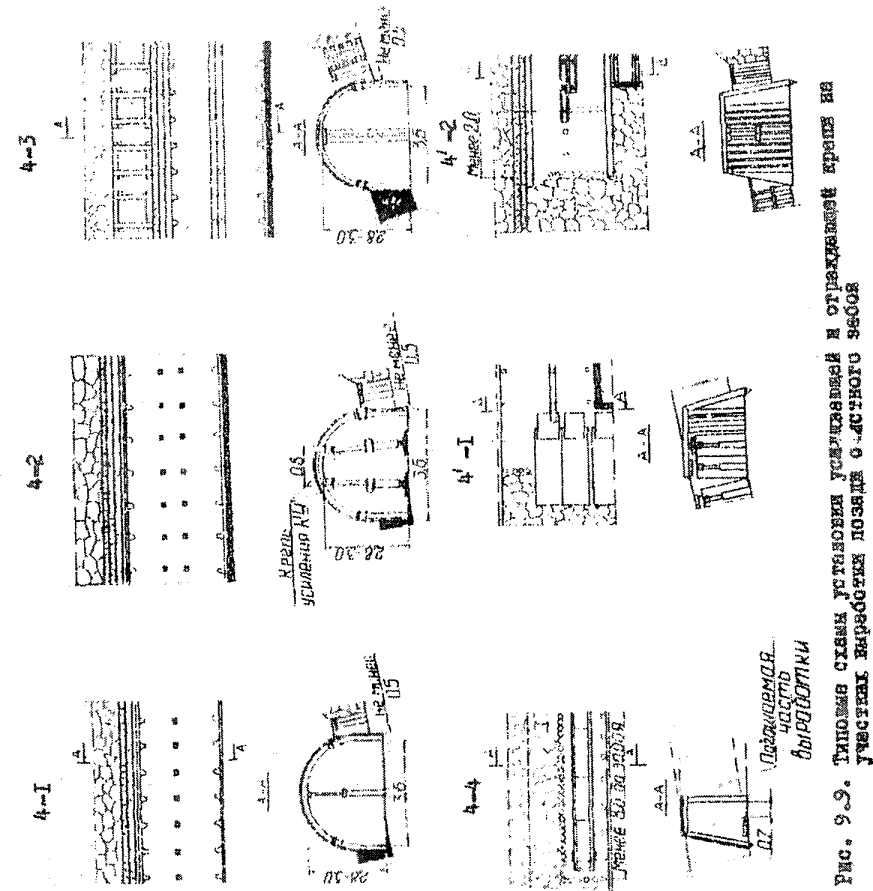


Рис. 9.9. Типовые схемы установки усиливающей и ограждающей крепи на участках выработки после 6-4-ст. забоя

разработке типовых схем крепления отдельных зон.

#### 9.6. Примеры разработки паспорта крепления концевых участков.

9.6.1. При разработке общего паспорта крепления концевого участка определяются исходные данные для выбора конкретных схем крепления отдельных зон; характеристики применяемых средств механизации, параметры сопрягаемых выработок, способы их охраны и поддержания, типы крепей выработок.

По исходным данным производится выбор соответствующих горно-геологическим и горнотехническим условиям типовых схем крепления отдельных зон и на их основе составляется общий паспорт.

9.6.2. Минимально необходимая длина нити при различных средствах механизации и параметрах сопрягаемой выработки приведена в табл. 1 и 2 приложения 10.

9.6.3. Ниже приводятся примеры составления общего паспорта крепления концевого участка.

##### 9.6.3.1. Пример 1.

Исходные данные:

мощность пласта - 2,8 м;

применяемые средства механизации - комплекс ОКП-2, крепь Т-13К, конвейер СУ ОКП, укороченные приводы конструкции ПечорНИИ-проекта;

сечение, форма прилегающей выработки и ее ширина в свету: конвейерный штрек 8,4 м<sup>2</sup>, трапециевидная,  $V_{кр} = 3,5$  м; вентиляционный штрек 7,3 м<sup>2</sup>, трапециевидная,  $V_{кр} = 2,9$  м;

тип крепи и ее плотность: конвейерный штрек - деревянная, неполный дверной оклад, 1,5 рамы на 1 м; вентиляционный штрек - деревянная, неполный дверной оклад, 1,5 рамы на 1 м;

способ охраны и поддержания выработки - оба выработки подпашены вслед за лавой.

Для таких условий выбираются для нижнего концевого участка:

крепление ниши - по схеме 1-1;

крепление сопряжения - по схеме 2-1;

крепь усиления впереди лавы - по схеме 3-1.

Для концевого участка, примыкающего к вентиляционному штреку:

крепление ниши - по схеме 1-1;

крепление сопряжения - по схеме 2<sup>I</sup>-1;

крепь усиления впереди забоя - по схеме 3-1.

Паспорт крепления концевого участка приведен на рис. 9.10.

##### 9.6.3.2. Пример 2.

Исходные данные:

мощность пласта - 1,45 м;

применяемые средства механизации - комплекс КМ-87ДН, крепь М-87ДН, комбайн 2К-52М, конвейер СПМ-87ДН;

сечение, форма прилегающей выработки и ее ширина в свету: конвейерного штрека 10,4 м<sup>2</sup>, сводчатая,  $V_{кр} = 3,950$  м; вентиляционного штрека 7,3 м<sup>2</sup>, сводчатая,  $V_{кр} = 3,020$  м;

тип крепи выработки и ее плотность: конвейерный штрек - арочная трехзвеньевая, 1,5 рамы на 1 м, вентиляционный штрек - арочная трехзвеньевая, 1,5 рамы на 1 м;

способ охраны и поддержания выработки - конвейерный штрек поддерживается в выработанном пространстве, вентиляционный штрек подпашается вслед за лавой.

Для этих условий крепление концевого участка, примыкающего к конвейерному штреку, должно осуществляться по следующим схемам:

ниша - по схеме 1-6 или 1-7;

сопряжение - по схеме 2-2;

зона впереди очистного забоя - по схеме 3-5;

зона усиления крепи за очистным забоем - по схеме 4-2.

Для концевого участка, примыкающего к вентиляционному штреку, при составлении паспорта используются следующие схемы:

ниша - схема 1<sup>I</sup>-2;

сопряжение - схема 2<sup>I</sup>-4;

зона выработки впереди очистного забоя - 3<sup>I</sup>-1;

зона выработки позади очистного забоя - 4<sup>I</sup>-2.

Паспорт крепления концевого участка приведен на рис. 9.11.

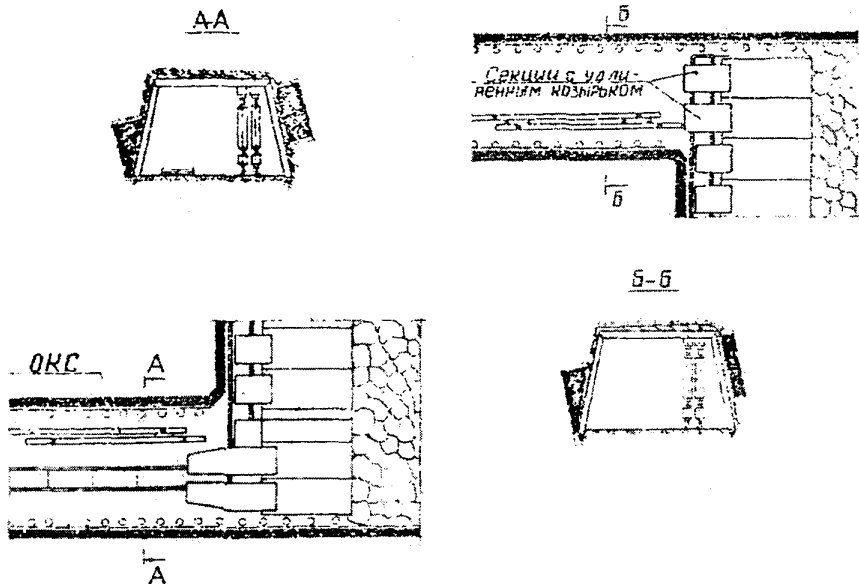


Рис. 9.10. Паспорт крепления концевых участков (пример № 1)

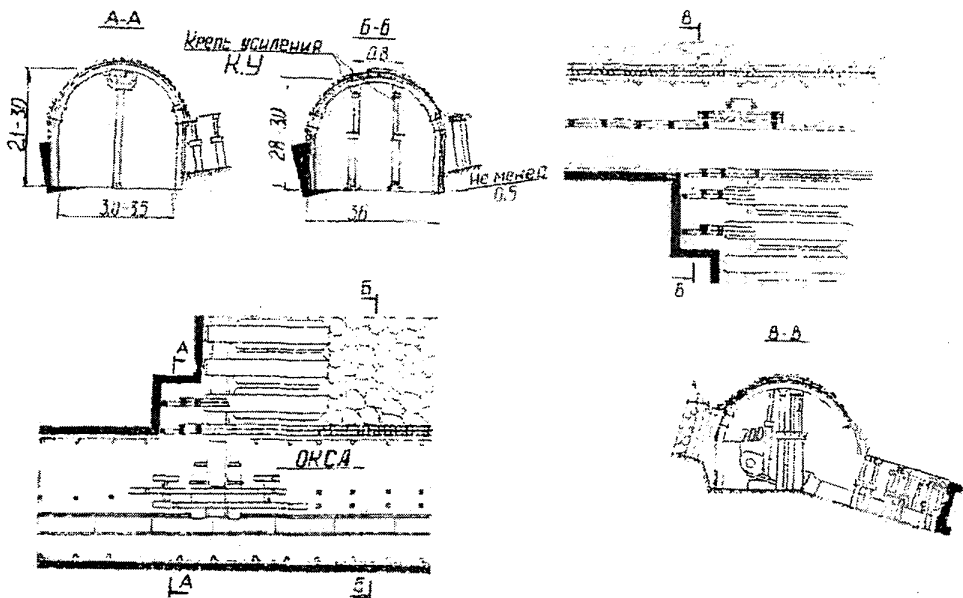


Рис. 9.11. Паспорт крепления концевых участков (пример № 2)

10. РЕКОМЕНДАЦИИ ПО ВЫБОРУ СХЕМ И СРЕДСТВ  
ИЗВЛЕЧЕНИЯ МЕТАЛЛИЧЕСКОЙ КРЕПИ ИЗ  
ПОГАШАЕМЫХ ВЫРАБОТОК

10.1. Основные способы извлечения крепи.

Основным и наиболее распространенным способом извлечения металлической крепи при погашении выемочных выработок является способ извлечения с помощью лебедок. Широкое применение лебедок для извлечения крепи из одинарных выработок объясняется технологической простотой этого способа, возможностью применения его в самых различных по горнотехническому состоянию выработках, надежностью в работе и безопасностью труда рабочих.

Способ извлечения металлокрепи под защитой специальных крепей сопряжений отличается более высоким техническим уровнем поддержания тупиковой части выработки. Однако, при данном способе объем извлечения металлокрепи незначителен. В применяемых схемах извлечения заложена потеря верхников. Кроме того, при угле падения пластов свыше 15° и отработке выемочных полей по простиранию во избежание прорыва пород со стороны выработанного пространства ранее отработанной лавы не извлекается вторая стойка крепи выработки.

В Руководстве на рис. 10.1; 10.2; 10.3 и 10.4 приведены типовые схемы механизированного извлечения металлокрепи из погашаемых одинарных выработок с применением лебедки и гидравлических секций крепи сопряжения. С учетом конкретных условий производства эти схемы можно использовать в качестве основы для составления рабочих паспортов извлечения металлокрепи.

10.2. Способ извлечения металлической крепи с помощью лебедок.

10.2.1. Применение его наиболее целесообразно при погашении одинарных выработок в период отработки второй смежной лавы в связи с тем, что тупиковая (погашаемая) часть этих выработок находится в выработанном пространстве, где крепь испытывает усиленное горное давление, пучение почвы достигает 500 мм и более, опускание пород кровли составляет 700-900 мм, высота выработки уменьшается до 1,6-1,8 м, площадь поперечного сечения снижается до 4 м<sup>2</sup>.

На шахтах Печорского бассейна способ извлечения металлокрепи с помощью лебедок может применяться при погашении одинарных выработок при отработке лав по простиранию и восставию. При отработке лав по падению извлечение металлокрепи из погашаемых выработок

возможно при угле наклона до 15°.

10.2.2. Для извлечения металлокрепи применяются шестные лебедки различного назначения (табл. 10.1).

Лебедки ЛПК, ЛПН и ЛВД имеют большую канатоемкость, что позволяет располагать их на расстоянии 200 м и более от извлекаемой крепи и уменьшить трудоемкость работ по передвижке. Однако, эти лебедки применяются только в тех выработках, которые свободны от другого горно-шахтного оборудования.

При размещении энергопоезда и маслостанции в погашаемой выработке лебедка располагается только между энергопоездом и очистным забоем. На этом участке выработка испытывает усиленное горное давление; сечение ее на 30-40 % уменьшено по сравнению с первоначальным. Поэтому в данных условиях следует применять малогабаритные лебедки с небольшой канатоемкостью барабана, но с достаточным тяговым усилием для извлечения зажатых элементов арочной крепи (типа ЛВД-2Г, МК-6 и им подобных).

Таблица 10.1

Шахтные лебедки, применяемые для извлечения  
металлокрепи и их основные технические данные

Тип лебедки	Тяговое усилие на канате, кгс	Канатоемкость барабана, м	Диаметр каната, мм	Размеры лебедки: длина, ширина, высота, мм	Вес лебедки, кг
ЛВД-12	630	200	12,5	770 x 1000 x 700	460
ЛВД-2Г	1800	250	15,5	770 x 1000 x 700	660
ЛВД-34	1250	600	15,5	920 x 1940 x 820	1660
ЛПК-10Б	13000-26000	210	20,0	2365x 808 x 1090	2100
Г ЛПН	10000	295	25,0	2000 x 700 x 996	1800
ЛБП	630	200	12,5	930 x 670 x 750	400
МК-6	1650	150	12,5	1340 x 850 x 765	682
ЛПР-3м	630	200	12,5	950 x 650 x 730	370
ЛШГ	1800	310	14,0	2125 x 1030 x 1090	2000
ЛРУ-2м	4000	90	19,5	1585 x 850 x 855	760

10.2.3. При извлечении металлической крепи необходимо иметь следующий комплект инструментов: накидной гаечный ключ, наставку на трубы длиной 0,6-0,7 м, зубило с ручкой, лом, лопату, кувалду, кайло.

#### 10.2.4. Безопасность работ при извлечении металлокрепя.

На погашаемую выработку составляется проект, в котором отражаются: общая характеристика выработки, тип и техническая характеристика применяемой лебедки, установка ее в выработке, порядок производства работ.

Расстояние, на котором устанавливается лебедка, определяется наличием в выработке горно-шахтного оборудования и принятым типом лебедки, но должно быть не менее 10-15 м от извлекаемых рам. Лебедка должна крепиться стоечной или якорной крепью. Если лебедка установлена на максимальном расстоянии от места извлечения и видимость работ по извлечению затруднена, то на расстоянии 10-50 м от извлекаемых рам устанавливается сигнальное устройство, с которого на лебедку подаются определенные сигналы.

Перед началом работ по извлечению металлической крепи рабочие совместно с горным мастером производят осмотр рабочего места. Любая неисправность лебедки, каната, пусковой аппаратуры, кабельного хозяйства должна быть устранена. Работы по извлечению металлокрепя до устранения неисправностей производить запрещается.

Во время работы необходимо следить за плавным натяжением каната, чтобы он не сошел с барабана лебедки и не вышел из канавки подвешенного блока.

#### 10.2.5. Технология работ по извлечению металлической крепи с помощью лебедки (схема I, рис. 10.1).

За сутки до начала работ по извлечению металлокрепя на последних рамах связываются машинные маслом гайки и резьба хомутов. Впереди лавы демонтируются и убираются рельсы, трубы и прочее оборудование.

Стойка арочной крепи со стороны лавы снимается вручную перед передвижкой лавного конвейера. Извлечение остальных элементов крепи производится за лавой на расстоянии 3-4 м от сопряжения. Для поддержания этого участка выработки в безопасном состоянии при извлечении металлокрепя и предотвращения прорыва породы со стороны очистного забоя возводится арочная крепь из деревянных стоек. За крепью сопряжения под все верхьяки арочной крепи устанавливаются ремонтные. Ремонтные возводятся до передвижки крепи сопряжения. Между извлекаемой и предпоследней аркой устанавливаются деревянные рамы. Затем производятся работы непосредственно по извлечению металлической крепи:

При неудовлетворительном состоянии крепи выработки и уменьшении ее сечения до 4 м<sup>2</sup> между лебедкой и блоком устанавливается щит из 4-5 стоек.

На последней раме снимаются межрамные стяжки. С хомутов накидным гаечным ключом свинчиваются гайки и снимаются плашки. Если резьба хомутов забита и гайки не поддаются полному свинчиванию, тогда они свинчиваются на 4-6 оборотов и сбиваются вниз по стойке кувалдой. Затем ломиком стойка выводится из соединения с верхняком в местах нахлестки.

В условиях неустойчивой кровли и для безопасного ведения работ целесообразно извлекать одновременно стойку и верхняк. С этой целью канат лебедки должен оканчиваться двумя разновеликими концами с крюками. Канат лебедки перекидывается через переносной блок. Один конец каната присоединяется петлей к стойке, другой - к верхняку и с помощью лебедки извлекаются оба элемента.

Переносной блок крепится на верхняке целой рамы, которая находится на крепи сопряжения впереди лавы.

Извлекаемые элементы крепи грузятся в вагоны или "козы" для отправки на пресс, где крепь сортируется на годную для повторного использования без ремонта и деформированную. Деформированные элементы, в свою очередь, сортируются на пригодные к правке на прессе и на отходы, отправляемые в металллом.

#### 10.3. Способ извлечения металлокрепя с помощью крепи сопряжения.

Существующие механизированные крепи сопряжений разработаны без учета возможности извлечения металлической крепи из погашаемых выработок. Целям механизации извлечения крепи соответствуют крепи сопряжений типа Т-6К, М81ЭЭ и КС-1А. Условия применения данного способа определяются состоянием погашаемой выработки, особенно высотой и свободным сечением ее на сопряжении со второй смежной лавой. В табл. 10.2 приведена техническая характеристика крепей сопряжений, соответствующих условиям шахт Печорского бассейна.

На рис. 10.2 и 10.3 даны типовые схемы извлечения металлокрепя с крепью Т-6К, на рис. 10.4 - с крепью М81ЭЭ.

Извлечение элементов арочной крепи производится под защитой крепи сопряжения. На последней полной арке, подхваченной козырьками гидравлических секций, снимаются межрамные стяжки. Извлекается стойка со стороны лавы. Вторая стойка остается на месте до про-

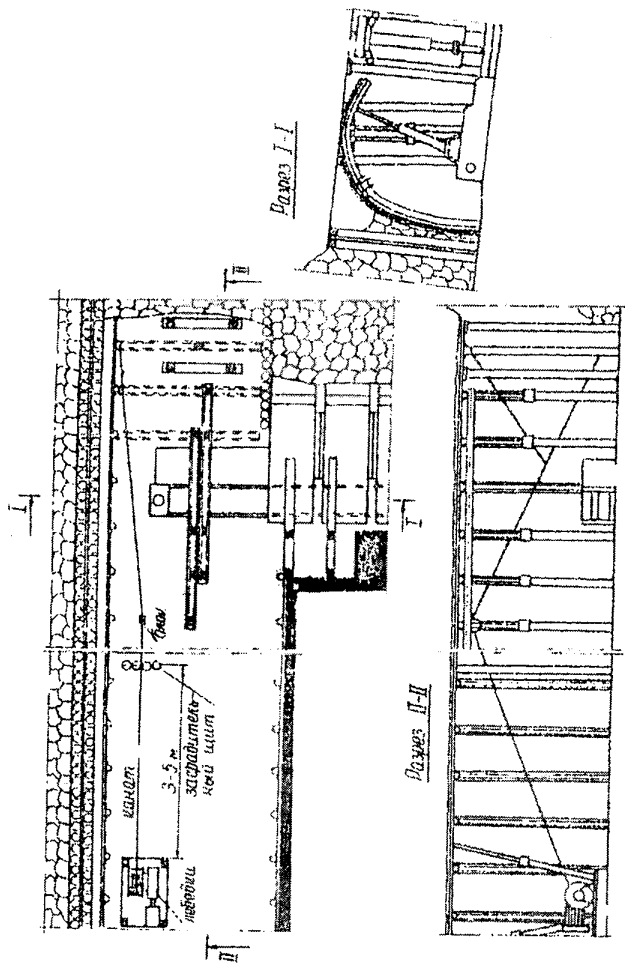


Рис. 10.1. Схема размещения металлической эроной крепи с применением лебедки и установкой промежуточных рам

хода лавы с целью обеспечения ограждения со стороны выработанного пространства отработанной первой лавы. При отработке выемочных полей по падению или восстанию и угле наклона пластов до  $15^{\circ}$  эта стойка может извлекаться. Верхник, как правило, остается в завале.

Таблица 10.2

Техническая характеристика крепей сопряжения

Горнотехнические условия	Един. измер.	Крепи сопряжения		
		МВ133	КС1А	Т-6К
Высота выработки	м	2-3,2	2-2,5	1,8-2,5
Число стоек секции	шт.	2	4	2
Число секций	шт.	2	3	2
Рабочее сопротивление стойки	тс	64	50	60
Рабочее сопротивление секции	тс	128	100	120
Комплекс, с которым работает крепь сопряжения		КМ-81	КМ-87	ОМКТ, ОКП, 2МКВ

Блок для каната крепится на третьей или четвертой полной раме (арке), под нее устанавливается ремонтная. Порядок установки лебедки в работы на ней аналогичны описанным в разделе 10.2.

Озвучивание твее, обитие шланги, хомутов, межрамных оязек должно производиться под задатой крепи сопряжения. Присоединение каната к стойке должно производиться до вывода ее из соединения с верхником.



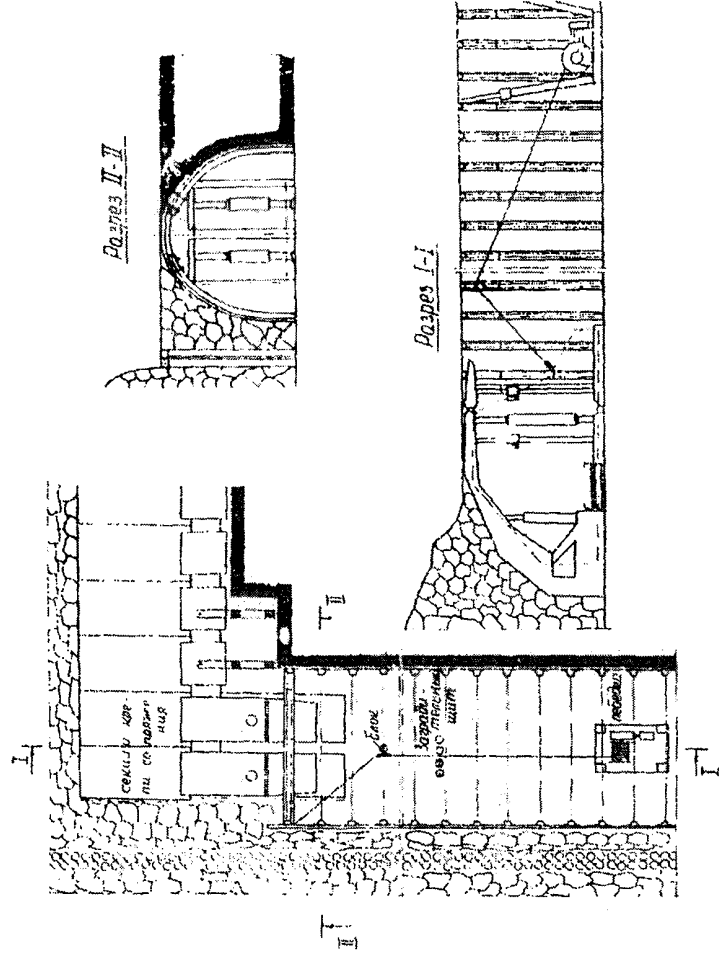


Рис. 10.2. Схема каплечных элементов арочной крепи с применением крепи Т-6К и лубоджи

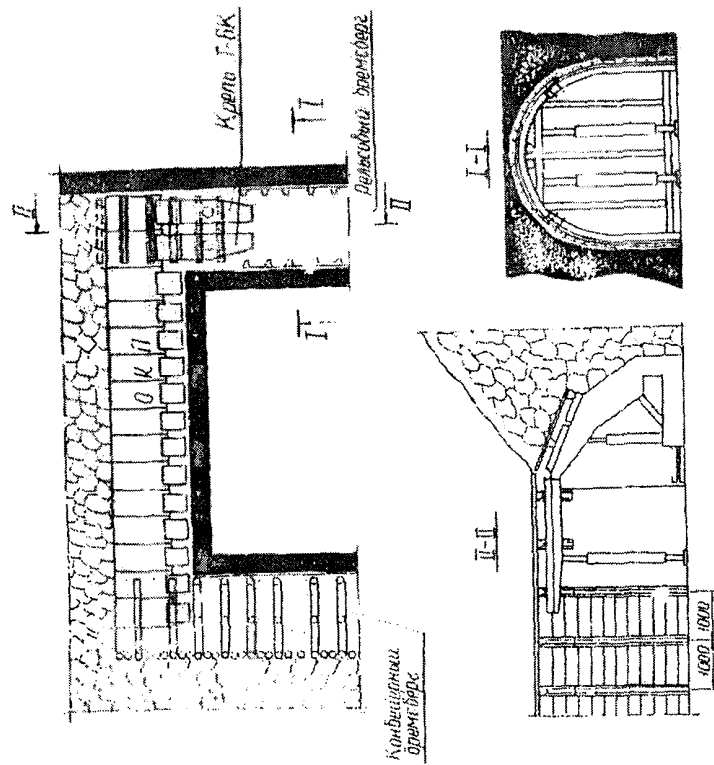


Рис. 10.3. Схема извлечения элементов арочной крепи (ножка) с применением крепи Т-6К

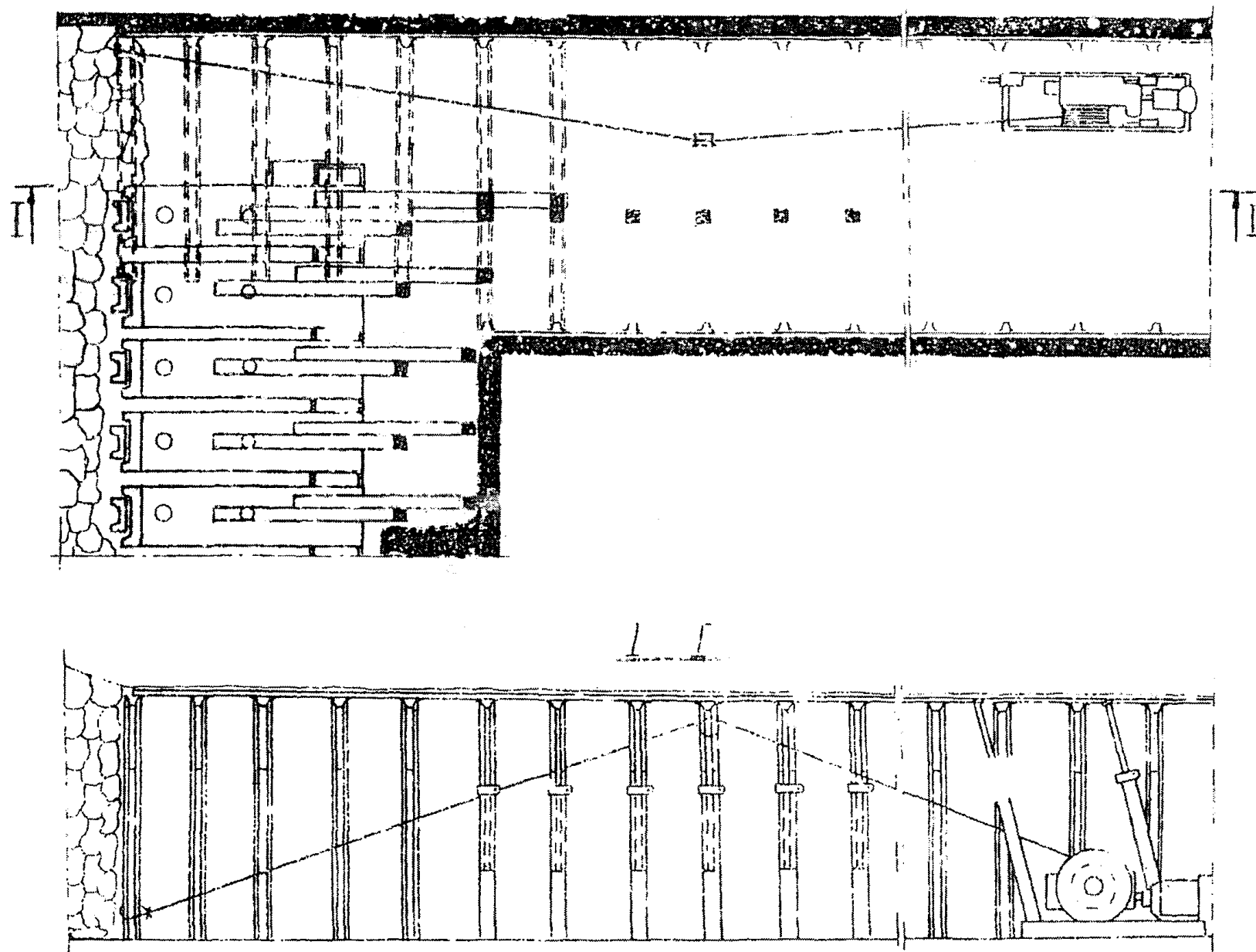


Рис. 10.4. Схема извлечения элементов арочной крепи при выводе литых секций крепи М-819 в выработку и применением лебедки

П Р И Л О Ж Е Н И Я

Приложение I

ПРОЧНОСТНЫЕ ПОКАЗАТЕЛИ ЗАЩИТНЫХ УГОЛЬНЫХ ПАЧЕК И УСТОЙЧИВЫЕ ПЛОЩАДИ ОБНАЖЕНИЯ КРОВЛИ В БЕССТОЕЧНОМ ПРОСТРАНСТВЕ ЛАВ ОСНОВНЫХ ШАХТОПЛАСТОВ ИНТИНСКОГО МЕСТОРОЖДЕНИЯ

Результаты преодоления прочностных показателей угольных пачек, площадей обнажения и несущей способности почвы приведены в табл. П. I. I и на рис. П. I. I.

В рассматриваемых условиях величины защитных пачек равны 0, I-0,2 м, резе 0,3 м. Уголь защитных пачек является довольно прочным, сопротивление его сжатию находится в пределах 112-150, а сопротивление растяжению - 8-13 кгс/см<sup>2</sup>.

Устойчивые величины пролетов кровли в бесстоечном пространстве при указанных характеристиках защитных пачек изменяются от 1,3 до 1,9 м, а устойчивые площади незакрепленного пространства - от 12 до 24 м<sup>2</sup>.

По устойчивым пролетам бесстоечного пространства и площадям обнажения кровли в большинстве сбитых забоев кровли по классификации Печорнийпроекта являются ниже средней устойчивости.

Несущая способность почвы угольных пластов изменяется в широких пределах - от 80 до 250 кгс/см<sup>2</sup> и выше. Если в почве залегают аргиллиты или слабые алевролиты, прочность которых резко снижается при увлажнении, несущая способность верхних слоев почвы на отдельных участках достигает 15-20 кгс/см<sup>2</sup>. В табл. П. I. I и на рис. П. I. I в числителе приведены средние значения несущей способности почвы, в знаменателе даны минимальные значения, полученные на отдельных участках лавы.

Таблица П. I. I

Величины и несущая способность угольных пачек, доступных площади обнажения по шахтопластам объединения "Интэуголь"

Шахта	Пласт	Мощность пласта, м	Величина защитной пачки, м	Предел прочности пачки, кг/см <sup>2</sup>		Несущая способность почвы		Площадь обнажения, м <sup>2</sup>	Класс устойчивости кровли
				Б сж	Б р	пачки	почвы		
"Пионер"	II	2,66	0,13	130	II	40	115/8.	16	Ниже средней устойчивости
"Западная"	II	2,90	0,10	130	II	40	85/30	14	То же
"Восточная"	II	2,85	0,30	130	II	40	120/60	24	Средней устойчивости
"Западная"	IO	2,56	0,10	137	II	43	80/-	12	Ниже средней устойчивости
"Восточная"	IO	2,57	0,11	124	IO	36	60/50	14	То же
"Интинская"	IO	2,50	0,20	112	9	32	-/150	18	"-"
"Кашталылар"	IO	2,30	0,10	144	13	43	-/40	15	"-"
"Пионер"	8	1,62	0,12	130	II	40	100/60	16	"-"
"Западная"	5	1,65	0,10	112	9	32	200/130	13	"-"
"Глубокая"	5	1,75	0,10	124	IO	36	100/60	15	"-"
"Западная"	4	1,65	0,15	112	8	32	150/60	15	"-"
"Западная"	3	1,56	0,16	151	IO	50	40/15	18	"-"

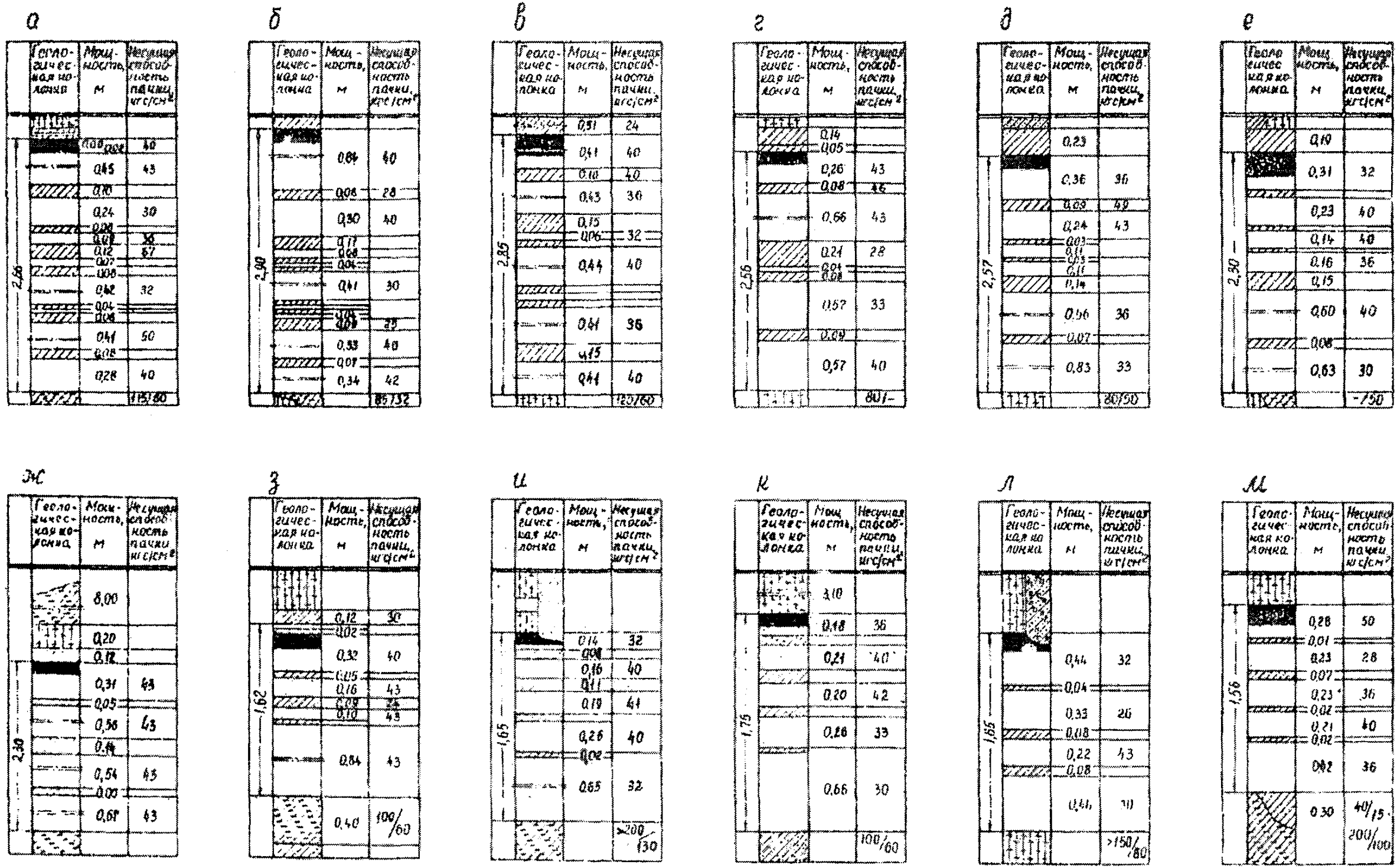


Рис. П.1.1. Структурные колонки и результаты определения несущей способности слоев Интинского месторождения: а- пласт II, ш. "Пионер"; б- пласт II, ш. "Западная"; в- пласт II, ш. "Восточная"; г- пласт IO, ш. "Западная"; д- пласт IO, ш. Восточная"; е- пласт IO, ш. "Итинская"; ж- пласт IO, ш. "Капитальная"; з- пласт 8, ш. "Пионер"; и- пласт 5, ш. "Западная"; к- пласт 5, ш. "Глубокая"; л- пласт 4, ш. "Западная"; м- пласт 3, ш. "Западная"

Приложение 2

ОСНОВНЫЕ ПРИЗНАКИ УГОЛЬНЫХ ПЛАСТОВ  
С ТРУДНООБРУШАЕМЫМИ КРОВЛЯМИ, ПОД-  
ЛЕЖАЩИМИ РАЗУПРОЧНЕНИЮ

2.1. В Печорском бассейне труднообрушаемые породы представлены, в основном, песчаниками с прочностью при сжатии 650-1400, реже алевролитами с прочностью при сжатии 600-800 кгс/см<sup>2</sup>, отношение суммарной пачки легкообрушающихся слоев к вынимаемой мощности угольного пласта составляет 0-3. Перечень пластов с труднообрушаемой кровлей в Печорском бассейне по "Каталогу угольных пластов с труднообрушаемыми кровлями в угольных бассейнах СССР" приведен в табл. П.2.1.

2.2. При отсутствии детальных данных о литологическом, структурном строении, прочностных свойствах пород и количественных характеристиках проявлений горного давления для предварительного выявления участков с труднообрушаемыми кровлями, на которых необходимо проводить работы по разупрочнению или применять комплексы с повышенной несущей способностью в соответствии с "Инструкцией по выбору способа и параметров разупрочнения труднообрушаемой кровли на выемочных участках" [10], рекомендуется использовать перечисленные ниже признаки.

2.3. Признаками трудной обрушаемости являются: зависание труднообрушаемых слоев на крепью, значительный шаг первичного (25-120 м) и вторичного (10-100 м) обрушения, большие размеры элементов, на которые разрушаются слои пород (наименьший линейный размер не менее 1,5-2,0 м), преобладание форм элементов в виде неправильных призм и параллелепипедов с неплоскими и неровными гранями, проявление сильных звуковых эффектов и воздушных ударов.

2.4. Горнотехнологическими признаками труднообрушаемых кровель, которые подлежат разупрочнению, являются воздушные удары, групповое аэжатию и опрокидывание секций, разрушение элементов механизированных крепей, частичные и полные завалы лав при первичных и вторичных обрушениях, а также управление кровлей с помощью целиков-ножей и усиленных паспортов крепления в лавах до применения механизированных крепей.

2.5. Основным количественным геологическим признаком устойчивости пластов с труднообрушаемой кровлей является отношение суммарной мощности пачки легкообрушающихся слоев  $\Sigma h_{л.к.}$  к вынимаемой мощности угольного пласта  $H$ . При  $\frac{\Sigma h_{л.к.}}{H} < 3,5$  кровля пласта относится к труднообрушаемой. Обрушаемость нижней пачки зависит от прочности и слоистости, которые могут с достаточной точностью установлены по ее литологическому строению. Прочность слоя литологической разности определяется по номограмме (рис. П.2.1), построенной применительно к условиям Воркутского месторождения, затем по табл. П.2.2 находится соответствующая величина слоистости, которая равна толщине обрушающихся блоков.

Таблица П.2.2

Величина слоистости пород в зависимости от их прочностных свойств

Прочность пород на разрыв, Бр, кгс/см <sup>2</sup>	20 + 40	40 + 60	80 + 100	120 + 140
Слоистость аргиллитов, м	0,2-0,4	0,5-0,7	-	-
Слоистость алевролитов, песчаников, м	-	0,5-0,8	1,1-1,5	1,8-2,1
Слоистость песчаников в зонах размыва, м	-	0,9-1,5	2,1-2,6	3,1-3,5

2.6. Выявление выемочных участков, на которых необходимо проводить работы по разупрочнению труднообрушаемой кровли, производится комиссией в составе представителей производственного объединения, ВНИИМ или бассейнового института ежегодно до утверждения шахтами годового плана или безотлагательно в случае неожиданного проявления тяжелых обрушений кровли.

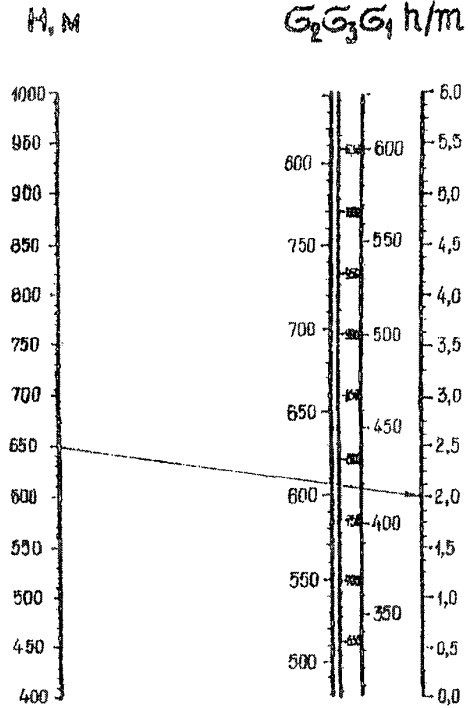
Таблица И.2.1

Перечень шахтопластов и участков с труднообрушаемыми кровлями  
по Печорскому бассейну

Пласт, шахта	Средняя мощность пласта, м	Непосредственная кровля				Основная кровля				Шаг обрушения, первичный вторичный
		Состав	$\frac{h_{пл}}{m}$	$\sigma_{сж}$ , кгс/см <sup>2</sup>	$\sigma_{р_2}$ , кгс/см <sup>2</sup>	Состав	Мощность, м	$\sigma_{сж}$ , кгс/см <sup>2</sup>	$\sigma_{р_2}$ , кгс/см <sup>2</sup>	
III, "Миль-Яга"	1,90	Аргиллит	0-3,0	-	-	Песчаник	19-26	-	-	<u>30-90</u> 8-25
IV, "Южная"	1,25	Алевролит, аргиллит	1,0-4,0	-	-	Песчаник	5-15	-	-	<u>60-130</u> 15-45
Верхний, "Экваторная"*	1,80	Алевролит	0,5	-	-	Песчаник	3I	-	-	<u>50-70</u> 15-20
Южный, "Центральная"*, "Промышленная"*, "Комсомольская"*	2,48	Аргиллит, алевролит	0-3,0	445	4I	Песчаник	15-34	900	80	<u>40-96</u> 12-30
Тройной, "Экваторная"*, "Комсомольская"*	2,5I	Алевролит	0,5-3,0	-	-	Песчаник	10-15	-	-	<u>50-110</u> 15-30
Четвертый, "Северная", "Воркутинская", "Кр-Шор"*	1,49	Аргиллит, алевролит	0,5-2,5	360	-	Песчаник	5-20	1410	40	<u>30-110</u> 6-25
"Западная"*, "Глубокая"*	1,38	Алевролит	2,5	-	-	Песчаник	4	-	-	<u>70-90</u> 18-24
"Западная"*, "Глубокая"*	1,65	Алевролит	0-2,0	-	-	Песчаник	3-2I	-	-	<u>40-130</u> 12-30
Ю, "Капитальная"*, "Восточная"*, "Пионер"* "Иктинская"	2,29	Песчаник, алевролит	0-2,5	303	25	Песчаник	15-32	800	50	<u>60-120</u> 15-30
II, "Капитальная"*, "Восточная"*, "Пионер"* "Иктинская"	2,65	Аргиллит, алевролит	0-I,0	280	25	Песчаник	8-26	740	50	<u>50-80</u> 15-30

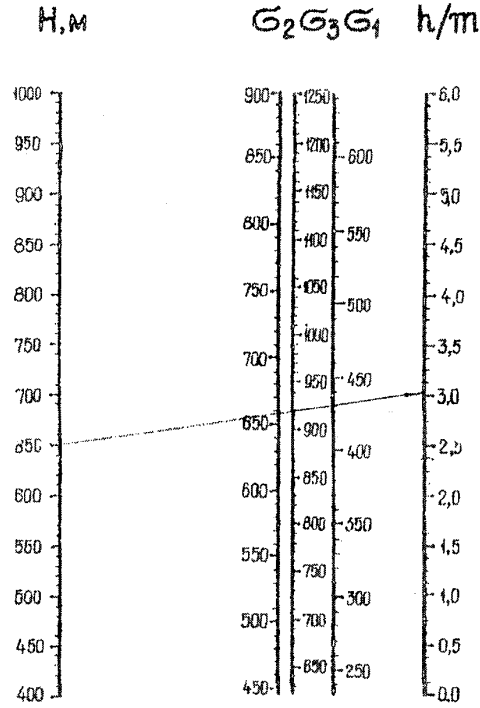
\* Пласты, у которых труднообрушаемые кровли имеют доклевное распространение.

а



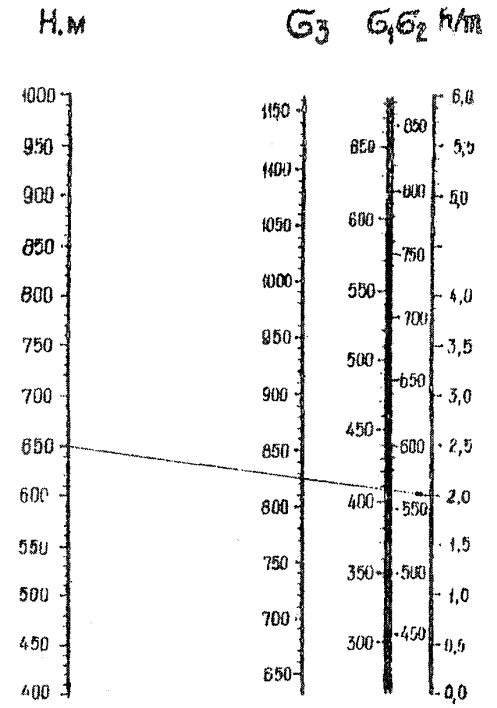
а- по пластам Тройному, Мощному;

б



б- по пласту Четвертому;

в



в- по пласту Пятому

Рис. П.2.1. Номограммы для определения прочности перед кровли:

$G_1, G_2, G_3$  - соответственно предел прочности на сжатие аргиллитов, алевролитов и песчаников;

$H$  - глубина залегания, м;  $h$  - расстояние от пласта, кратное его мощности



Приложение 3

МЕТОДИКА ОПРЕДЕЛЕНИЯ ПРОЧНОСТИ ПОЧВЫ  
В ОЧИСТНЫХ ЗАБОЯХ

Испытания прочности почвы динамическим способом производятся по схеме, представленной на рис. П.3.1. Внедрение пунсона 2 осуществляется за счет работы, производимой падающим по направляющей грузом 1. Глубина внедрения пунсона принимается равной 50 мм, площадь пунсона -  $1 \text{ см}^2$ . Пунсон должен быть установлен перпендикулярно к почве.

Вычисление предела прочности почвы на вдавливание штампа площадью  $100 \text{ см}^2$  производится по эмпирической формуле

$$\bar{\sigma}_{\text{вд}i} = c \cdot A_i, \text{ кгс/см}^2, \quad (\text{П.3.1})$$

где  $\bar{\sigma}_{\text{вд}i}$  - предел прочности почвы на вдавливание штампом с площадью  $100 \text{ см}^2$ ;

$c$  - эмпирический коэффициент,  $\text{кгс/см}^2$ , кгм равный 1,1;

$A_i$  - работа, затраченная на внедрение пунсона на глубину 50 мм, кгм;

$$A_i = Q \cdot H \cdot n_i, \text{ кгм}, \quad (\text{П.3.2})$$

где  $Q$  - вес груза, кгс;

$H$  - высота сбрасывания груза, м;

$n_i$  - количество сбрасываний груза.

При углах падения пластов больше  $10^\circ$  происходит потеря работы на трение груза о направляющую. Поэтому работу в этом случае следует определять по формуле

$$A = n \cdot h_s \cdot Q - A_{\text{тр}}, \text{ кгм}, \quad (\text{П.3.3})$$

где  $h_s$  - вертикальная составляющая высоты сбрасывания груза, м;

$A_{\text{тр}}$  - тормозящая работа сил трения, кгм.

$$A_{\text{тр}} = n \cdot F_{\text{тр}} \cdot H, \text{ кгм}; \quad (\text{П.3.4})$$

$$F_{\text{тр}} = f \cdot Q_n, \text{ кгс}, \quad (\text{П.3.5})$$

где  $f$  - коэффициент трения;

$Q_n$  - нормальная к оси стержня составляющая веса груза, кгс.

Испытания проводятся на каждой породе (цикле) в пределах приборного пространства для получения зависимости предела прочности на вдавливание от расстояния до забоя.

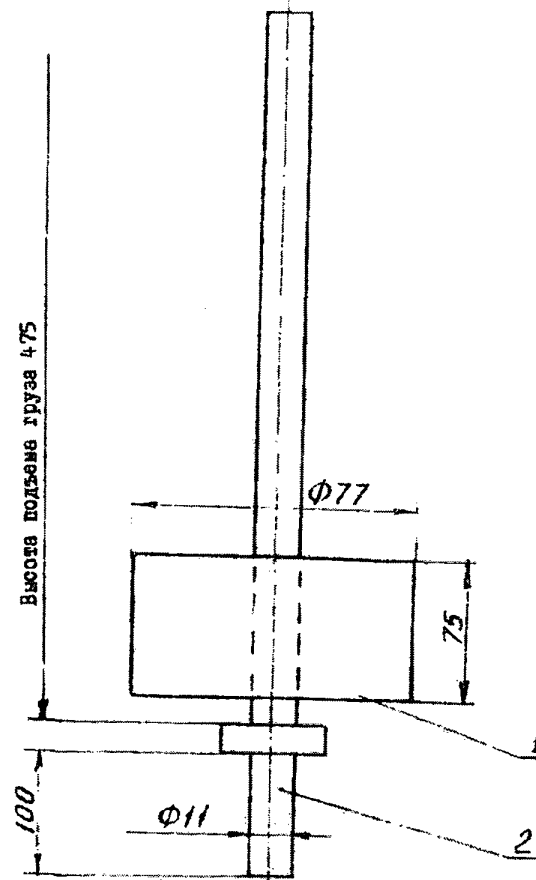


Рис. П.3.1. Конструкция ударника ДорНИИ для определения прочности пород на вдавливание

Количество испытаний в каждой полосе принимается равным 15-20, т. е. в 1,5-2,0 раза больше количества образцов горных пород, определяемых методами математической статистики для получения приемлемой надежности результатов испытаний. Это связано с тем, что на почве гораздо больше дефектов, чем в образце. На каждой полосе испытания производятся в 3-4 пунктах с пятью точками испытаний в каждом. Пункты испытаний распределяются равномерно по длине лавы, например, через 20-30 м. Расстояние между точками испытаний в пункте должно быть не менее 0,5 м. Лучше всего точки испытаний определять по трафарету, например, по конверту - четыре точки по углам и одна - в центре.

Все результаты испытаний заносятся в журнал, приведенный в табл. П.3.1.

Для каждой полосы должно вычисляться среднее значение прочности почвы на вдавливание и среднеквадратическое отклонение частных значений от среднего по формулам:

$$\bar{\epsilon}_{вд} = \frac{\sum_{i=1}^n \epsilon_{вдi}}{n}, \text{ кгс/см}^2; \quad (\text{П.3.6})$$

$$\sigma = \sqrt{\frac{1}{n-1} (\epsilon_{вдi} - \bar{\epsilon}_{вд})^2}, \text{ кгс/см}^2, \quad (\text{П.3.7})$$

где  $\bar{\epsilon}_{вд}$  - средняя прочность почвы на вдавливание, кгс/см<sup>2</sup>;  
 $\epsilon_{вдi}$  - прочность почвы на вдавливание в отдельной точке, кгс/см<sup>2</sup>;  
 $n$  - количество испытаний;  
 $\sigma$  - среднеквадратическое отклонение отдельных значений от среднего, кгс/см<sup>2</sup>.

Для решения вопроса о том, будет ли происходить внедрение в почву основания стойки или секции крепи, следует произвести сравнение полученного результата с напряжением в почве, созданным стойкой при номинальном сопротивлении, по формуле

$$\frac{P_{ст}}{(\epsilon_{вд} - 2\epsilon)^*} \leq F_0 \text{ см}^2, \quad (\text{П.3.8})$$

где  $F_0$  - площадь основания стойки, см<sup>2</sup>;

$P_{ст}$  - номинальное сопротивление стойки, кгс.

При этом, если неравенство не выполняется, то стойке будет внедряться в почву и следует делать специальные увеличенные опоры под основанием стойки, при которой неравенство будет выполняться.

При механизированной крепи, вследствие неравномерного распределения напряжения под основанием, следует пользоваться неравенством

$$\frac{1,5 P_c}{(\epsilon_{вд} - 2\epsilon)^*} \leq S, \text{ см}^2, \quad (\text{П.3.9})$$

где  $P_c$  - номинальное сопротивление секции крепи, кгс;

$S$  - площадь основания секции, см<sup>2</sup>.

Таблица П.3.1

Дата \_\_\_\_\_ шахта \_\_\_\_\_ пласт \_\_\_\_\_  
 лавы \_\_\_\_\_ угол падения \_\_\_\_\_

№ пункта замера, №	№ точки замера	Расстояние от конвейерного штрека, м	Расстояние от забоя, м	Литологический тип породы почвы	Количество ударов	Масса груза, кг	Высота сбрасывания груза, м	Работа на внедрение, кгм	Прочность на вдавливание, кгс/см <sup>2</sup>	Примечание
1	I-1	20	0,1	Аргиллит	12	5	0,5	30	33	
	I-2	20	0,6							
	I-3	21	0,1							
	I-4	21	0,6							
	I-5	20,5	0,4							
2	2-1	40	0,1	Аргиллит						
	2-2	40	0,6							

РЕКОМЕНДАЦИИ ПО ВЫБОРУ РАЦИОНАЛЬНЫХ  
ВИДОВ ИНДИВИДУАЛЬНОЙ КРЕПИ

Для выбора рациональных видов стоек и элементов крепи, обеспечивающих наилучшую устойчивость кровли в конкретных горно-геологических условиях, рекомендуется применять метод сравнения комплексных механических характеристик системы "крепь - боковые породы". Под комплексной механической характеристикой работы крепи понимается зависимость сопротивления крепи от величины ее податливости.

Комплексные характеристики крепи определяются графическим суммированием деформационных характеристик верхняков, затяжек, почвы, кровли и механической характеристики стоек.

Для построения комплексных характеристик используются паспортные механические характеристики стоек. Деформационные характеристики почвы и кровли определяются как величины погружения опор стоек в почву и кровлю при различных нагрузках.

Величины смятия деревянных верхняков и затяжки в зависимости от нагрузки и площади опоры стоек можно определить по номограмме (рис. П.4.1) или рассчитать по эмпирической формуле

$$D = \frac{S \cdot H \cdot T}{S}, \text{ мм}, \quad (\text{П.4.1})$$

где D - абсолютная величина деформации верхняка при сжатии, мм;

S - площадь верхней опоры стойки, см<sup>2</sup>;

H - нагрузка на стойку, тс;

T - толщина верхняка или суммарная величина верхняка и затяжки, мм.

Формула (П.4.1) справедлива, если удельные нагрузки на верхняк не превышают 140 кгс/см<sup>2</sup>.

Несущая способность деревянных стоек по результатам исследования ПечорНИИпроекта принимается по табл. П.4.1.

Фактическую нагрузку на стойку можно определить по величине относительной деформации верхняка, для чего следует пользоваться формулой (П.4.1) или номограммой, приведенной на рис. П.4.1. График относительной деформации можно использовать и для построения деформационной характеристики верхняка любой толщины.

Длина стоек, м	Диаметр, см	Предел несущей способности сто- ек, тс
2,7-2,2	20-18	28-22
	18-16	22-18
1,5-1,0	16-14	24-16
	14-12	15-11
1,0-0,6	18-14	26-17
	14-12	16-12

На рис. П.4.2 представлены комплексные и составляющие их характеристики работы крепи. Ордината, проведенная из точки "О", показывает влияние первоначального распора на работу крепи. Отрезок "ОО<sub>1</sub>" определяет величину опускания кровли до установки постоянной крепи на расстоянии 1,0-1,3 м от забоя.

Пользуясь комплексными характеристиками по опусканиям кровли, можно определить величины нагрузок на стойки.

можно решить и другую задачу. Известно, что устойчивость кровли в лавах определяется предельной величиной ее опускания, которая, в свою очередь, зависит от жесткости и несущей способности крепи. Знание предельной величины опускания кровли и изменения несущей способности крепи в зависимости от выбранных верхняков путем сравнения комплексных характеристик позволяет решить вопрос о технической или экономической целесообразности применения в конкретных условиях тех или иных типов стоек.

На основании анализа эксплуатации индивидуальных металлических крепей на шахтах бассейна установлено, что потери крепи в основном зависят от мощности разрабатываемого пласта (M), угла падения (α) и типа кровли по обрушаемости (Кв. см. табл. 3.2).

Для предварительной оценки эффективности применения индивидуальной крепи в различных горно-геологических условиях ожидаемые потери металлических стоек трения можно определить из статистической модели

$$П = 1,2 + 0,956M + 0,05α + 1,36 \cdot K_{\text{в}}, \%$$

где П - потери металлических стоек трения в рассматриваемых условиях, %

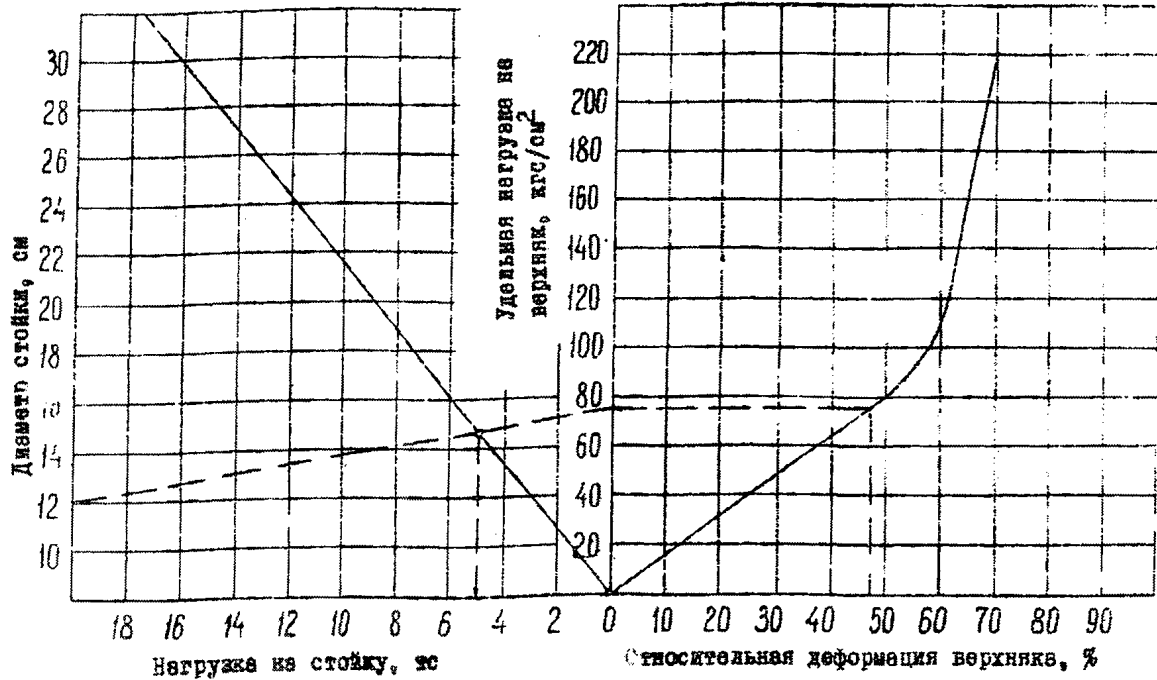


Рис. П.4.1. Номограмма для определения нагрузок на стойку по снятию деревянного верхняка

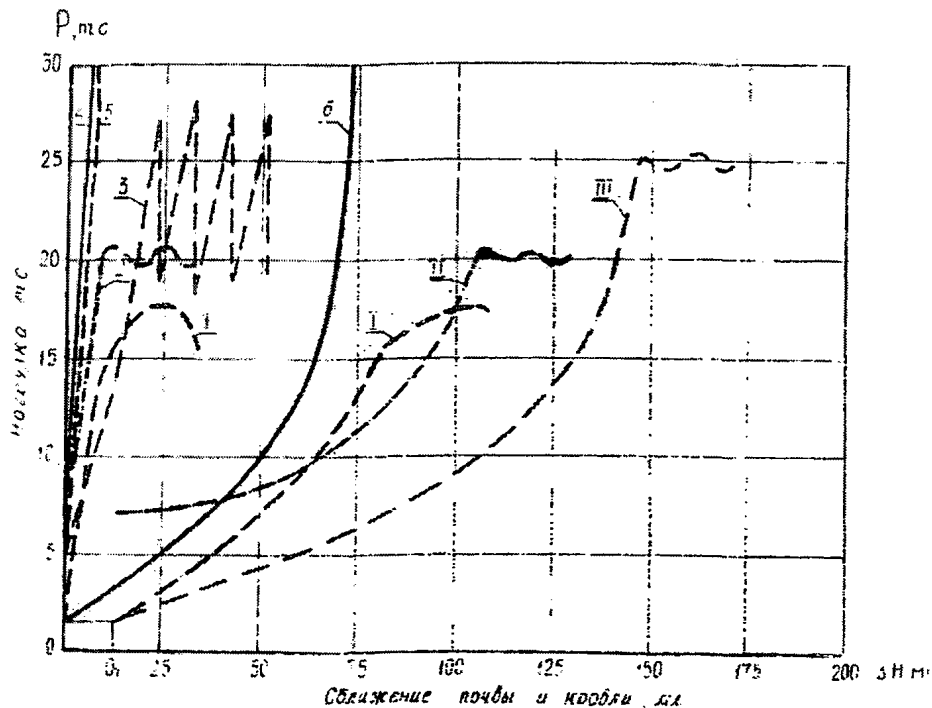


Рис. П.4.2. Комплексные и составляющие характеристики работы крана: механические характеристики стоек: 1- деревянной; 2- ГСУ-М; 3- ТПК; характеристики составляющих элементов: 4- несущая способность кровли; 5- почвы; 6- зависимость деформации бруса толщиной 100 мм от нагрузки; комплексные характеристики крана: I- с двувальной стойкой; II- ГСУ-М; III- ТПК

Приложение 5

СХЕМА НАСТРОЙКОВ КРЕПЛЕНИЯ И УПРАВЛЕНИЯ КРОВЛЕЙ  
В ОЧИСТНЫХ ЗАБОЯХ С ИСПОЛЬЗОВАНИЕМ ШАРНИРНЫХ  
ВЕРХНЯКОВ И УСТРОЙСТВ ДЛЯ ИХ КОНСОЛЬНОЙ НАВЕСКИ

5.1. Паспорт № 1

Паспорт крепления рекомендуется для лав, оборудованных комбайнами 2К-52, ГГВ-68, ИК-101 и др. с шириной захвата 0,4, 0,5 и 0,63 м совместно с изгибающимся конвейером. Схема работы комбайна - челноковая. Специальная крепь - органка из забойных металлических стоек, устанавливаемых в ряд, возможно применение посадочных стоек, располагаемых в один ряд в каждой раме или через раму. Посадка производится после выемки двух покос. Шаг передвиги посадочной крепи при ширине захвата 0,4 м составит 0,8 м, при ширине захвата 0,5 м - 1,0 м, а при ширине захвата 0,63 м - 1,26 м.

Призабойное пространство крепится металлическими стойками и шарнирными верхняками типа В20В. Длина верхняков при ширине захвата комбайнов 0,4, 0,5 и 0,63 м принимается соответственно 0,8, 1,0 и 1,26 м.

Схема расстановки крепи - треугольная. При снятии полосы угля через раму крепи навешиваются верхняки, под которые после передвиги конвейера устанавливаются стойки. Условия применения - породы непосредственной кровли средней устойчивости и устойчивые.

Основные детали паспорта № 1 приведены на рис. П.5.1.

5.2. Паспорт № 2

Паспорт крепления рекомендуется для лав, оборудованных комбайнами 2К-52, ГГВ-68, ИК-101 и др. с шириной захвата 0,8 м совместно с изгибающимся конвейером. Ширина машинной дороги - 1,2 м. Схема работы комбайна - челноковая. Специальная крепь - посадочные стойки ЖУМ. Шаг передвиги посадочной крепи - 1,6 м.

Призабойное пространство крепится металлическими стойками и шарнирными верхняками СВ-2 с шагом 0,8 м, равным ширине захвата комбайна. Расстояние между стойками по ширине лавы равно ширине захвата комбайна. Консольная навеска верхняков из участка кагиб конвейера производится непосредственно за выемочным органом ком-

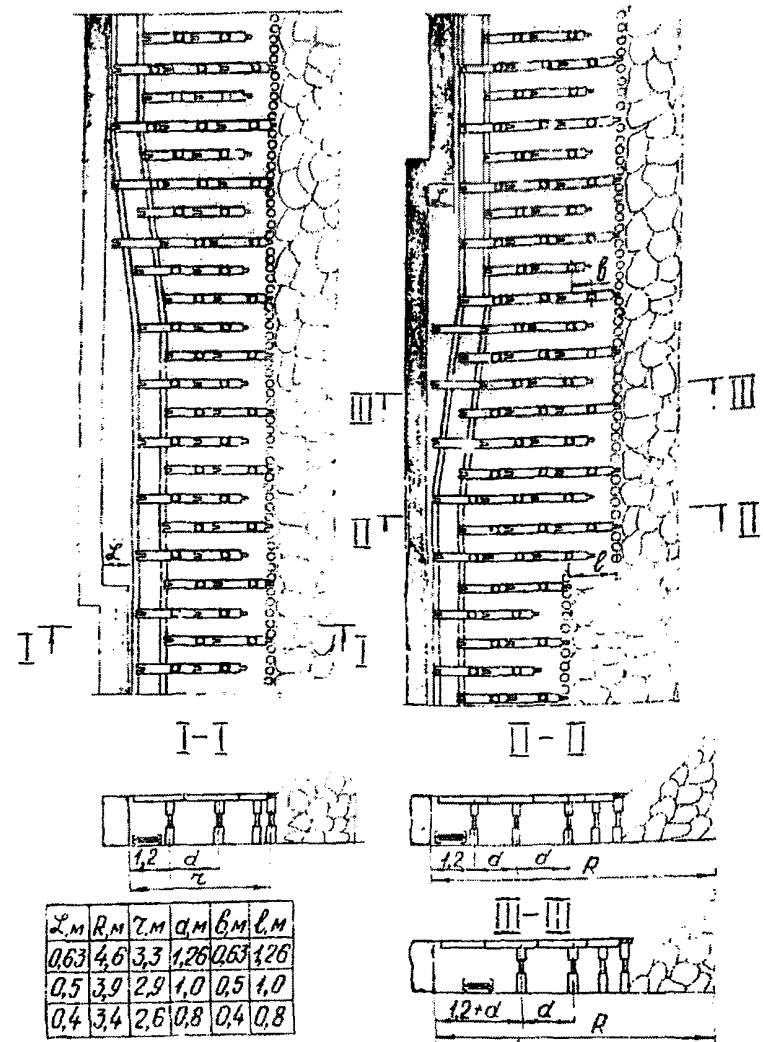


Рис. П.5.1. Паспорт крепления и управления кровлей с применением шарнирных верхняков В20В

байна (с отставанием от него не более 2-3 м) или над его корпусом, если зазор между кровлей и корпусом комбайна не менее 300 мм. Навеска верхняков производится из закрепленного пространства одним рабочим, а при большой скорости комбайна - двумя. В схеме предусмотрена ширина прибайонного пространства 2,2 м, максимальная - 3,8 м.

Условия применения - породы непосредственной кровли ниже средней устойчивости и средней устойчивости.

Основные детали паспорта № 2 приведены на рис. П.5.2.

### 5.3. Технология навески шарнирных верхняков

Металлические верхняки В15Б и В20Б представляют собой конструкцию, состоящую из балки и шарнирного замка. Металлические шарнирные верхняки применяются со стойками, имеющими специальные опоры. Они устанавливаются по направлению продвижения лавы и образуют сплошные линии, выравшиваемые к забою в процессе выемки угля и укорачиваемые со стороны выработанного пространства. Установка верхняков в лава должна производиться вилкой к забою, проушиной - к завалу.

Количество верхняков в линии и установленных под них стоек определяется паспортом. Стойки, по условиям обеспечения устойчивости конструкции крепи, должны устанавливаться под верхняки не ближе 1/3 его длины от оси замка (вилки или проушины). При равной конструкции крепи из стоек и металлического верхняка стойки можно устанавливать ближе к замку. Устанавливать стойки под замок запрещается, так как это ведет к деформации верхняков. Концы верхняков не должны выступать за линию посадочной крепи. При необходимости стойки могут устанавливаться по всей длине балки верхняка при условии предотвращения их выскальзывания.

Операция по навешиванию верхняков заключается в следующем: верхняк поднимается вертикально (при достаточной мощности пласта) или наклонно, вставляется проушиной в вилку ранее установленного верхняка и шарнирно соединяется с ним штырем. После этого поворачивается на штыре до упора с кровлей. Поддержание кровли бессточного пространства консольно навешенным верхняком обеспечивается завалкой клина. Навешиваемый верхняк может отклоняться в вертикальной и горизонтальной плоскостях относительно положений ранее установленного верхняка, позволяя преодолевать неровности кровли.

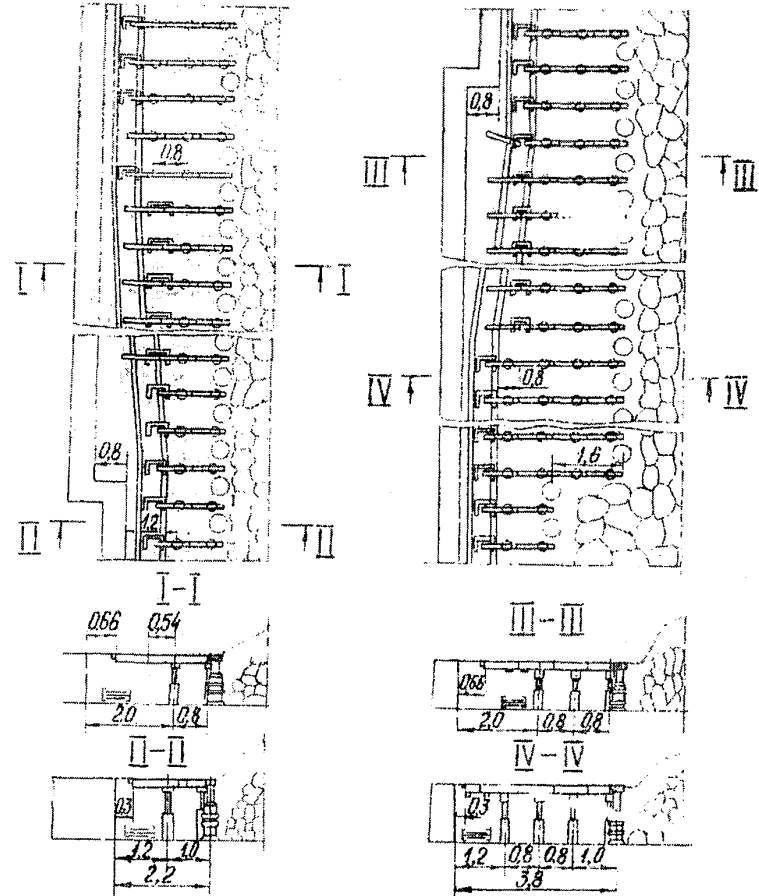


Рис. П.5.2. Паспорт крепления и управления кровлей с применением выдвижных верхняков ВВ-2

Этот поворот достигается забивкой клина на большую или меньшую величину.

После передвижки конвейера к забоя под консольный верхняк устанавливается стойка, а клин верхняка выбивается и вставляется в специальную скобу. Оставлять клинья в замках верхняков, под которые установлены стойки, запрещается, так как это выведет из строя верхняки и клинья.

При неровной и неустойчивой кровле следует предусматривать обязательное применение подкладок или затяжек, которые укладываются на навешиваемый верхняк при неполноте забитом клине (когда он еще не прижат к кровле), а затем клин забивается до полного распора верхняка.

Для обеспечения консольной навески верхняков при подвигании лавы необходимо соблюдать постоянный захват комбайна по длине лавы и устанавливать стойки крепи по ширине призабойного пространства на одинаковом расстоянии.

Постоянство захвата комбайна достигается при оборудовании изгибающегося конвейера стационарными гидропередвижками типа ГП, устанавливаемыми через 6-8 м. В этом случае установку стоек крепи и передвижку конвейера следует производить по шаблону с ориентированием на предыдущий ряд стоек. Это позволяет сохранить постоянным расстояние между рядами крепи и конвейером и обеспечить прямолинейность забоя.

Для облегчения работ по креплению участка изгиба конвейера при консольной навеске металлических шарнирных верхняков и обеспечения безопасных условий труда (исключение нахождения людей на участке изгиба конвейера в незакрепленном пространстве при навешивании верхняков) рекомендуется применять специальные съемные приспособления ПНВ-4. Приспособление для навешивания верхняков позволяет уменьшить время навески верхняков, а при зазоре между кровлей и корпусом комбайна не менее 300 мм консольная навеска может выполняться непосредственно над комбайном сразу за исполнительным органом.

Сравнительные показатели при применении шарнирных верхняков с ПНВ и без ПНВ [34] приведены в табл. П.5.1.

Серийно выпускаемое или изготовленное в шахтных мастерских приспособление для навески верхняков ПНВ-4 приведено на рис. П.5.3. Приспособление состоит из захвата с фиксирующим устройством, с помощью которого производится его крепление на ранее установленном

верхняке, выступающего кронштейна с площадкой закрепленной на рычаге.

Таблица П.5.1.

Показатели	В-15Б	В-20Б с ПНВ	В-20Б без ПНВ
Время, затрачиваемое на установку в рабочее положение после прохода комбайна, с	30-45	35-45	45-60
Промежуток, через который производится подхват обнаженной кровли после прохода комбайна, с	30-300	45-60	330-450
Расстояние до места установки призабойной крепи от исполнительного органа комбайна, м	3,6-7	I-3	II-15
Время пребывания рабочего, разводящего крепь, под незакрепленной кровлей, с	35	-	55

Навеску верхняка с помощью приспособления осуществлять следующим образом (рис. П.5.4, а, б, в, г):

Подготовленный к навеске верхняк укладывается передним концом на площадку кронштейна, передвигается к забоя, заводится проушиной в вылку ранее установленного верхняка и соединяется с ним штырем (рис. П.5.4, а), с помощью рычага навешиваемый верхняк поднимается до положения, позволяющего свободно вставить клин (рис. П.5.4, б). Окончательное поджатие верхняка к кровле осуществляется забивкой клина (рис. П.5.4, в). После консольного навешивания верхняка приспособление снимается. Снятие приспособления производится путем отжима штыря (рис. П.5.4, г) с принудительным возвратом.

Отличительной особенностью подвижных верхняков ВВ-2 и ВВ-15 от серийно выпускаемых типов В20Б и В15Б является наличие поддерживающей опоры, монтируемой на конце верхняка первого ряда крепи и удлиняющей выступающую в сторону забоя консоли верхняка на 400 мм.

В исходном положении установленная опора на верхняке прижата к кровле с помощью клина. После прохода выемочного органа комбайна выбивается клин опоры и подготовленный к навеске верхняк укладывается на подку поддерживающей опоры (рис. П.5.5, а). Уложенный

на полку верхняк передвигается сначала к забю, а затем соединяется штирем с ранее установленным верхняком (рис. П.5.5, б). После соединения верхняков с помощью рукоятки поворачивается опора (верхняк прижимается к кровле) и забивается клин (рис. П.5.5., в). После передвижки конвейера под навешенные верхняки устанавливаются стойки, а опоры снимаются, переносятся на концы верхняков и поджимаются к кровле (рис. П.5.5, г).

Для извлечения из выработанного пространства верхняка любой конструкции необходимо перед разгрузкой стойки выбить штырь замка ("равомкнуть" верхняк), после разгрузки и навешивания стойки с помощью крюка убрать упавший на почву верхняк.

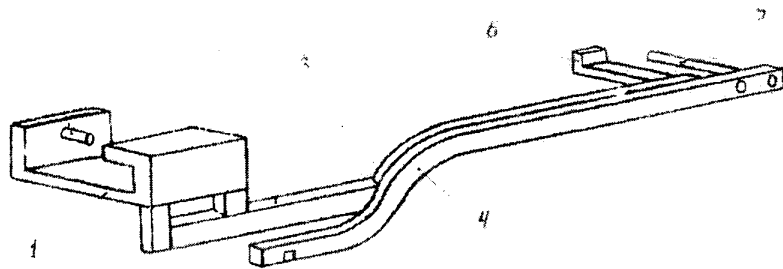


Рис. П.5.3. Приспособление ПНВ-4 для навески верхняков IR20B:  
1- захват; 2- фиксирующее устройство; 3- кронштейн;  
4- рычаг; 5- валик рычага; 6- площадка кронштейна

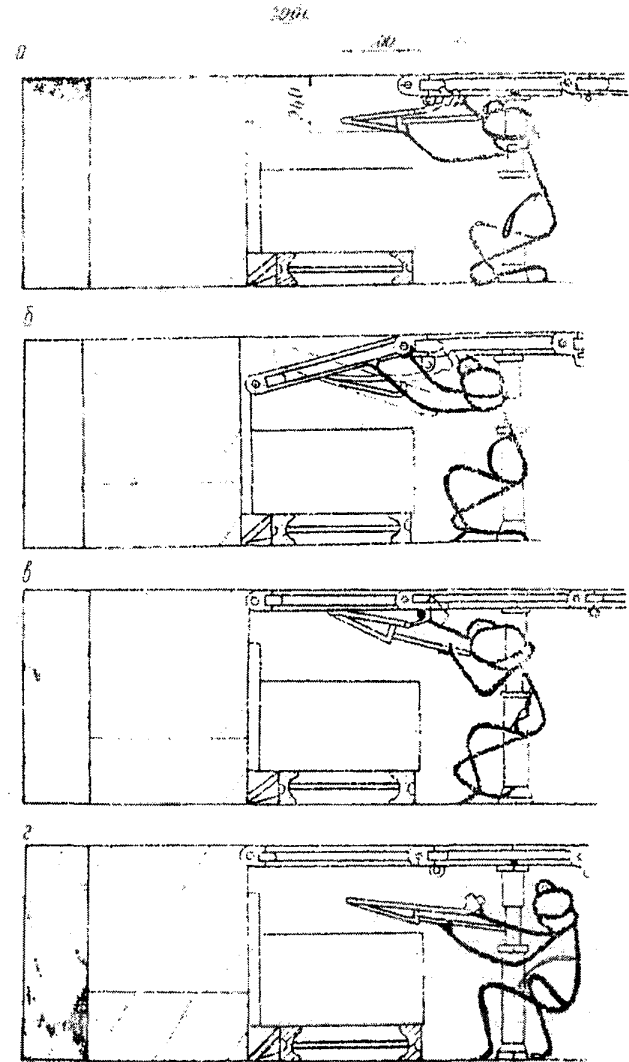


Рис. П.5.4. Схема навешивания верхняка типа IR20B



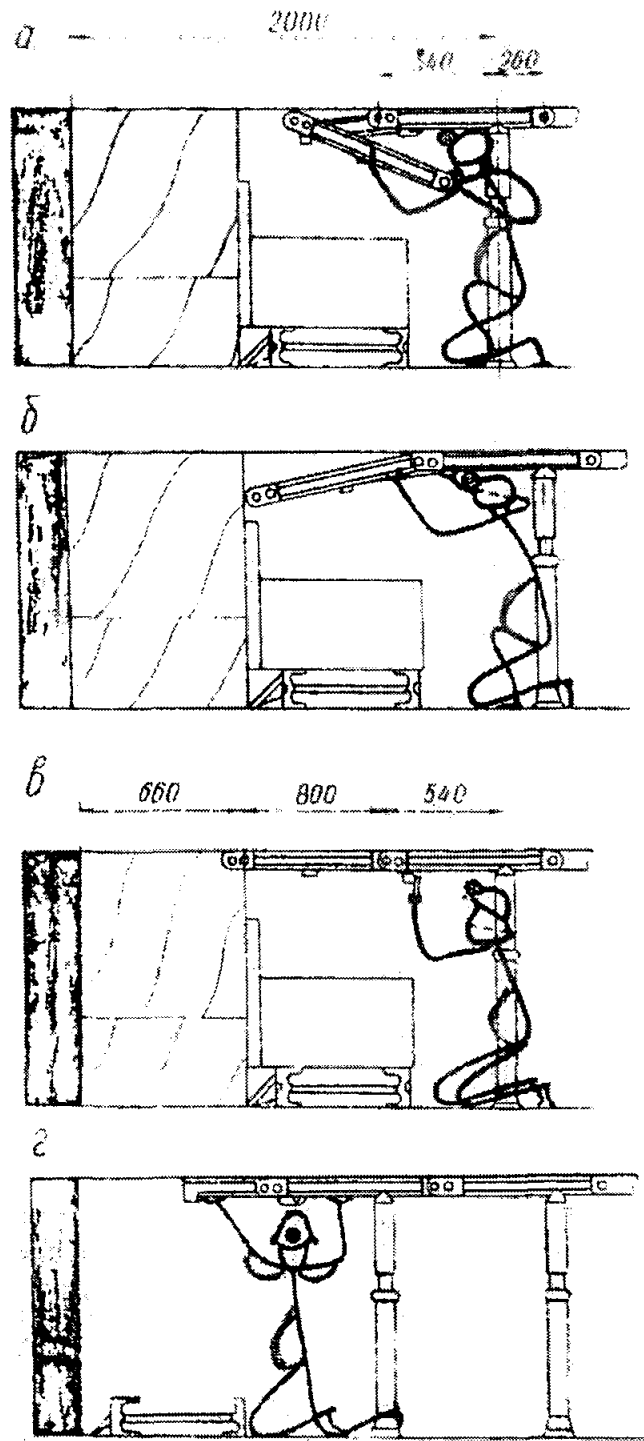


Рис. П.5.5. Схема установки верхняка ВВ-2

Приложение 6

ПРИМЕРЫ РАСЧЕТА ПЛОТНОСТИ ЗАБОЙНОЙ И ПОСАДОЧНОЙ КРЕПИ В ОЧИСТНЫХ ВЫРАБОТКАХ

6.1. Расчет плотности забойной и посадочной крепи по лаве 312-в пласта П<sub>14</sub> шахты "Юль-Яга", производственного объединения "Боркутауголь"

6.1.1. Согласно геологическому паспорту на выемочном участке непосредственная кровля пласта П<sub>14</sub> представлена алевролитами с прочностью на сжатие 450-500 кгс/см<sup>2</sup> (на растяжение - 30 - 40 кгс/см<sup>2</sup>), мощностью до 4,0-5,0 м. В основной кровле залегают песчаники мощностью до 7,2 м, с прочностью на сжатие от 610 до 700 кгс/см<sup>2</sup> (на растяжение - до 70 кгс/см<sup>2</sup>).

Мощность пласта: геологическая - 1,89 м, вынимаемая - 1,85 м.

6.1.2. Определяется тип кровли и шаг обрушения основной кровли.

По классификации ПачорНИИпроект такие кровли относятся по устойчивости к кровлям средней устойчивости; по обрушаемости - средней обрушаемости, согласно табл. 3.2 шаг обрушения основной кровли при первичном обрушении находится в пределах 36-50 м, последующие осадки основной кровли возможны через 8-12 м.

6.1.3. Расстояние от разрезной печи, на котором рекомендуется проведение первичной посадки, согласно табл. 3.2 должно быть не более 25 м при записании нижней лачки непосредственной кровли и при ее обрушении - не менее 10-12 м.

Величина зоны влияния первичного обрушения основной кровли, в которой после проведения первичной посадки рекомендуется временное усиление крепи или выполнение специальных мероприятий, оставляет 50 м.

6.1.4. Необходимая несущая способность забойной крепи определяется по формуле

$$P_{\text{з}} = \frac{m}{K_{\text{рм}} - 1} \gamma; \quad K_{\text{в}} = \frac{1,85}{1,31 - 1} 2,5 \cdot 1,4 = 21 \text{ тс/м}^2,$$

где  $K_{\text{рм}}$  - коэффициент разрыхления массива;  
при  $m = 1,85$  м  $K_{\text{р.м}} = 1,31$  (см. табл. 6.1);

$\gamma$  - объемный вес пород, равный 2,5 т/м<sup>3</sup>;  
 $K_{\text{в}}$  - коэффициент влияния вторичных осадок, равный 1,4 (см. табл. 3.2).

6.1.5. Необходимая величина податливости крепи на границе подерживаемого пространства для этих условий равна

$$h = K \cdot K_{\text{в}} \cdot m \cdot R, \text{ м};$$

$$h = 0,017 \cdot 1,4 \cdot 1,85 \cdot 4,2 = 0,185 \text{ м},$$

где  $K$  - коэффициент, характеризующий закономерность опускания кровли в выработанном пространстве; при кровлях средней обрушаемости  $K = 0,017$  (см. табл. 3.2);

$K_{\text{в}}$  - коэффициент влияния вторичных осадок,  $K_{\text{в}} = 1,4$  (см. табл. 3.2);

$m$  - вынимаемая мощность пласта,  $m = 1,85$  м;

$R$  - максимальная величина поддерживаемого призабойного пространства, согласно паспорту  $R = 4,2$  м.

Такую податливость обеспечивают индивидуальные металлические стойки трения типа ТПК. Для уловий пласта П<sub>14</sub> возможно применение стоек типа ТП-УЦ с паспортной несущей способностью  $P = 25$  тс.

6.1.6. Величина необходимого предварительного распора крепи должна быть равна:

$$P_{\text{р.в}} = 10 \frac{m \cdot \ell^2}{\sqrt{R}}, \text{ тс/м}^2; \quad P_{\text{р.в}} = 10 \frac{1,85 \cdot 1,2^2}{4,2} = 13,0 \text{ тс/м}^2,$$

где  $\ell$  - ширина бесстоечного пространства от линии забоя до первого ряда постоянной крепи, равная 1,2 м.

Предварительный распор, создаваемый стойками типа ТПК, равен 1,5 т и его значение меньше полученного по формуле, поэтому в соответствии с табл. 6.3 при расчете плотности призабойной крепи необходимо учитывать коэффициент увеличения плотности.

Тогда минимально необходимая плотность забойной крепи будет равна

$$P_{\text{з}} = \frac{P_{\text{в}}}{P} K_{\text{у}} = \frac{21}{25} \cdot 1,7 = 1,4 \text{ ст/м}^2.$$

6.1.7. Величине несущей способности крепи равна

$$P_{\text{орг}} = \frac{m}{K_{\text{р.м}} - 1} \cdot \gamma \cdot K_{\text{в}} \cdot R = \frac{1,85}{1,31 - 1} \cdot 1,5 \cdot 1,4 \cdot 4,2 = 88 \text{ т/м},$$

отсюда минимальная плотность органической крепи из стоек постоянного сопротивления должна быть при применении в органическом ряду стоек типа ПТ-ПК равна 3,5 ст/метр, принимается 4 ст/м.

## 6.2. РАСЧЕТ ПЛОТНОСТИ ЗАБОЙНОЙ И ПОСАДОЧНОЙ КРЕПЕЙ ПО ВОСТОЧНОЙ ЛАВЕ № 2 ПЛАСТА 3 ШАХТЫ "ЗАПАДНАЯ" ПРОИЗВОДСТВЕННОГО ОБЪЕДИНЕНИЯ "ИНТАГОЛЬ"

6.2.1. Согласно геологическому паспорту на выемочном участке непосредственная кровля представлена переслаиваемым аргиллитом и алевролита с прочностью на сжатие 270-350 кгс/см<sup>2</sup> (на растяжение - 18-37 кгс/см<sup>2</sup>), мощностью 5,5-6,0 м. В основной кровле залегают пачки мощностью 5,2 м средней крепости с прочностью на сжатие 680 кгс/см<sup>2</sup> (на растяжение 51 кгс/см<sup>2</sup>). На контакте с пластом залегают слои аргиллита мощностью до 0,5 м с двумя прослойками угля. Мощность пласта 1,56 м, вынимаемая - 1,46 м. Величина защитной угольной пачки принята равной 0,1 м.

6.2.2. Определяется тип кровли по устойчивости и обрушаемости.

Для установления класса кровли по устойчивости при оставлении защитной пачки воспользуемся выражением (3.1).

$$l = 1,2 \sqrt{C_p \cdot h} = 1,2 \sqrt{11 \cdot 0,1} = 1,30 \text{ м},$$

где  $l$  - величина пролета бесстоечного пространства, м;  
 $C_p$  - прочность угля защитной пачки на разрыв, кгс/см<sup>2</sup>;  
 $h$  - величина защитной пачки, м.

Прочность угольной пачки определяем по замерам или воспользуемся данными рис. П.1.1, на основании полученной величины пролета бесстоечного пространства по табл. 3.1 определяем, что по устойчивости кровля является ниже средней устойчивости.

Согласно табл. 3.2 кровля относится к средней обрушаемости, шаг обрушения основной кровли при первичном обрушении находится в пределах 36-50 м, последующие осадки основной кровли возможны через 8-12 м.

6.2.3. Расстояние от разрезной пачки, на котором рекомендуется проведение первичной посадки, согласно табл. 3.2, должно быть около 24 м.

6.2.4. Определяем необходимую несущую способность забойной крепи по выражению:

$$P_{\text{з}} = \frac{m}{K_{\text{р.м}} - 1} \cdot \gamma \cdot K_{\text{в}} \frac{1,46}{1,30 - 1} \cdot 2,5 \cdot 1,4 = 17,0 \text{ тс/м}^2,$$

где  $K_{\text{р.м}}$  - коэффициент разрыхления массива;

при  $m = 1,46$  м  $K_{\text{р.м}} = 1,30$  (см. табл. 6.1);

$\gamma$  - объемный вес пород,  $\gamma = 2,5$  т/м<sup>3</sup>;

$K_{\text{в}}$  - коэффициент влияния вторичных осадок,  $K_{\text{в}} = 1,3-1,4$  (см. табл. 3.2).

6.2.5. Необходимая величина податливости крепи на границе поддерживаемого пространства для этих условий равна

$$h = K \cdot K_{\text{в}} \cdot m \cdot R = 0,017 \cdot 1,4 \cdot 1,46 \cdot 4,6 = 0,160 \text{ м},$$

где  $K$  - коэффициент, характеризующий закономерность опускания кровли в поддерживаемом пространстве, при кровлях средней обрушаемости  $K = 0,017$  (см. табл. 3.2);

$m$  - вынимаемая мощность пласта,  $m = 1,46$  м;

$R$  - максимальная величина поддерживаемого призабойного пространства; исходя из технологических особенностей выемки на шахте принята  $R = 4,6$  м.

Такую податливость обеспечивают индивидуальные металлические стойки трения типа ТПК. Для условий пласта Третьего возможно применение стоек типа ТПО-ПК с паспортной несущей способностью  $P$ , равной 25 тс.

6.2.6. Величина необходимого предварительного распора крепи должна быть равна

$$P_{\text{р.з}} = 10 \frac{m \cdot l^2}{4,6} = 10 \frac{1,46 \cdot 1,2^2}{4,6} = 9,82 \text{ тс/м}^2,$$

где  $l$  - ширина бесстоечного пространства от линии забоя до первого ряда постоянной кровли,  $l = 1,2$  м.

Предварительный распор, создаваемый стойками типа ТПК, равен 1,5 тс, и его значение меньше полученного по формуле. Поэтому в соответствии с табл. 6.3 при расчете плотности призабойной крепи необходимо учитывать коэффициент увеличения плотности.

Тогда минимально необходимая плотность забойной крепи будет равна

$$P_3 = \frac{P_a}{P} \cdot K_y = \frac{17,0}{25} \cdot 1,7 = 1,16 \text{ ст/м}^2.$$

Величина несущей способности органной крепи равна

$$P_{орг} = \frac{m}{K_{рм} - 1} \cdot \gamma \cdot K_B R = \frac{1,46}{1,30 - 1} \cdot 2,5 \cdot 1,4 \cdot 4,6 = 78,4 \text{ т/м},$$

отсюда минимальная плотность органной крепи из стоек типа ТПО-НК должна быть равна 3,14 ст. на метр. Принимается 4 ст/м.

Приложения 7

ФОРМУЛЫ ДЛЯ РАСЧЕТА ОСНОВНЫХ ПАРАМЕТРОВ  
ПРОЯВЛЕНИЯ ГОРНОГО ДАВЛЕНИЯ

7.1. Величина общей зоны опорного давления впереди очистного забоя

$$Z_0 = 0,1 \text{ м, м.}$$

7.2. Зона интенсивного проявления опорного давления

$$Z = 0,05 \text{ м, м.}$$

7.3. Величина опускания кровли на различном расстоянии от забоя

$$h = k \cdot K_B \cdot m \cdot R, \text{ м.}$$

7.4. Средняя величина отжима угля от забоя при отсутствии осадка основной кровли

$$O = 0,1m, \text{ м.}$$

Максимальная величина отжима угля при осадках основной кровли

$$O_0 = 0,3m, \text{ м.}$$

7.5. Максимальная высота вывалов кровли в бесстоечном пространстве при влиянии осадок кровли с учетом типа кровли по обрушаемости и отжима угля от забоя рассчитывается по формуле

$$H_{в.макс} = 10 K \cdot m \cdot \sqrt{(\ell + 0,3m)^2}$$

При отсутствии осадок основной кровли

$$H_{в.ср} = 10 \frac{K}{K_B} m \sqrt{(\ell + 0,1m)^2}$$

Для ориентировочных расчетов максимальную высоту вывалов кровли при величине бесстоечного пространства можно рассчитать по формуле

$$H_{в} = 0,3\ell \sqrt{K}, \text{ м.}$$

7.6. Необходимая несущая способность забойной крепи

$$P_3 = \frac{m}{K_{рм} - 1} \gamma \cdot K_B, \text{ тс/м}^2$$

7.7. Необходимая величина несущей способности посадочной крепи

$$P_{п} = \frac{m}{K_{рм} - 1} K_B \cdot \gamma \cdot R, \text{ тс/м.}$$

7.8. Необходимая величина первоначального распора забойной крепи

$$P_{ра} = 10 \frac{m \ell^2}{\sqrt{R}}, \text{ тс/м}^2.$$

7.9. Достаточная удельная несущая способность механизированной крепи

$$P_{уд} = \frac{C \cdot m \cdot \gamma}{K_{рм} - 1} \cdot K_B, \text{ тс/м}^2,$$

где  $C$  - коэффициент, учитывающий тип крепи, численно равный для ОКП (ОМКП) 1,2; КМ-87 - 2,0; КМ-81 - 1,4; типа МК - 2,0.

7.10. Величина необходимого удельного распора секции механизированной крепи

$$P_{рм} = \frac{10 \cdot \ell^2 \cdot m \cdot a}{\sqrt{R}}, \text{ тс/м}^2,$$

где  $\ell$  - длина консоли крепи, м;

$R$  - длина секции крепи, м;

$a$  - шаг установки секций крепи, м.

7.11. Для обеспечения устойчивого состояния кровли в призабойном пространстве минимально допустимые скорости подвигания очистных забоев должны быть при неустойчивых кровлях не менее 3,0-4,0; при кровлях средней устойчивости - 2,0-3,0 и устойчивых 1,5-2,0 м/сут.

При прогнозировании проявлений горного давления необходимо учитывать, что при увеличении скорости подвигания очистного забоя с 1 до 4 м в сутки при неустойчивых кровлях величины смещения кровли уменьшаются почти на 50 %, при средней устойчивости - на 30 % и устойчивых - на 20 %. Примерно пропорционально этим величинам повышается устойчивость кровли, уменьшается величина вывалов и закодов кровли.

7.12. Предельный пролет первичного обрушения основной кровли

$$l_{\text{пр}} = (3 + 4) \cdot c \cdot \sqrt{\sigma_p \cdot T}, \text{ м,}$$

где  $c$  - коэффициент для легкообрушаемых кровель принимается равным 0,40; среднеобрушаемых - 0,70 и для трудно- и весьма труднообрушаемых - 0,90;

$T$  - мощность активной толщи, принимаемая равной 5 мощностям пласта, при весьма труднообрушаемых кровлях - 10 мощностям пласта;

$\sigma_p$  - средневзвешенная прочность пород на растяжение, кгс/см<sup>2</sup>.

Шаг обрушения при вторичных осадках основной кровли можно определить по формуле

$$l_y = c \sqrt{\sigma_p \cdot T}, \text{ м.}$$

Приложение 8

РАСЧЕТ НЕСУЩЕЙ СПОСОБНОСТИ КРЕПИ СОПРЯЖЕНИЙ  
ОЧИСТНЫХ ЗАБОЕВ С ПОДГОТОВИТЕЛЬНЫМИ ВЫРАБОТКАМИ

Для обоснования параметров крепи и схем крепления сопряжений ПечорНИИпроект ведутся систематические инструментальные наблюдения за сдвижением пород кровли, нагрузками на крепь в различных горно-геологических условиях бассейна.

Наблюдениями за сдвижением кровли в местах сопряжений, особенно над выработкой, установлено, что высота интенсивного разрушения пород кровли зависит от расположения и способа охраны выработки.

На сопряжениях с выработками, пройденными в массиве, высота интенсивного разрушения кровли составляет от 1,0 до 1,5 мощности отрабатываемого пласта, а на сопряжениях с выработками, охраняемыми целиками, высота имеет большие размеры, примерно в 1,3-1,5 раза. Над выработками, пройденными "вприсечку" к выработанному пространству, высота интенсивного разрушения кровли достигает 3-3,5 мощности отрабатываемого пласта.

С учетом зависимостей между смещениями кровли, величиной отслоившихся пород и нагрузками на крепь разработана методика расчета необходимой несущей способности крепи сопряжений очистных выработок, которая используется для проверки надежности схем крепления концевых участков на шахтах бассейна.

Расчет крепи сопряжений очистных забоев с выработками, пройденными в массиве или охраняемыми целиками, производится по эмпирическим зависимостям, полученным на основании шахтных наблюдений за смещениями кровли и нагрузками на крепь. Для расчета крепи сопряжений с одинарными выработками выведены экспериментально-аналитические выражения.

Проверку схем крепления по несущей способности крепи на участках сопряжения с выработками, расположенными вне зоны влияния опорного давления смежных лав, рекомендуется вести по номограмме, приведенной на рис. П.8.1.

Рассмотрим пример пользования номограммой для определения необходимого сопротивления усиливающей крепи в 5,0 м за забоем лавы на конвейерном штреке, пройденном по пласту мощностью 2,0 м.

По номограмме на шкале М находим точку, соответствующую мощности пласта 2,0 м, а на шкале L - точку, соответствующую рас-

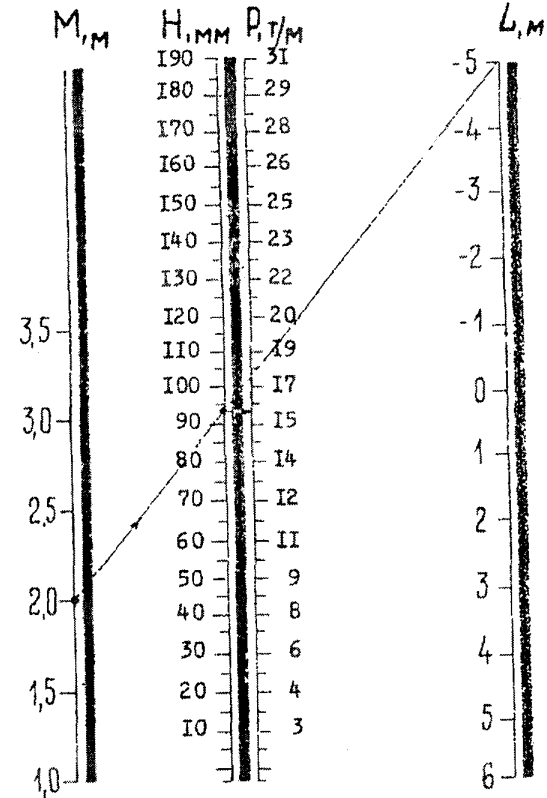


Рис. П.8.1. Номограмма для определения нагрузок на крепь на участках сопряжения выработки с очистным забоем

стоянию 5,0 м. Пересечение линии, проведенной через эти точки, со шкалой  $\Delta h$  соответствует величине смещений кровли, равной 92 мм. Против полученного значения смещения по шкале Р находим необходимое сопротивление прогонов или подхватов на участке сопряжения, которое равно 15,6 тс/м.

Для определения несущей способности крепи на участке сопряжения очистного забоя с выработками, охраняемыми целиками, равными 6-8 мощностям обрабатываемого пласта, рекомендуется пользоваться графиком необходимого сопротивления крепи в зависимости от величины смещения кровли в выработке, который приведен на рис. П.8.2.

Величину смещений кровли на сопряжении в створе с очистным забоем можно определить по формуле

$$h = 40 \cdot m \cdot R \cdot K_B, \text{ мм}, \quad (\text{П.8.1})$$

где  $m$  - мощность пласта, м;

$R$  - ширина выработки, м;

$K_B$  - коэффициент влияния осадок основной кровли, в зависимости от типа кровли по обрушаемости изменяется от 1,2 до 2,0 и принимается по табл. 3.2.

При определении несущей способности крепи сопряжений с выработками, пройденными "вприсечку" или поддерживаемыми на границе с выработанным пространством, расчет производится по формуле

$$P_c = \frac{m}{K_p - 1} \cdot \gamma - \frac{P_{кв}}{b} \cdot K_k, \quad (\text{П.8.2})$$

где  $m$  - мощность обрабатываемого пласта, м;

$K_p$  - коэффициент разрыхления, равный 1,3;

$\gamma$  - объемный вес породы, равный 2,5 т/м<sup>3</sup>;

$P_{к.в}$  - несущая способность крепи выработки, арки из спецпрофиля или деревянной рамы, тс на раму;

$K_k$  - коэффициент, учитывающий изменение несущей способности крепи выработки на участке сопряжения вследствие деформации ее элементов и нарушения при обнажениях со стороны лавы. Величина коэффициента  $K_k$  зависит от типа кровли по обрушаемости и мощности обрабатываемого пласта.

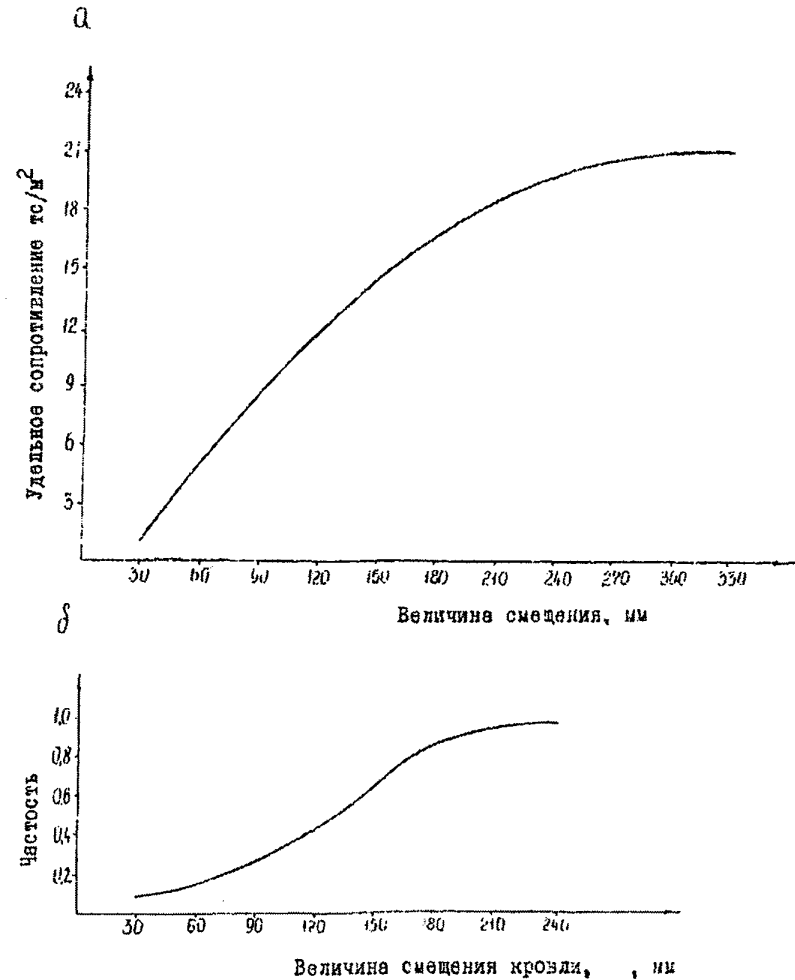


Рис. П.8.2. Графики для расчета нагрузок на крепь сопряжения: а - зависимость удельных нагрузок на крепь сопряжения от величины смещений кровли; б - кривая вероятности полома деревянной крепи



Для всех типов кровли при вынимаемой мощности пласта 1,0-1,5 м значение коэффициента  $K_k$  рекомендуется принимать равным 0,8; при вынимаемой мощности пластов 1,51-3,0 м с легко- и среднеобрушаемыми кровлями - 0,8; с трудно- и весьма труднообрушаемыми - 0,6. Типы кровли по обрушаемости принимаются по классификации ПечорНИИпроекта (см. табл. 3.2).

В расчете нагрузки на крепь сопряжения не учитывается увеличение давления на крепь выработки вследствие заваливания пород в обрушенном пространстве, так как эта пригрузка воспринимается органической крепью, устанавливаемой при обработке верхней лавы.

Несущая способность крепи из спецпрофиля принимается по данным ДонУТИ (см. табл. П.8.1).

В одинарных выработках, закрепленных деревянной крепью на участке сопряжения, смещения кровли даже после восстановления достигают более 150-200 мм, при этом 80 % крепи бывает деформировано. Кривая вероятности полома деревянной крепи в зависимости от величины смещения кровли в выработке приведены на рис. П.8.2. Поэтому при расчете сопротивления усиливающей крепи сопряжения несущая способность деревянной крепи в выработке, пройденной или поддерживаемой на границе с обрушенным пространством, не учитывается.

Таблица П.8.1

Площадь сечения крепи, $м^2$	Крепь из спецпрофиля	Ширина выработки в свету, м	Предельная расчетная несущая способность крепи, тс
5,6	СВП-17	2,49	27
6,6	СВП-17	2,85	23
7,5	СВП-17	3,17	22
8,5	СВП-22	3,42	28
10,0	СВП-22	3,83	25
12,5	СВП-27	4,33	30

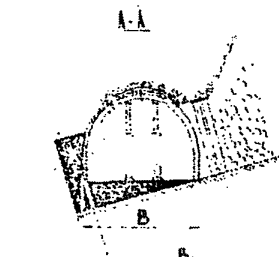
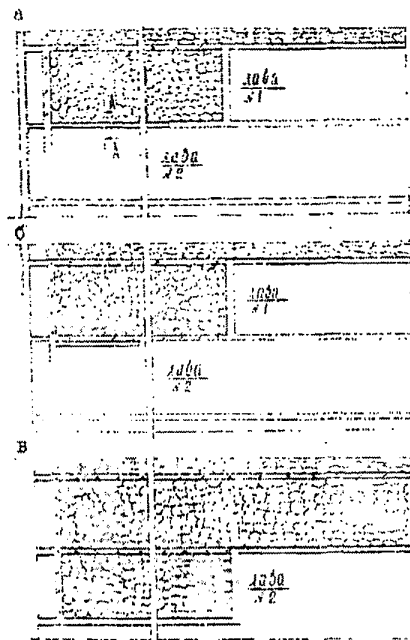
В качестве примера в табл. П.8.2 приведены результаты расчета необходимой несущей способности усиливающей крепи на участке сопряжения очистного забоя с выработкой, расположенной на границе с обрушенным пространством, сечением 6,6  $м^2$ , шириной 2,85-3,0 м, несущей способностью арки 23 тс, для различной мощности пласта и типов кровли по обрушаемости.

Таблица П.8.2

Показатели	Тип кровли					
	Легко-, средне-, трудно- и весьма труднообрушаемые		Легко- и среднеобрушаемые		Трудно- и весьма труднообрушаемые	
	при мощности пласта, м					
	1,0	1,5	2,0	2,5	2,0	2,5
Нагрузка на крепь сопряжения выработки:						
тс/ $м^2$	2,0	6,2	10,2	14,6	12,0	16,2
тс/м	6,0	18,6	30,6	43,8	36,0	48,6
Количество стоек на 1 м выработки		0,75	1,22	1,75	1,44	1,95

Из таблицы видно, что количество стоек с несущей способностью 25 тс, необходимое для установки под прогоны или подхваты в сопряжении, изменяется в зависимости от мощности пласта и обрушаемости пород и плотности установки крепи подготовительной выработки. Для обеспечения необходимого сопротивления усиливающей крепи прогоны или подхваты в выработке устанавливаются в один или два ряда. Операжение забоя за нишей усиливающей крепью сопряжений во всех случаях принимается не менее 5,0 м.





Г.

1.

$$P_{n1} = \frac{M}{K_{r1}} \gamma K_1 K_2 K_3 K_4 B, \text{ тс/м} \quad (\text{П.9.5})$$

$$P_{n2} = \frac{M}{K_{r2}} \gamma K_1 K_2 K_3 K_4 K_5 B, \text{ тс/м} \quad (\text{П.9.6})$$

$$P_{n3} = (P_{n1} - P_{n2}) \frac{L - L_1}{L}, \text{ тс/м} \quad (\text{П.9.7})$$

$$P_o = \frac{M}{K_{r1}} \gamma K_1 K_2 K_3 K_4 B, \text{ тс/м} \quad (\text{П.9.4})$$

2.

$$P_{n1}^L = \frac{M}{K_{r1}} \gamma K_1 K_2 K_3 K_4 K_5 B, \text{ тс/м} \quad (\text{П.9.8})$$

$$P_o = \frac{M}{K_{r1}} \gamma K_1 K_2 K_3 K_4 B, \text{ тс/м} \quad (\text{П.9.4})$$

Рис. П.9.2. Схемы бесцементовой подготовки, предусматривающие создание выработок позади I-й лавы: а- за счет перекрепления; б- проведения с различной величиной присечки к угольному массиву; в- оформления вслед за лавой; г- формулы для расчета сопротивления крепи при расположении забоя выработок в пределах зоны активных смещений пород (1) и при отставании забоя выработок от I-й лавы не менее протяженности этой зоны (2)

9.2. Область применения методики включает все виды бесцементовых выработок на углах падения до 35° при столбовой, сплошной и комбинированной системах разработки с одновременной и последовательной отработкой выемочных участков по простиранию, падению и восставанию. Расчет параметров основной крепи\* первой группы выработок при одновременной отработке смежных выемочных участков с отставанием во времени меньше двух месяцев ведется как для выработок, расположенных в массиве. Методика не распространяется на участки выработок, находящиеся в зонах вредного влияния цельков и кривых частей очистных забоев на под- и надрабатываемых пластах.

9.3. В основу расчета необходимой несущей способности крепи подготовительных выработок, расположенных на границе с выработанным пространством, положены зависимости (6.1) и (6.3) для определения сопротивления забойной и посадочной индивидуальных крепей в очистных забоях. Неучтенные этими зависимостями отличия в условиях поддержания очистных забоев и выработок, а также первой и второй групп выработок между собой выражены соответствующими поправочными коэффициентами. Обоснование коэффициентов и определение количественных их значений дано в работе [33].

9.4. Формулы для расчета сопротивления крепей в выработках первой и второй групп приведены соответственно на рис. П.9.1 и П.9.2.

Принятые обозначения входящих в формулы величин показаны ниже:

- $P_{п1}, P_{п2}$  - общее сопротивление поддерживающей крепи<sup>\*\*\*</sup> в зоне активных смещений пород позади I-й лавы соответственно первой и второй групп выработок, тс/м;
- $P_{в1}$  - сопротивление основной крепи первой группы выработок, тс/м;
- $P_{в2}^L$  - сопротивление основной крепи второй группы выработок в случае расположения забоя выработки в пределах зоны активных смещений пород, тс/м;

\* Рамная крепь, возведенная в выработке при проходке или перекреплении.

\*\* Все виды крепи в выработке на участке зоны активных смещений пород позади I-й лавы (основная и усиливающая крепи).

- $R_{\text{кр}}^L$  - сопротивление основной крепи второй группы выработок при оставлении забоя выработки от I-й лавы не менее протяженности зоны активных смещений пород, тс/м;
- $R_{Y1}, R_{Y2}$  - сопротивление усиливающей крепи\* соответствующей группы выработок, тс/м;
- $R_0$  - сопротивление охранной крепи\*\*, тс/м;
- $M$  - вынимаемая мощность пласта, м;
- $K_p$  - коэффициент разрыхления пород кровли в зоне беспорядочного обрушения;
- $\gamma$  - объемный вес пород, т/м<sup>3</sup>;
- $K_B$  - коэффициент влияния вторичных осадок основной кровли;
- $K_{\text{п}}$  - коэффициент величины подрывки почвы;
- $K_{\text{ш}}$  - коэффициент, учитывающий ширину поддерживаемого пространства;
- $K_y$  - коэффициент увеличения плотности крепи;
- $K_k$  - коэффициент, учитывающий ширину зависающей над выработкой консоли кровли, уплотнение и слеживаемость обрушенных пород;
- $K_{\text{пр}}^L, K_{\text{пр}}^L$  - коэффициенты, учитывающие различия в условиях поддержания первой и второй групп выработок;
- $K_{\text{т1}}$  - коэффициент, учитывающий время поддержания первой группы выработок впереди I-й лавы;
- $K_{\text{т2}}$  - коэффициент, учитывающий время поддержания первой и второй групп выработок позади I-й лавы;
- $B$  - ширина выработки вчерне, м;

\* Дополнительная крепь, применяемая для повышения устойчивости выработки в зоне активных смещений пород (прогоны, крепь КУ конструкции ПечорНИИпроекта и др.).

\*\* Крепь предвзначенная для посадки кровли вдоль выработки и ее ограждения от обрушенных пород (органическая и кустовая крепи, костры и др.).

- $B_I$  - общая ширина поддерживаемого пространства (расстояние по почве выработки от целика до оси охранной крепи в плоскости пласта), м;
- $L$  - протяженность зоны активных смещений пород позади первой лавы, м;
- $L_1$  - расстояние от I-й лавы до забоя второй группы выработок в пределах зоны активных смещений пород, м.

9.5. На основе проведенного анализа имеющихся результатов измерений величин сдвижения кровли установлено, что коэффициент  $K_p$  при расчете сопротивления крепи в выработках для мощностей пласта от I до 4 м можно определить по формуле

$$K_p = 1,17 + 0,1 M \quad (\text{П.9.9})$$

9.6. Значение коэффициента  $K_{\text{п}}$  для двух классов вмещающих пород по прочности на одноосное сжатие - от 200 до 450 (I класс) и от 450 до 700 кгс/см<sup>2</sup> (II класс), наиболее характерных для шахт Печорского бассейна, определяется формулами:

$$K_{\text{п1}} = \frac{I}{I + 0,139 H - 0,0005 H^2 + 0,0005 H^3}; \quad (\text{П.9.10})$$

$$K_{\text{п2}} = \frac{I}{I + 0,31 H - 0,009 H^2 + 0,0014 H^3}; \quad (\text{П.9.11})$$

$$H = \frac{h}{M}, \quad (\text{П.9.12})$$

где  $H$  - расстояние от почвы выработки до почвы пласта, кратное его мощности;

$h$  - расстояние от почвы выработки до почвы пласта, м.

Для установления класса прочности вмещающих выработку пород рекомендуется принимать среднеарифметическую прочность  $\bar{\sigma}_{\text{сж.св}}$  пород (угля), пересекаемых выработкой, и пород в кровле и почве на глубину, равную ширине выработки.

9.7. Коэффициент  $K_{\text{ш}}$  устанавливается зависимостью

$$K_{II} = \sqrt{\frac{B_1}{B_0}}, \quad (\text{П.9.13})$$

где  $B_0$  — ширина поддерживаемого пространства, принятая за эталон (4,0 м).

9.8. В результате анализа и срывления величин обжатия боковых пород в выработках первой и второй группы получено выражение для определения коэффициента  $K_{II}^L$

$$K_{II}^L = K_{II}^L + \alpha' \frac{L - L_1}{L}, \quad (\text{П.9.14})$$

где  $\alpha'$  — параметр, учитывающий степень повышения сопротивления крепи в выработке, оформляемой в пределах зоны активных смещений пород.

9.9. Значения коэффициентов  $K_x$ ,  $K_y$ ,  $K_z$ ,  $K_{II}^L$ ,  $K_{II}$ ,  $K_{II2}$  и параметров  $\alpha'$  и  $L$  приведены в табл. П.9.1, П.9.2 и П.9.3. Для упрощения расчетов табулированы также коэффициенты  $K_{II}$  и  $K_{II}$  (см. табл. П.9.4 и П.9.5).

9.9.1. При расчете сопротивления крепи в выработках, прилегающих к очистным забоям, в которых осуществляется разупрочнение кровли, коэффициент  $K_x$  снижается на 10 %. Для выработок, пройденных на участках полной подработки, этот коэффициент можно уменьшить на 20 %.

9.9.2. При определении общего сопротивления поддерживающей крепи  $R_{II}$  коэффициент  $K_y$  применяется только в случае расположения в выработке привода ланкового конвейера, приводящего к необходимости перестановки стоек крепи по мере податления лавы. Причем, в выработках, закрепленных смешанной крепью (подпорная плюс выдерная), а также при применении гидравлических стоек для усиления основной крепи величину коэффициента можно уменьшать на 20–25 %. В расчетах несущей способности охранной крепи этот коэффициент рекомендуется применять во всех случаях.

9.9.3. Общее время для установления коэффициента  $K_{II}$  определяется суммированием продолжительности поддержания выработки до начала отработки I-й лавы (включая время на проведение) и вперед забоя этой лавы при ведении очистных работ. Общее время для опре-

деления коэффициента  $K_{II2}$  включает время сохранения выработок до и в процессе отработки 2-й лавы.

Таблица П.9.1

Класс кровли по обрушаемости	Шаг вторичных обрушений основной кровли, м	$L, \text{ м}$	Коэффициенты		
			$K_x$	$K_y$	$K_z$
I — легкообрушаемая	4–6	100	I, I–I,2	I,2	0,4
II — среднеобрушаемая	8–12	150	I,3–I,4	I,4	0,6
III — труднообрушаемая	16–20	200	I,5–I,7	I,6	0,8

Таблица П.9.2

Коэффициенты	Способ создания выработки	Класс прочности вмещающих пород	
		I	II
$K_{II}^L; \alpha'$	Перекрытие	0,55; 0,14	0,60; 0,18
	Проведение вприсечку и оформление всклад за лавой	0,60; 0,14	0,65; 0,18

9.10. Для расчета плотности соответствующей крепи необходимо иметь данные о несущей способности единицы крепления (стойки, рамы и др.). При этом сопротивление металлических стоек принимается по их технической характеристике, деревянных стоек и рам металлической арочной крепи — соответственно по табл. П.9.6 и П.9.7. Несущая способность рамы крепи МТН в зависимости от сечения выработки составляет 15–20 тс, а рамы крепи КУ — 50 тс.

Сопротивление рамы деревянной трапецеидальной крепи в основном определяется несущей способностью всклада. При равномерно распределенной нагрузке по длине верхняя эта величина определяется зависимость

Таблица П.9.3

Зависимость коэффициентов  $K_{т1}$  и  $K_{т2}$  от времени поддержания выработки и класса прочности вмещающих пород

Общее время поддержания выработки, мес	Коэффициенты			
	$K_{т1}$		$K_{т2}$	
	Класс прочности вмещающих пород			
	I	II	I	II
2	0,90	0,94	0,6I	0,5I
4	0,92	0,95	0,83	0,79
6	0,94	0,96	0,9I	0,89
8	0,96	0,98	0,95	0,94
10	0,98	0,99	0,98	0,98
12	I,00	I,00	I,00	I,00
14	I,02	I,0I	I,02	I,02
16	I,04	I,02	I,03	I,04
18	I,06	I,04	I,04	I,05
20	I,08	I,05	I,05	I,06
22	I,10	I,05	I,06	I,07
24	I,12	I,07	I,07	I,08
26	I,14	I,08	I,08	I,09
28	I,16	I,10	I,08	I,10
30	I,18	I,11	I,09	I,11
32	I,20	I,12	I,10	I,12
34	I,22	I,13	I,10	I,13
36	I,24	I,14	I,11	I,14
38	I,26	I,16	I,12	I,14
40	I,28	I,17	I,12	I,15
42	I,30	I,18	I,13	I,16
44	I,32	I,19	I,13	I,17
46	I,34	I,20	I,14	I,17
48	I,36	I,22	I,15	I,18
50	I,38	I,23	I,15	I,19
52	I,40	I,24	I,16	I,20
54	I,42	I,25	I,16	I,20
56	I,44	I,26	I,17	I,21
58	I,46	I,28	I,18	I,22
60	I,48	I,29	I,18	I,22

$$P = \frac{\pi \cdot d^3 \cdot m_{изг} \cdot \sigma_{изг}}{4\ell}, \text{ кгс,} \quad (\text{П.9.15})$$

где  $P$  - предельная нагрузка на верхняк, кгс;  
 $d$  - диаметр верхняка, см;  
 $m_{изг}$  - коэффициент условий работы;  
 $\sigma_{изг}$  - расчетное сопротивление материала верхняка на изгиб, кгс/см<sup>2</sup>;  
 $\ell$  - длина верхняка, см.

Для бревен, не имеющих врезок, в расчетном сечении  $m_{изг}$  составляет I,2;  $\sigma_{изг}$  для сосны можно принимать равным 130 кгс/см<sup>2</sup>

Таблица П.9.4

Изменение коэффициента  $K_{п}$  в зависимости от  $H$  и класса прочности вмещающих пород

$H$	$K_{п}$ при классе прочности пород		$H$	$K_{п}$ при классе прочности пород		$H$	$K_{п}$ при классе прочности пород	
	I	II		I	II		I	II
0,0	I,00	I,00	I,4	0,84	0,70	2,8	0,72	0,55
0,1	0,99	0,96	I,5	0,83	0,69	2,9	0,71	0,54
0,2	0,97	0,94	I,6	0,82	0,68	3,0	0,70	0,53
0,3	0,96	0,91	I,7	0,81	0,66	3,1	0,69	0,52
0,4	0,95	0,89	I,8	0,80	0,65	3,2	0,69	0,52
0,5	0,94	0,87	I,9	0,79	0,64	3,3	0,68	0,51
0,6	0,92	0,84	2,0	0,78	0,63	3,4	0,67	0,50
0,7	0,91	0,82	2,1	0,77	0,61	3,5	0,67	0,49
0,8	0,90	0,80	2,2	0,76	0,60	3,6	0,66	0,48
0,9	0,89	0,79	2,3	0,76	0,60	3,7	0,65	0,48
I,0	0,88	0,77	2,4	0,75	0,60	3,8	0,65	0,46
I,1	0,87	0,75	2,5	0,73	0,57	3,9	0,64	0,46
I,2	0,86	0,73	2,6	0,73	0,56	4,0	0,63	0,46
I,3	0,85	0,72	2,7	0,72	0,56			

9.II. Плотность соответствующей крепи определяется по формулам:

$$P_{вI} = \frac{P_{вI}}{P}, \text{ кг/м;} \quad (\text{П.9.16})$$

$$\Pi_{B2}^L = \frac{P_{B2}^L}{P}, \text{ шт/м;} \quad (\text{П.9.17})$$

$$\Pi_{B2}^L = \frac{P_{B2}^L}{P}, \text{ шт/м;} \quad (\text{П.9.18})$$

$$\Pi_{y1} = \frac{P_{y1}}{P}, \text{ шт/м;} \quad (\text{П.9.19})$$

$$\Pi_{y2} = \frac{P_{y2}}{P}, \text{ шт/м;} \quad (\text{П.9.20})$$

$$\Pi_0 = \frac{P_0}{P}, \text{ шт/м;} \quad (\text{П.9.21})$$

где  $\Pi_{B1}$ ,  $\Pi_{B2}^L$ ,  $\Pi_{B2}$ ,  $\Pi_{y1}$ ,  $\Pi_{y2}$ ,  $\Pi_0$  — плотность основной, усиливающей и охранной крепей первой и второй групп выработок, шт/м;

$P_{B1}$ ,  $P_{B2}$ ,  $P_{B2}^L$ ,  $P_{y1}$ ,  $P_{y2}$ ,  $P_0$  — расчетное сопротивление основной, усиливающей и охранной крепей первой и второй групп выработок, тс/м;

$P$  — несущая способность одной рамы, стойки, костра и др., тс.

Таблица П.9.6

Длина стойки, м	Сопротивление стойки (тс) при диаметре (см)					
	12	14	16	18	20	22
1,0	10,0	14,0	18,0	23,0	30,0	36,0
1,5	8,0	12,0	17,0	22,0	28,0	34,0
2,0	7,0	10,0	15,0	20,0	25,0	32,0
2,5	6,0	9,0	13,0	18,0	23,0	29,0
3,0	-	7,0	11,0	16,0	21,0	27,0
3,5	-	6,0	9,0	14,0	19,0	24,0

Таблица П.9.5

Зависимость коэффициента  $K_{ш}$  от ширины поддерживаемого пространства  $B_I$

$B_I$ , м	$K_{ш}$	$B_I$ , м	$K_{ш}$	$B_I$ , м	$K_{ш}$
1,0	0,50	4,2	1,03	7,4	1,36
1,2	0,55	4,4	1,05	7,6	1,38
1,4	0,59	4,6	1,07	7,8	1,40
1,6	0,63	4,8	1,11	8,0	1,41
1,8	0,67	5,0	1,12	8,2	1,43
2,0	0,71	5,2	1,14	8,4	1,45
2,2	0,74	5,4	1,16	8,6	1,47
2,4	0,78	5,6	1,18	8,8	1,48
2,6	0,81	5,8	1,20	9,0	1,50
2,8	0,84	6,0	1,23	9,2	1,52
3,0	0,87	6,2	1,25	9,4	1,54
3,2	0,89	6,4	1,27	9,6	1,55
3,4	0,92	6,6	1,29	9,8	1,57
3,6	0,95	6,8	1,30	10,0	1,58
3,8	0,98	7,0	1,32		
4,0	1,00	7,2	1,34		

Таблица П.9.7\*

Площадь сечения арки крепи, м <sup>2</sup>	Тип крепи из сплестрофиля	Ширина выработки в свету, м	предельная расчетная несущая способность, тс
5,6	СВП-17	2,49	27
6,6	СВП-17	2,85	23
7,5	СВП-17	3,17	22
8,5	СВП-22	3,42	28
10,0	СВП-22	3,83	25
12,5	СВП-27	4,33	30

\* Данные ДонУГИ.

9.12. В качестве примеров проанализирован расчет параметров крепи бесцементных выработок по пластам Пятому, Четвертому и Мощному Воркутского месторождения.

9.12.1. Вынимаемая мощность пластов составляет соответственно 1,0; 1,5 и 3,2 м; угол падения -  $15^{\circ}$ . Кровля пластов Пятого и Четвертого относится к классу среднеобрушаемой, а пласта Мощного - к оредне - и труднообрушаемой. Система разработки - длинные столбы по простиранию. Длина столбов - 1200 м. Длина лав по пластам Пятому и Четвертому - 150 м и пласту Мощному - 120 м. В лавах применяются комплексы "Донбасс", КМ-879 и КМ-819. Среднемесячная скорость подвигания очистных забоев по пласту Пятому принята 60, а по пласту Четвертому и Мощному - 80 м.

9.12.2. На основании технико-экономического анализа по пластам Пятому и Четвертому принимается способ бесцементной подготовки с проведением конвейерных штреков в массиве и их поддержанием для повторного использования без перекрепления (см. рис. П.9.1). Порядок отработки смежных выемочных участков принимается последовательным. По пласту Мощному бесцементная подготовка осуществляется путем проведения вентиляционного штрека враспашку к угольному массиву (см. рис. П.9.2) с оставлением ограждающего целика шириной 2,0 м. Оставшиеся забой выработки от I-й лавы приняты не менее длины зоны активных смещений пород. Выработки пластов Пятого и Четвертого, прилегающие к выработанному пространству, относятся к первой группе и пласта Мощного - ко второй группе.

9.12.3. Для всех пластов принимается типовое сечение выработки с металлической арочной трехгранной крепью на  $8,5 \text{ м}^2$  в сечении. Крепь изготавливается из спандрафия СВП-22. Способ проведения выработок комбайновый. В соответствии с действующими нормативами скорость проведения выработок по пласту Пятому принимается 90, по пласту Четвертому - 140 и Мощному - 220 м в месяц. В качестве упрочняющей крепи для поддержания конвейерного штрека пласта Пятого используются прогоны на деревянных стойках, а для штрека пласта Четвертого - крепь КУ конструкции ПечорНИИпроект. Ограждающей крепью для очистных штреков является органза из деревянных стоек.

9.12.4. На рис. П.9.3, П.9.4, П.9.5 приведены для каждого пласта строгие и прочные вмещающих пород, а также варианты расположения выработок относительно впадины и почвы. Там же даны ширина

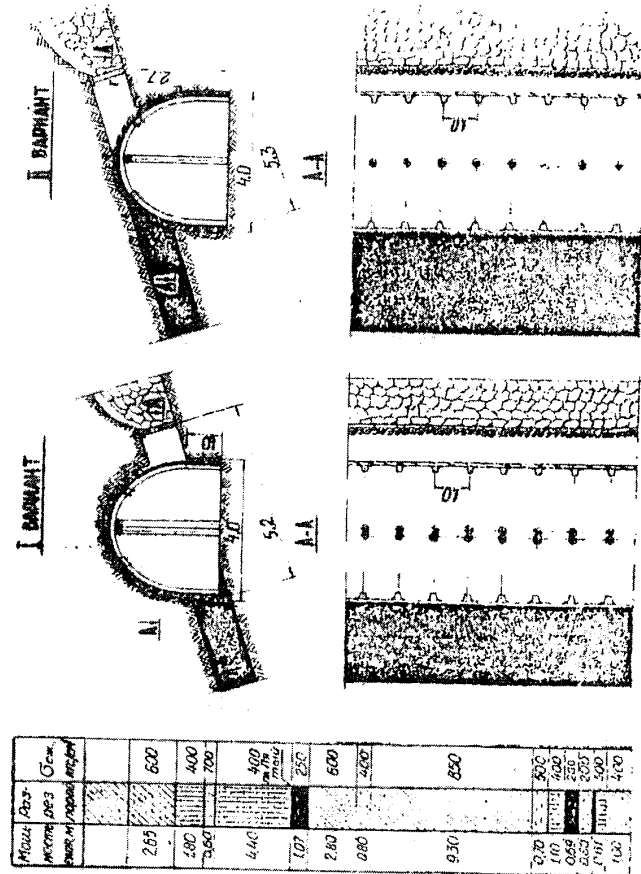


Рис. П.9.3. Разрез боковых штреков пласта Пятого, варианты расположения конвейерного штрека и средства его поддержания позадн лав.



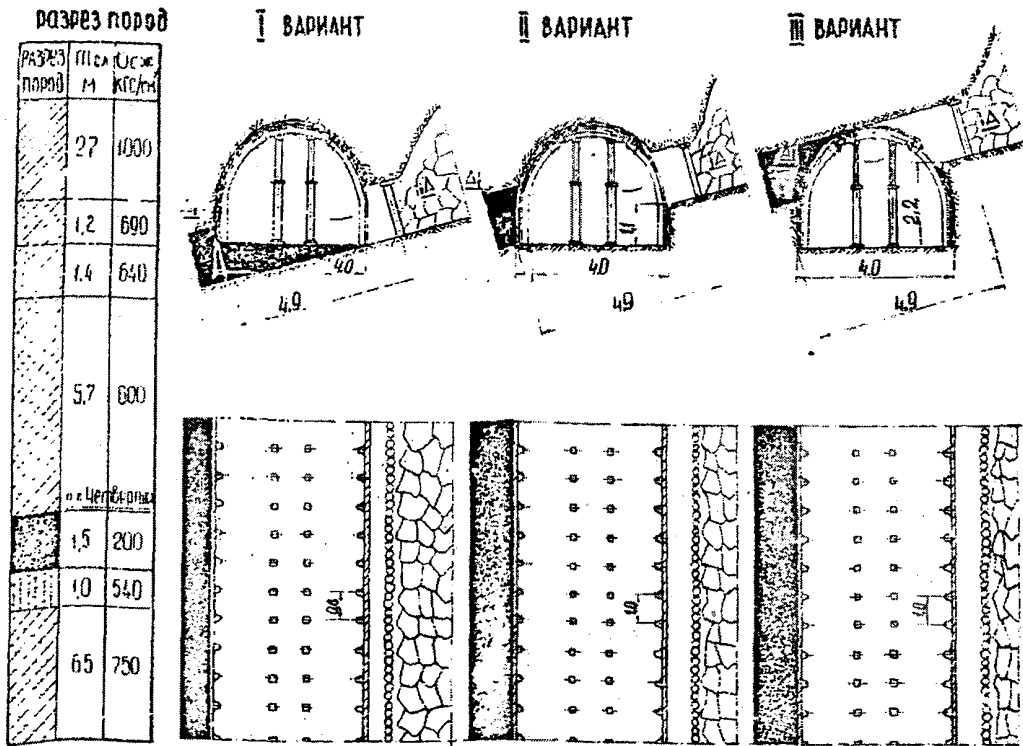


Рис. П.9.4. Строение и прочность боковых пород пласта Четвертого, варианты расположения конвейерного штраха относительно кровли и почвы пласта и средства поддержания выработки позади лавы

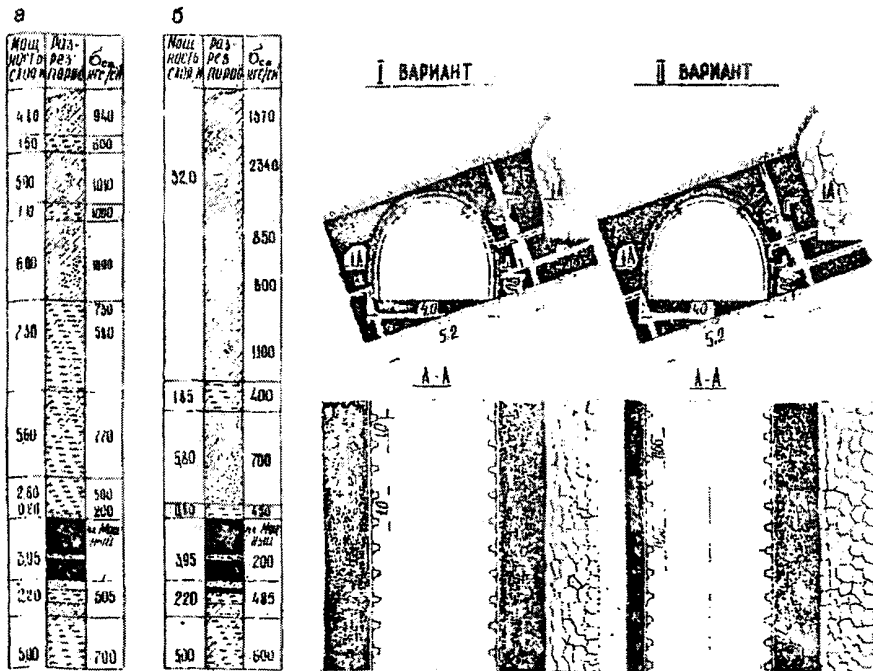


Рис. П.9.5. Необходимая плотность установки металлической арочной крепи в вентиляционном штрахе пласта Мошного при среднеобрушаемой (а, I вариант) и труднообрушаемой (б, II вариант) кровлях

выработки в черне В, ширина поддерживаемого пространства  $B_1$  и величина подрывки почвы  $h$ .

Для условий пласта Пятого расчетом анализируются два варианта проведения конвейерного штрека: со смешанной подрывкой и подрывкой только почвы. Во втором случае приводная головка лавного конвейера не выводится в штрек и стойки арочной крепи со стороны лавы не переставляются. По пласту Четвертому рассматриваются три варианта расположения штрека: с подрывкой только кровли, смешанной подрывкой и подрывкой только почвы. В последнем варианте приводная головка лавного конвейера будет размещаться в очистном забое. Вантуляционный штрек пласта Мощного приходится полностью по углу. Расчет параметров крепи этой выработки выполнен для условий средне- и труднообрушаемых кровель.

9.12.5. Исходя из приведенных данных и физико-механических свойств пород для каждого варианта расположения выработок определяются средневзвешенная прочность на одноосное сжатие  $\sigma_{сж.св}$  и класс прочности вмещающих пород

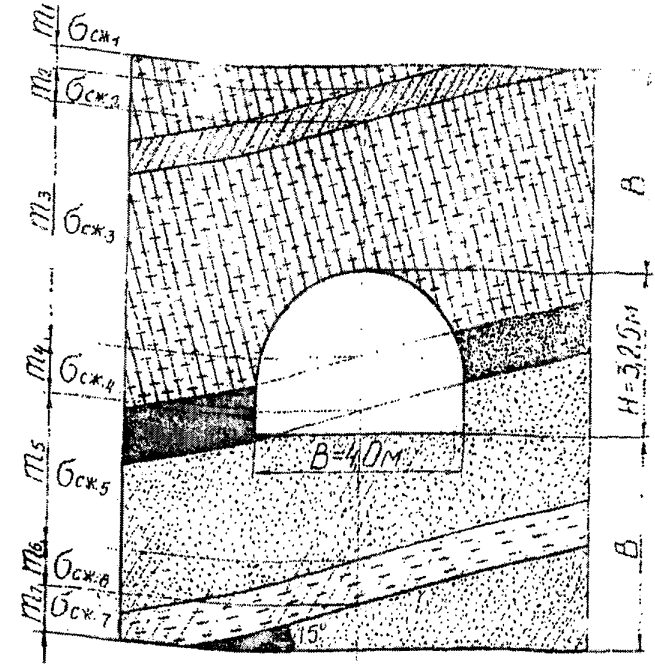
$$\sigma_{сж.св} = \frac{\sum_{i=1}^n \sigma_{сж.i} \cdot m_i}{\sum_{i=1}^n m_i}, \text{ кгс/см}^2, \quad (\text{П.9.22})$$

где  $\sigma_{сж.i}$  — прочность на одноосное сжатие  $i$ -го слоя пород (угля), пересекаемого выработкой, а также в кровле и почве на глубину, равную ширине выработки, кгс/см<sup>2</sup>;  
 $m_i$  — мощность  $i$ -го слоя, м (мощность принимается по вертикальной оси выработки).

Пример расчета  $\sigma_{сж.св}$  для первого варианта расположения конвейерного штрека пласта Пятого показан на рис. П.9.6. По данным расчета величина  $\sigma_{сж.св}$  находится в пределах 450–700 кгс/см<sup>2</sup>, следовательно, вмещающие выработку породы относятся ко II классу прочности.

9.12.6. В зависимости от вынимаемой мощности пласта  $M$  по формуле (П.9.9) определяется величина коэффициента  $K_p$ . В соответствии с классом кровли по обрушаемости по табл. П.9.1 принимается коэффициент  $K_v$ .

9.12.7. Для каждого варианта расположения выработки по формуле (П.9.12) вычисляется величина  $N$  и по табл. П.9.4 в соответствии с классом прочности вмещающих пород находится коэффициент  $K_n$ .



$$\sigma_{сж.св} = \frac{\sigma_{сж.1}M_1 + \sigma_{сж.2}M_2 + \sigma_{сж.3}M_3 + \sigma_{сж.4}M_4 + \sigma_{сж.5}M_5 + \sigma_{сж.6}M_6 + \sigma_{сж.7}M_7}{M_1 + M_2 + M_3 + M_4 + M_5 + M_6 + M_7} = \frac{400 \cdot 0,45 + 700 \cdot 0,62 + 400 \cdot 4,54 + 250 \cdot 1,03}{0,45 + 0,62 + 4,54 + 1,03} = \frac{600 \cdot 2,89 + 400 \cdot 0,83 + 850 \cdot 0,89}{2,89 + 0,83 + 0,89} = 489,8 \text{ кгс/см}^2$$

Рис. П.9.6. Пример расчета средневзвешенной прочности вмещающих выработку пород

в зависимости от величины  $B_T$  по табл. П.9.5 устанавливается коэффициент  $K_{пр}$  по табл. П.9.1 и П.9.2 для соответствующих классов кровли по обрушаемости и классов прочности вмещающих пород определяют величины коэффициентов  $K_y$ ,  $K_k$  и  $K_{пр}^L$ .

9.12.8. Рассчитывается время поддержания штреков пластов Пятого и Четвертого впереди I-й лавы ( $T_{общ.к}$ ) и время эксплуатации всех выработок позади I-й и при отработке 2-й смежных лав ( $T_{общ.в}$ )

$$T_{общ.к} = \frac{l}{2 V_{пр}} + t_1 + \frac{l}{2 V_{оч}}, \text{ мес}; \quad (\text{П.9.23})$$

$$T_{общ.в} = \frac{l}{V_{оч}} + t_2, \text{ мес}, \quad (\text{П.9.24})$$

где  $l$  - длина стола по простиранию, м;  
 $V_{пр}$  - скорость проведения соответствующей выработки, м/мес;  
 $V_{оч}$  - скорость подвигания очистного забоя по соответствующему пласту, м/мес;  
 $t_1$  - время поддержания выработки после окончания ее проходки и до начала отработки I-й лавы, мес;  
 $t_2$  - время поддержания выработки после окончания отработки I-й лавы и до начала отработки 2-й смежной лавы, мес ( $t_1$  и  $t_2$  в расчетах приняты по 2 месяца).

Для примера определим время сохранения конвейерного штрека класса Пятого впереди I-й лавы

$$T_{общ.к} = \frac{l}{2 V_{пр}} + t_1 + \frac{l}{V_{оч}} = \frac{1200}{2 \times 90} + 2 + \frac{1200}{2 \times 60} \approx 19 \text{ мес.}$$

9.12.9. Исходя из данных о времени поддержания выработок и классе прочности вмещающих пород, по табл. П.9.3 определяются коэффициенты  $K_{Т1}$  и  $K_{Т2}$ .

9.12.10. Рассчитываются необходимая несущая способность и известность установки соответствующих крепей. При этом для конвейерных штреков по пластам Пятому и Четвертому используются формулы П.9.1, П.9.2, П.9.3, П.9.4, П.9.16, П.9.19, П.9.21, а для вентиляционного штрека пласта Мощного - П.9.5 и П.9.17. Необходимые данные и результаты всех расчетов сведены в табл. П.9.8. В скобки

заключены принятые значения плотности соответствующих крепей

Таблица П.9.8

Показатели	Единица измерения	Пласты								
		Пятый			Четвертый			Мощный		
		Варианты расположения выработок						Класс кровли по обрушаемости		
		I	II	III	I	II	III	I	II	III
1	2	3	4	5	6	7	8	9		
М	м	I,0			I,5			J,2		
Класс кровли по обрушаемости		II			II			-		
Сечение выработки в свету	м <sup>2</sup>	8,5			8,5			8,5		
Вид основной крепи		Металлическая арочная из спецпрофиля СВН-22								
Сопротивление рамы	тс	28,0			28,0			28,0		
Вид усиливающей крепи		Деревянные стойки длиной 3,0 м диаметром 20 см			Крепь КУ			-		
Сопротивление стойки, рамы	тс	2I,0	2I,0		50,0			-		
Вид охранной крепи		Органная крепь из деревянных стоек длиной (м):						Угольный цепляк шириной 2,0 м		
		I,0	I,0	I,5	I,5	I,5				
		диаметром (см):								
		I6	I6	I8	I8	I8				
Сопротивление стойки	тс	I8,0	I8,0	22,0	22,0	22,0	-			
B	м	4,0	4,0	4,0	4,0	4,0	4,0	4,0		
B <sub>I</sub>	"	5,2	5,3	4,7	4,9	4,9	5,2	5,2		
	"	I,0	2,7	0,0	I,I	2,2	0,8	0,8		

Продолжение табл. П.9.8

	1	2	3	4	5	6	7	8	9
Расположение приводной головки лавного конвейера		В штреке	В лаве	В штреке	В лаве	-	-	-	
Сх.св	кгс/см <sup>2</sup>	489,8	551,4	572,2	585,9	601,9	420,6	443,2	
Класс прочности вмещающих пород		II	II	II	II	II	I	I	
K <sub>p</sub>		1,27	1,27	1,32	1,32	1,32	1,49	1,49	
K <sub>в</sub>		1,35	1,35	1,35	1,35	1,35	1,35	1,60	
H		1,00	2,70	0,00	0,74	1,47	0,25	0,25	
K <sub>п</sub>		0,77	0,56	1,00	0,81	0,69	0,97	0,97	
K <sub>ш</sub>		1,14	1,15	1,09	1,12	1,12	1,14	1,14	
K <sub>у</sub>		1,4	1,4	1,4	1,4	1,4	1,4	1,6	
K <sub>к</sub>		0,6	0,6	0,6	0,6	0,6	0,6	0,8	
K <sub>л</sub>		-	-	-	-	-	0,60	0,60	
T <sub>общ.к</sub>	мес	19,0	19,0	14,0	14,0	14,0	-	-	
T <sub>общ.в</sub>	"	22,0	22,0	17,0	17,0	17,0	17,0	17,0	
K <sub>тI</sub>		1,05	1,05	1,01	1,01	1,01	-	-	
K <sub>т2</sub>		1,07	1,07	1,05	1,05	1,05	1,04	1,04	
P <sub>пI</sub>	то/м	61,4	32,2	96,5	80,4	48,9	-	-	
P <sub>вI, P<sub>в2</sub></sub>	"	21,9	16,1	32,5	27,1	23,1	27,0	36,1	
P <sub>уI</sub>	"	39,5	16,1	54,0	53,3	25,8	-	-	
P <sub>о</sub>	"	97,3	99,2	109,3	113,9	113,9	-	-	
P <sub>вI, P<sub>в2</sub></sub>	шт/м	0,78 (1,0)	0,58 (1,0)	1,16 (1,25)	0,97 (1,0)	0,83 (1,0)	0,96 (1,0)	1,29 (1,5)	
P <sub>уI</sub>	"	1,90 (2,0)	0,76 (1,0)	1,28 (1,25)	1,07 (1,0)	0,52 (0,5)	-	-	
P <sub>о</sub>	"	5,4 (6,0)	5,5 (6,0)	5,0 (5,0)	5,2 (6,0)	5,2 (6,0)	-	-	

9.12.II. Данные табл. П.9.8 показывают, что при первом варианте расположения конвейерного штрека пласта Пятого с размещением в нем привода лавного конвейера поддержание выработки повзды I-й лавы в течение двух лет с запасом более чем в 10 % обеспечивается арочной крепью с плотностью установки рам 1 шт. на 1 м и двумя рядами прогонов на деревянных стойках длиной 3,0 м, диаметром 20 см. При втором варианте расположения выработки общее сопротивление основной и усиливающей крепей требуется в 1,9 раза меньше. Принятая плотность установки этих крепей обеспечивает 1,5-кратный запас сопротивления.

Для сохранения конвейерного штрека пласта Четвертого необходимое сопротивление основной и усиливающей крепей в зависимости от подрывки боковых пород и расположения привода лавного конвейера должно составлять от 48,9 до 96,5 тс на 1 м. При первом варианте расположения выработки это достигается плотностью установки этих крепей по 1,25 рамы на 1 м и при втором - по 1,0 раме на 1 м. При третьем варианте необходимое сопротивление с запасом обеспечивается при плотности установки арочной крепи 1,0 рама на 1 м и крепи КУ - 0,5 рамы на 1 м.

По пласту Пятому более целесообразно принять первый вариант подрывки боковых пород, а по пласту Четвертому - второй. Этим будет достигнуто сокращение длины нижней ниши за счет выноса приводной головки лавного конвейера в выработку и обеспечение хороших условий перегрузки угля с лавного на штрековый конвейер.

Безвременное поддержание вентиляционного штрека пласта Мощного, пройденного вприсечку к угольному массиву, при среднеобрушаемых кровлях обеспечивается плотностью установки рам арочной крепи 1 шт. на 1 м. При труднообрушаемой кровле требуется возводить 1,5 рамы на 1 м.

## Минимально необходимые размеры нижних нит

Комплект вагонного оборудования			Характеристика концевых головок конвейера		Минимально необходимая длина, м							
Комбайн	Конвейер	Крезь	Количество приводов	Длина головки	Характеристика сопрягаемой выработки							
					Любая		Трапециевидная до- равнянная		Сводчатая		Прямоуголь- ная анмер- ная	Трапециевид- ная анмерная
					Головка конвейера располагается в ни- ше	Конвейер по верхней стороне штрака	2,3	2,8	Металлические арки			
Часть конвейера, выдвигаемая на штрак												
					0,80	1,12	1,62	2,21	2,51	1,92	1,22	
КЕ-1КГ	Т5, Т6, Т10	СМКТ										
"	КИ-3М	МК	2-4	2,29								
"	СП-63М	Индивидуальная			3,0 3,5	2,5	2,0	1,5	1,0	0,5 1,0	1,0 1,5	2,0
"	Т12, СП-80	ОКП	2-4	2,45								
"	СПМ-81	М-81	2-4	2,62	3,5	2,5	2,0	2,0	1,5	1,0	1,5	2,0
1К-1С1	СП-64	МК-97К	4-5	2,18	3,0	2,5	2,0	1,5	1,0	0,5	1,0 1,5	2,0
"	СП-63М	Индивидуальная	2-4	2,29								
ГШ-6В	Т12, СП-80	Любая для плас- стов средней мощности	2-4	2,45	3,5 3,0	2,5	2,0	1,5	1,0	1,0 0,5	1,5 1,0	2,0
"	СП-63М		2-4	2,29								
ХШ-3М	СПМ-81	М-81	2-4	2,62	3,0	2,5	2,0	1,5	1,0	0,5	1,0	2,0
"	СУОКП	ОКП, ЗОКП, ОКП-70	2-4	2,47	3,0	2,0	1,5	1,0	0,5	Нет	0,5	1,0
2К-52	СПМ-87	М-87	2-4	2,29								
"	СП-63М	Индивидуальная	2-4	2,29	4,0	3,0		3,0 2,5	2,5	1,5	1,5	2,0 2,5
" Урал-2М"	СП-63М	"	2-4	2,29								

Минимально необходимые размеры верхних нип

Комплексы забойного оборудования			Характеристика концевых головок конвейера		Минимально необходимая длина нип, м						
Комбайн	Конвейер	Крепь	Количество приводов	Длина головки	Любая Головка конвейера располагается в нипе	Характеристика сопрягаемой выработки					
						Трапециевидная деревянная		Сводчатая Металлические арки		Прямоугольная анкерная	Трапециевидная анкерная
						2,3	2,8	3,27	3,57		
Часть конвейера, выдвигаемая из штрок						1,55	2,05	2,64	2,94	2,35	1,65
1	2	3	4	5	6	7	8	9	10	11	12
КШ-1КГ -"- -" -"	ТС, ТВ, Т10	ОМКТ	2	0,30	3,5	2,0	1,5	1,0	0,5	1,0	2,0
	КМ-3М	МК	2	0,30							
	СПМ-8I	М-8I	2	1,32	4,0	2,5	2,0	1,0	1,0	1,5	2,0
	СП-63М		2	1,10							
	СП-63	Индивидуальная	2	1,89	4,5	3,0	2,5	2,0	1,5	2,5	3,0
КШ-1КГ -"	КИ-3М	МК	3-4	2,29	5,0	3,5	3,0	2,0	2,0	2,5	3,0
	Т-12; СП-80	ОКП	3-4	2,45							
КШ-3М	СПМ-8I	М-8I	2	2,62	4,0	2,5	2,0	1,5	1,0	1,5	2,5
				1,32	2,5	1,0	0,5	-	-	-	1,0
	СУ-ОКП	ОКП, ЗОКП, ОКП-70 (с приводами ПКУ.01 и ПКП)	2	2,56	4,0	2,5	2,0	1,5	1,0	1,5	2,5
			1	1,7	3,0	1,5	1,0	-	-	-	1,0
2К-52 -" -" -"	СП-63М	Индивидуальная	2	1,10	4,5	3,0	2,5	2,0	2,0	2,5	3,0
	СП-63	Индивидуальная	2	1,89	5,5	4,0	3,5	3,0	2,5	3,0	4,0
	СП-63М	Индивидуальная	3-4	2,29	6,5	5,0	4,5	4,0	3,5	4,0	5,0
	С1М-87	М-87	3-4	2,29							
"Урал-2М" -" -"	СП-63М	Индивидуальная	2	1,10	6,0	4,5	4,0	3,5	3,0	3,5	4,5
	СП-63	Индивидуальная	2	1,89	6,5	5,0	4,5	4,0	4,0	4,5	5,0
	СП-63	Индивидуальная	3-4	2,29	7,0	5,5	5,0	4,5	4,0	5,0	5,5
1К-10I -" -" -"	СП-63М	Индивидуальная	2	1,10	6,0	4,5	4,0	3,0	3,0	3,5	4,0
	СП-63	Индивидуальная	2	1,89	6,5	5,0	4,5	4,0	3,5	4,5	5,0
	СП-64	МК-97У	4-5	2,18	7,0	5,5	5,0	4,5	4,0	4,5	5,5
			3-4	2,29							

Продолжение

I	2	3	4	5	6	7	8	9	10	11	12
ГМ-68	СП-63М	Любая для плав- стов средней мощности	2	1,10	2,0	0,5	-	-	-	-	0,5
"	СП-63М		3-4	2,29							
"	Т12, СП-80		3-4	2,45	3,0	1,5	1,0	0,5	0,5	1,0	1,5

Для верхних ниш в лавках с двумя комбайнами

КМ-1КГ	Т5, Т8, Т10, Т12	СМК1, ОКП	2	0,30	1,0	-	-	-	-	-	-
	ММ-3М	МК	2	0,30							
"	СП-63М	Индивидуальная	2	1,10	2,0	0,5	-	-	-	-	0,5
"	СП-63М	Индивидуальная	3-4	2,29							
"	ММ-3М	МК	3-4	2,29	3,0 3,5	1,5	1,0	0,5	-	1,0	1,5
"	СММ-81	М-81	3-4	2,62							
"	Т12, СП-80	Любая	3-4	2,45					0,5		
2К-52	СП-63М	Индивидуальная	2	1,10	2,5	1,0	0,5	-	-	0,5	1,0
"	СП-63	Индивидуальная	2	1,89	3,5	2,0	1,5	1,0	0,5	1,0	2,0
"	СП-63М	Индивидуальная	3-4	2,29	4,0	2,5	2,0	1,5	1,0	1,5	2,5
"	СММ-87	М-87	3-4								
1К-101	СП-63М	Индивидуальная	2	1,10	2,0	0,5	-	-	-	-	0,5
"	СП-63	Индивидуальная	2	1,89	2,5	1,5	1,0	-	-	0,5	1,0
"	СП-64	МК-97К	4-5	2,18	3,0	1,5	1,0	0,5	-	1,0	1,5
"	СП-63М	Индивидуальная	4	2,29							

Список литературы

1. Правила безопасности в угольных и сланцевых шахтах. М., "Недра", 1976. 400 с.
2. Правила технической эксплуатации угольных и сланцевых шахт. М., "Недра", 1976. 303 с.
3. Формы технической и учетно-контрольной документации угольных (сланцевых) шахт. М., ротاپринт ИГД им. А.А.Скочинского, 1975. 415 с.
4. Методическое руководство по совершенствованию производства на шахтах отрасли на основе разработки и внедрения технологических картограмм и карт организации труда. Сер. "Экспресс-информация". М., ЦНИИУголь, 1977. 28 с.
5. Методические указания по составлению прогнозных геологических паспортов на очистные забои. Воркута, Фонды Печоруглеразведки. 1978. 27 с. (Гонобоблев Ю.Н., Лопуха В.П., Родионов Н.Г., Копченков В.Ф., Марков В.И.)
6. Основные положения применения механизированных комплексов в очистных забоях угольных шахт. М., изд. ИГД им. А.А.Скочинского, 1973, 8 с.
7. Сборник инструкций и других нормативных документов по технике безопасности для угольной промышленности. М., "Недра", 1978. 744 с.
8. Технологические схемы очистных и подготовительных работ на угольных шахтах. М., "Недра", 1971. 288 с.
9. Технологические схемы подземного транспорта выемочных участков на угольных шахтах. М., ротапипринт ИГД им. А.А.Скочинского, 1972. 94 с.
10. Временная инструкция по выбору способов и параметров разупрочнения труднообрушаемой кровли на выемочных участках. Л., МУП СССР, ротапипринт ВНИИИ, 1976. 142 с.
11. Слесарев В.Д. Управление горным давлением при разработке угольных пластов Донецкого бассейна. М.-Л., Углетехиздат, 1952. 378 с.
12. Прогрессивные технологические схемы разработки пластов на угольных шахтах, ч. Ш. М., ротапипринт ИГД им. А.А.Скочинского, 1977. 270 с.
13. Альбом схем крепления сопряжений очистных забоев с прилегающими выработками на шахтах объединения "Интауголь". Инта, ПО "Интауголь", 1978. 51 с.
14. Временное руководство по проведению, креплению и охране одинарных выработок на шахтах комбината "Воркутауголь". Воркута, ротапипринт ПечорНИИпроекта, 1973. 31 с.
15. Рекомендации по расчету параметров паспортов управления кровлей в очистных забоях. Воркута, ротапипринт ПечорНИИпроекта, 1972. 33 с.
16. Методические положения по составлению геологической службы горно-геологического прогноза при проведении подготовительных выработок на шахтах Министерства угольной промышленности СССР. Л., ротапипринт ВНИИИ, 1977. 10 с.
17. Перечень обязательных для исполнения угледобывающими и шахтостроительными предприятиями Печорского бассейна мероприятий, разработанных Управлением Печорского округа Госгортехнадзора СССР на основе анализа причин производственного травматизма и аварий. Воркута, ротапипринт ИВЦ объединения "Воркутауголь", 1974. 27 с.
18. Рекомендации по расчету параметров паспортов управления кровлей в очистных забоях объединения "Интауголь". Воркута, ротапипринт ПечорНИИпроекта, 1977. 55 с.
19. Рекомендации по прогнозной оценке условий отработки лав пологих пластов Донбасса и выбору рациональных способов и средств их крепления. Ростов-на-Дону, ротапипринт ДонбасЦИИИ, 1977. 53 с.
20. Временное руководство по расчету первичного и последующего шагов обрушения пород кровли при разработке угольных пластов длинными столбами по простиранию в условиях Кузбасса. Кемерово, ротапипринт ВостНИИ, 1973. 27 с.
21. Типовые паспорта управления кровлей, крепления лав и сопряжений при выемке угля механизированными комплексами на шахтах Кузнецкого бассейна. Кемерово, ротапипринт ВостНИИ, 1969. 41 с.



22. Рекомендации по креплению сопряжений лав индивидуальной металлосеточной и анкерной крепью. Донецк, ротапринт ДонУТИ, 1972. 30 с.

23. Указания по выбору рациональных схем, средств крепления и основных параметров управления кровлей в очистных забоях шахт Карагандинского бассейна. Караганда, ротапринт КНИИУИ, 1971. 25 с.

24. Коврижин А.К., Яковлев Н.И., Бардин В.М., Щербан Н.Н. Методика обоснования параметров крепи и типовые паспорта крепления лав и их сопряжений с примыкающими выработками на шахтах Кузнецкого бассейна. Прокопьевск, изд. КузНИИУИ, 1969. 134 с.

25. Указания по особым требованиям к крепям на пластах с тяжелыми кровлями. Ленинград, ротапринт ВНИИИ, 1970. 136 с.

26. Кравченко В.И. Предупреждение завалов очистных забоев. М., "Недра", 1970. 200 с.

27. Давидянец В.Т. Совершенствование способов и средств управления кровлей и крепления при разработке угольных пластов Донецкого бассейна. М., "Недра", 1970. 271 с.

28. Руководство по управлению кровлей и креплению очистных забоев на пластах с углом падения до 35°. Донецк, ротапринт ДонУТИ, 1976. 108 с.

29. Широков А.П., Писляков Б.Г. Расчет и выбор крепи сопряжений горных выработок. М., "Недра", 1978. 304 с.

30. Гусельников Л.М. Исследование проявлений горного давления и устойчивости кровли в очистных забоях при различных скоростях подвигания и средствах поддержания призабойного пространства. В кн.: Технология добычи и обогащения угля в Печорском бассейне, вып. 6. М., "Недра", 1970, с. 17-30.

31. Гурьянов В.В., Шижкин В.Д., Гусельников Л.М. Исследование проявлений горного давления при труднообрушаемых кровлях. М., изд. ЦНИИМуголь, 1976, с. 56.

32. Шижкин В.Л., Гусельников Л.М., Лопухов Н.М. Совершенствование схем крепления концевых участков очистных забоев при бесцеликовой подготовке. В кн.: Бесцеликовая обработка угольных пластов в условиях Печорского бассейна". М., "Недра", 1978, с. 74-84.

33. Лопухов Н.М. К вопросу определения несущей способности крепи в подготовительных выработках на границе с обрушенным пространством. В кн.: Технология добычи и обогащения угля в Печорском бассейне. М., "Недра", 1978, с. 51-70.

34. Сборщик М.П., Ляев А.И., Сарамунд Б.Д. Влияние времени подхвата кровли на предотвращение обрушений пород в лавках с индивидуальной крепью. - "Уголь Украины", 1976, № II, с. 18-19.

СО Д Е Р Ж А Н И Е

	Стр.		Стр.
1. Содержание технической документации, регламентирующей производство работ по управлению кровлей и креплению в очистных забоях .....	4	Приложение 2. Основные признаки угольных пластов с труднообрушаемыми кровлями, подлежащими reinforcement .....	78
2. Основные положения по выбору способов управления кровлей в очистных забоях.....	6	Приложение 3. Методика определения прочности почвы в очистных забоях .....	41
3. Классификация кровель .....	6	Приложение 4. Рекомендации по выбору рациональных видов индивидуальной крепи .....	43
4. Выбор крепи для очистного забоя .....	9	Приложение 5. Схемы паспортов крепления и управления кровлей в очистных забоях с использованием шарнирных верхняков и устройств для их консольной навески .....	45
5. Выбор основных элементов паспорта крепления очистного забоя с индивидуальной крепью .....	12	Приложение 6. Примеры расчета плотности забойной и посадочной крепи в очистных выработках .....	50
6. Расчет необходимой плотности забойной и посадочной крепи .....	13	Приложение 7. Формулы для расчета основных параметров проявления горного давления .....	53
7. Выбор параметров крепи и основных элементов паспорта крепления очистного забоя с механизированной крепью .....	15	Приложение 8. Расчет несущей способности крепи сопряжений очистных забоев с подготовительными выработками .....	55
8. Управление кровлей и крепление в лавах со сложными горно-геологическими и горнотехническими условиями .....	17	Приложение 9. Методика расчета несущей способности крепи в подготовительных выработках, расположенных на границе с выработанным пространством .....	56
9. Выбор средств и схем крепления концевых участков .....	19	Приложение 10. Минимально необходимые размеры ниш .....	69
10. Рекомендация по выбору схем и средств извлечения металлической крепи из поташаемых выработок .....	30		
Приложения .....	35		
Приложение 1. Прочностные показатели защитных угольных пачек и устойчивые площадки обнажения кровли в бессточном пространстве лав основных шахтопластов Интинского месторождения.....	36		